

# Oppdatering av miljøstatus for Sunndalsfjorden i 2008

## Vannmasser, sediment og organismer



## Norsk institutt for vannforskning

# RAPPORT

Hovedkontor	Sørlandsavdelingen	Østlandsavdelingen	Vestlandsavdelingen	NIVA Midt-Norge
Gaustadalléen 21 0349 Oslo Telefon (47) 22 18 51 00 Telefax (47) 22 18 52 00 Internett: www.niva.no	Televeien 3 4879 Grimstad Telefon (47) 22 18 51 00 Telefax (47) 37 04 45 13	Sandvikaveien 41 2312 Ottestad Telefon (47) 22 18 51 00 Telefax (47) 62 57 66 53	Nordnesboder 5 Postboks 2026 5817 Bergen Telefon (47) 22 18 51 00 Telefax (47) 55 23 24 95	Pircenteret, Havnegata 9 Postboks 1266 7462 Trondheim Telefon (47) 22 18 51 00 Telefax (47) 73 54 63 87

Tittel  Oppdatering av miljøstatus for Sunndalsfjorden i 2008. Vannmasser, sediment og organismer.	Løpenr. (for bestilling)  5941-2010	Dato  01.03.2010
Forfatter(e)  Kristoffer Næs, Ian Allan, Eivind Oug, Hans Chr. Nilsson og Jarle Håvardstun	Prosjektnr. Underrn.  O-27445	Sider Pris  92
Fagområde  Miljøgifter, marin	Distribusjon  Fri	
Geografisk område  Møre og Romsdal	Trykket  NIVA	

Oppdragsgiver(e)  Hydro Aluminium Sunndal	Oppdragsreferanse  Arne Magne Johannessen
---	---

Sammendrag  Miljøstatusen for Sunndalsfjorden har blitt oppdatert gjennom undersøkelser i 2008 som har inkludert bestemmelse av PAH i vannmassene ved hjelp av blåskjell og passive prøvetakere, PAH, metaller og klorerte forbindelser i torsk, krabbe og sediment, sedimentprofilfotografering og sammensetningen av dyrelivet på bløtbunn. Generelt sett er det en forbedring i miljøtilstanden i fjordsystemet over tid. PAH-innholdet i blåskjell (finnes kun i ytre fjordområde) var lavt. Beregninger av PAH-innholdet i vannmassene indikerer at konsentrasjonene ligger under vanndirektivets grenseverdier bortsett fra for de tyngre forbindelsene som indenopyren og benzoperylen. PAH-innholdet i krabbeinnmat samt PAH-metabolitter i galle fra torsk var også lavt. Metallinnholdet i krabbe og sediment var stort sett lavt, bortsett fra TBT i sedimentet i den helt innerste delen av fjorden. TBT-resultatene er i tråd med hva man ofte finner som følge av påvirkning fra bunnstoff på skip. PAH-innholdet i sedimentene er fremdeles høyt, særlig i den innerste delen av Sunndalsfjorden. Generelt var det et godt utviklet dyreliv med høy artsrikhet på alle stasjonene, men helt innerst ved Sunndalsøra var det økt andel av arter som erfarsmessig tiltar i områder med høye sedimentkonsentrasjoner av PAH.
--

Fire norske emneord  1. Sunndalsfjorden 2. PAH 3. Sedimenter 4. Organismer	Fire engelske emneord  1. Sunndalsfjord 2. PAH 3. Sediments 4. Organisms
---	---

Kristoffer Næs

Prosjektleder

Bjørn Faafeng

Seniorrådgiver

ISBN 978-82-577-5676-5

O-27445

**Oppdatering av miljøstatus for Sunndalsfjorden i  
2008**

Vannmasser, sediment og organismer

## Forord

Undersøkelsene i Sunndalsfjorden er gjennomført av NIVA på oppdrag fra Hydro Aluminium Sunndal. Kontaktpersoner ved bedriften har vært Arne Magne Johannessen og Berit Hugdal.

Feltarbeidet ble gjennomført fra 'Aslegut' av Ian Allan, Hans Chr. Nilsson og Kristoffer Næs. I tillegg har Jan Olav Polden fra verket utført prøvetaking.

Analysene er gjort ved NIVAs laboratorium og dels Umeå Universitet, Kemiska institusjonen, Miljökemiska Laboratoriet ved Per Liljelind og Sture Bergek.

Rapporteringen har vært utført av Ian Allan, Eivind Oug, Hans Chr. Nilsson, Jarle Håvardstun og Kristoffer Næs. Sistnevnte har også vært prosjektleder.

Alle takkes for innsats!

Oslo, 1. mars 2010

*Kristoffer Næs*

# Innhold

<b>Sammendrag</b>	<b>6</b>
<b>Summary</b>	<b>8</b>
<b>1. Bakgrunn</b>	<b>9</b>
1.1 Innledning og formål	9
1.2 Status for området i dag	9
1.3 Undersøkelseselementer	10
1.3.1 Partikkeltilknytning og biotilgjengelighet av sedimentbundet PAH	10
1.3.2 Undersøkelser knyttet til utbedring av kai med tilhørende mudring	11
1.3.3 Sammenstilling av blåskjelldata fra CEMP-undersøkelsene	11
1.3.4 Oppdatert forurensningsstatus for fjordområdet	12
<b>2. Materiale og metoder</b>	<b>14</b>
2.1 Måleprogram og omfang	14
2.2 Innsamling av prøver	14
2.3 Analysemetoder	16
2.4 Bedømming av miljøtilstand	17
2.4.1 Klifs klassifiseringssystem for vann, sedimenter og biota	17
2.4.2 Klassifisering av bløtbunnsfauna	17
2.4.3 Klassifisering av sedimentprofilbilder	18
<b>3. Resultater</b>	<b>20</b>
3.1 PAH i vannmasser	20
3.1.1 Blåskjell	20
3.1.2 Passive prøvetakere (SPMD)	21
3.2 Organismer	24
3.2.1 Metaller og PAH i krabbe	25
3.2.2 PAH-metabolitter i galle av torsk	26
3.2.3 Klorerte forbindelser i torsk og krabbe	27
3.3 Sedimenter	29
3.3.1 Sedimenttyper og metallinnhold	29
3.3.2 PAH	34
3.4 Bløtbunnsfauna og sedimentaktivitet	36
3.4.1 Prøvetaking	36
3.4.2 Sedimentprofilfotografering	37
3.4.3 Bunnfauna	39
<b>4. Referanser</b>	<b>44</b>
<b>5. Vedlegg</b>	<b>46</b>
5.1 Beregning av vannkonsentrasjon av PAH ut fra SPMD	46
5.2 Bløtbunnsfauna	49
5.3 Analyseresultater SPMD	52

---

5.4 Analyseresultater sedimenter	58
5.5 Analyseresultater krabbeklør og krabbeinnmat	72
5.6 Analyse av PAH-metabolitter i galle	76
5.7 Analyse av dioksin og dioksinlignende PCB	77

## Sammendrag

Hydro Aluminium Sunndal har i de senere årene utvidet verket og endret teknologi til 100 % Prebake. Dette har ført til reduksjon i påvirkningen av PAH i Sunndalsfjorden. Bedriften har derfor ønsket å få en oppdatert beskrivelse av miljøsituasjonen i fjordområdet og har i den sammenheng engasjert NIVA for å bistå dem i arbeidet.

Hovedmålsetningene for arbeidet som er gjennomført var:

- Gi en oppdatert forurensningsmessig status for området
- Fremskaffe data for revurdering av eksisterende kostholdsråd
- Danne grunnlag for langtidsovervåking av området

Måleprogrammet for undersøkelsene i Sunndalsfjorden har inkludert bestemmelse av PAH i vannmassene ved hjelp av blåskjell og passive prøvetakere, PAH, metaller og klorerte forbindelser i torsk, krabbe og sediment, sedimentprofilfotografering og sammensetningen av dyrelivet på bløtbunn.

Hovedkonklusjonene fra undersøkelsene er:

### *PAH i vannmasser (blåskjell og passive prøvetakere):*

Det ble samlet blåskjell fra lokaliteter fra Honnhammer til Flåøya. Konsentrasjonene av PAH<sub>16</sub> tilsvarte Klima- og forurensningsdirektoratets (Klif) tilstandsklasse I-Bakgrunn, mens innholdet av benzo(a)pyren (B(a)P) var svakt forhøyet i skjellene fra Flå og Honnhammer og tilsvarende Klifs tilstandsklasse II-God. På alle tre stasjonene var BaP-konsentrasjonen under Mattilsynet/EUs grenseverdi for muslinger på 10 µg/kg friskvekt.

Beregning av PAH-innholdet i vannmassene ved bruk av passive prøvetakere (SPMDer) antyder at PAH-konsentrasjonen i vannmassene på alle stasjonene er under EUs EQS (Environmental Quality Standard) bortsett fra for summen av indenopyren og benzoperylen.

### *Metaller og PAH i krabbe:*

Det er sparsomt med generelle data om konsentrasjonen av tungmetaller i skallinnmat fra taskekrabbe. Sammenliknet med litteraturdata over forventet variasjonsbredde av metaller i skallinnmat, var konsentrasjonene i krabber fra Sunndalsfjorden godt under disse verdiene.

For kvikksølv i klokjøtt fra krabbe har EU satt en grenseverdi på 0,5 µg/g friskvekt. Verdiene i krabbene fra Sunndalsfjorden var godt under denne grenseverdien. Det er ikke utviklet norske grenseverdier for kvikksølv i klokjøtt fra krabbe.

Det er også begrenset og varierende informasjon om konsentrasjoner av PAH i skallinnmat av taskekrabbe. Klif har heller ikke utarbeidet tilstandsklasser. PAH-resultatene fra krabber fra Sunndalsfjorden tyder på at verdiene ligger i et normalområde for ikke vesentlig påvirkning.

### *PAH-metabolitter i galle fra torsk:*

Fisk blir eksponert for PAH i hovedsak gjennom inntak av PAH-forurensset føde, i stor grad sedimentlevende organismer. Imidlertid har fisk et enzymssystem som bryter ned PAH slik at disse forbindelsene er vanskelig målbare i filet. I nedbrytningen av PAH gjøres PAH-forbindelsene mer løselige for så å kunne skilles ut gjennom gallen. Forekomst av PAH-metabolitter i galle gir dermed informasjon om fisken har vært eksponert for disse forbindelsene. Konsentrasjonene i torsk fra Jordalsnes og Flåøya var lave og viste ikke vesentlig påvirkning.

*Klorerte forbindelser i torskelever og skallinnmat fra krabbe:*

Torskelever og skallinnmat fra krabbe ble analysert for innhold av dioksiner og PCBer med dioksinlignende virkning. Konsentrasjonene var lave og svarende til Klifs tilstandsklasse *ubetydelig forurensset*.

*Metaller og PAH i sedimenter:*

Innholdet av tungmetaller i sedimentene var stort sett lavt. Hovedmengden av data tilsvarte *bakgrunn* til *god miljøtilstand*. Nikkelinnholdet ble klassifisert til *moderat miljøtilstand* (tilstandsklasse III) og TBT til *dårlig miljøtilstand* (tilstandsklasse IV) på en stasjon helt nær Sunndalsøra.

Det var høye konsentrasjoner av PAH i sedimentene, i særlig grad i den innerste delen av Sunndalsfjorden. Innenfor en avstand på ca. 3 km fra verket tilsvarte konsentrasjonene av PAH<sub>16</sub> *dårlig til svært dårlig miljøtilstand* (tilstandsklasse IV-V). Konsentrasjonene avtok raskt utover i fjordsystemet. I en avstand større enn 3 km fra Sunndalsøra var konsentrasjoner tilsvarende at miljøtilstanden i sedimentene kunne klassifiseres som *moderat* (tilstandsklasse III) med hensyn på PAH<sub>16</sub>.

Sammenlignet med tidligere undersøkelser er det en klar nedgang i PAH-konsentrasjonene over en 20-års periode.

*Dyreliv på bløtbunn:*

Fauna på bløtbunn ble undersøkt på tre stasjoner, en plassert i området ved utslipspunktet fra bedriften og to i fjorden utenfor. Generelt var det et godt utviklet dyreliv med høy artsrikhet på alle stasjonene, men nær utslipspunktet var det økt andel av arter som erfaringmessig tiltar i områder med høye sedimentkonsentrasjoner av PAH. Vurdert i henhold til kriteriesystemet som nå utvikles til vanndirektivet, var tilstanden på alle undersøkte lokaliteter svært god. På de innerste stasjonene nærmest bedriften var tilstanden bedre enn ved de tidligere undersøkelsene i 1986 og 1995.

Sedimentprofilfotografering, som gir en rask visuell karakteristikk av sediment og bløtbunnsfauna, ble foretatt langs to transekter innerst i fjorden og på stasjonene for bunnfauna i fjorden utenfor. Fotograferingen indikerte at det var dårlig tilstand svært nær utslipspunktet fra bedriften, men at tilstanden raskt ble bedre utover mot dypere vann. Lenger ut i fjorden var det god tilstand. På de fleste stasjonene var det tydelige spor av aktivitet fra bunnorganismer.

## Summary

Title: Environmental status in the Sunndalfjord 2008. Water masses, sediments and organisms.

Year: 2010

Author: Kristoffer Næs, Ian Allan, Eivind Oug, Hans Chr. Nilsson og Jarle Håvardstun

Source: Norwegian Institute for Water Research, ISBN No.: ISBN 82-577-5676-5

The environmental status in the Sunndalfjord has been updated in 2008. Measurements have included PAHs in the water column illustrated through concentrations in blue mussels and passive samplers, PAH, metals and chlorinated compounds in cod, crabs and sediments and soft bottom fauna community structure. The Sunndalfjord shows an improvement over time although elevated concentrations, in particular of PAHs, are still observed in the sediments.

# 1. Bakgrunn

## 1.1 Innledning og formål

Hydro Aluminium Sunndal har i de senere årene utvidet verket og endret teknologi til 100% Prebake. Dette har ført til reduksjon i påvirkningen av PAH i Sunndalsfjorden. Bedriften har derfor ønsket å få en oppdatert beskrivelse av miljøsituasjonen i fjordområdet og har i den sammenheng engasjert NIVA for å bistå dem i arbeidet.

Hovedmålsetningene for arbeidet som er gjennomført var:

- Gi en oppdatert forurensningsmessig status for området
- Fremskaffe data for revurdering av eksisterende kostholdsråd
- Danne grunnlag for langtidsovervåking av området

Som et første trinn i denne planen, ble det 14. november 2006 skrevet et notat (K. Næs) hvor det ble trukket opp rammer for arbeidet. Prioriterte oppgaver er vist i **Tabell 1**.

**Tabell 1.** Prioriterte oppgaver for videre undersøkelser i Sunndalsfjorden (jfr. Notat 14. nov. 2006 av K. Næs)

Aktivitet	Type
1.	<i>Partikkeltilknytning og biotilgjengelighet av sedimentbundet PAH</i>
2.	<i>Undersøkelser knyttet til utbedring av kai med tilhørende mudring</i>
3.	<i>Sammenstilling av blåskjelldata fra CEMP-undersøkelsene</i>
4.	<i>Oppdatert forurensningsstatus for fjordområdet</i>
5.	<i>Innhold av PAH i de frie vannmasser</i>
6.	<i>Langsiktig overvåkingsprogram</i>

## 1.2 Status for området i dag

Det er blitt gjennomført mange undersøkelser knyttet til forurensningssituasjonen i Sunndalsfjorden. En større tiltaksorientert undersøkelse ble gjennomført i perioden 1986-88 (Molvær 1990). Undersøkelsen omfattet blant annet miljøgifter i organismer, miljøgifter i sedimenter og bløtbunnsfauna (Knutzen 1989, Næs og Rygg 1988). Senere har det vært gjennomført flere oppfølgende undersøkelser av miljøgifter i sedimenter og skjell (Næs 1991, Konieczny og Knutzen 1992). De siste undersøkelsene av sedimenter og skjell ble gjennomført i tidsrommet 1995-2000 (Næs mfl. 1999, Næs mfl. 2001).

Undersøkelsene har vist at påvirkningen av PAH både på bunnen og i overflatelaget i Sunndalsfjorden har avtatt de senere årene. Som følge av rensetiltak ved verket har utsippene av PAH, fluorid og partikler til sjø blitt vesentlig redusert siden 1988. Konsentrasjonen av PAH i bunnsedimentene er imidlertid fortsatt høye i indre fjord. PAH-belastningen synes allikevel å ha liten effekt på organismesamfunnene på bløtbunn. Den siste undersøkelsen av bunnfauna, som ble gjennomført i 1995, viste at artsrikhet og arts mangfold var høyt på alle prøvelokaliteter i indre fjord fra ca. 1 km fra verket og ut til Ørabukta (Næs mfl. 1999). På de innerste stasjonene var det dog reduksjoner i enkelte dyregrupper, særlig slangestjerner og sjøstjerner, noe som trolig kan relateres til PAH-påvirkning.

På grunn av PAH-forurensningen har helsemyndighetene frarådet konsum av skjell og fiskelever (**Figur 1**).



Forureining: [PAH](#)

**Råd om kosthold:** Myndighetene rår folk ifrå å konsumere lever frå fisk fanga i Sunndalsfjorden innafor ei linje mellom Haltvik og Øygardsneset. Dei rår også folk ifrå å konsumere skjel plukka innafor ei linje mellom Fjøseid og Eide.

**Areal:** 100,1 km<sup>2</sup>

**Sist vurdert:** 2005.

Omsetnadsrestriksjonar frå juli 2002

**Figur 1.** Kostholdsrådet for Sunndalsfjorden.

### 1.3 Undersøkelseselementer

Med utgangspunkt i **Tabell 1** er en nærmere beskrivelse/prioritering av undersøkelseselementene gjort i avsnittene under:

#### 1.3.1 Partikkeltilknytning og biotilgjengelighet av sedimentbundet PAH

PAH knyttet til kulltjærebek har trolig en sterkere partikkeltilknytning enn hva generiske risikoverktøy tilslører. Det er derfor viktig å undersøke dette nærmere for å kunne gjøre stedsspesifikke risikovurderinger. Dette arbeidet er gjennomført og rapportert av Ruus mfl. 2007. Resultatene viste at PAH tilknyttet sedimenter i nærheten av smelteverkene var sterkere (en median faktor på minst en størrelsesorden) adsorbert/absorbert til partiklene enn det som fri-energi-sammenheng skulle tilsi.

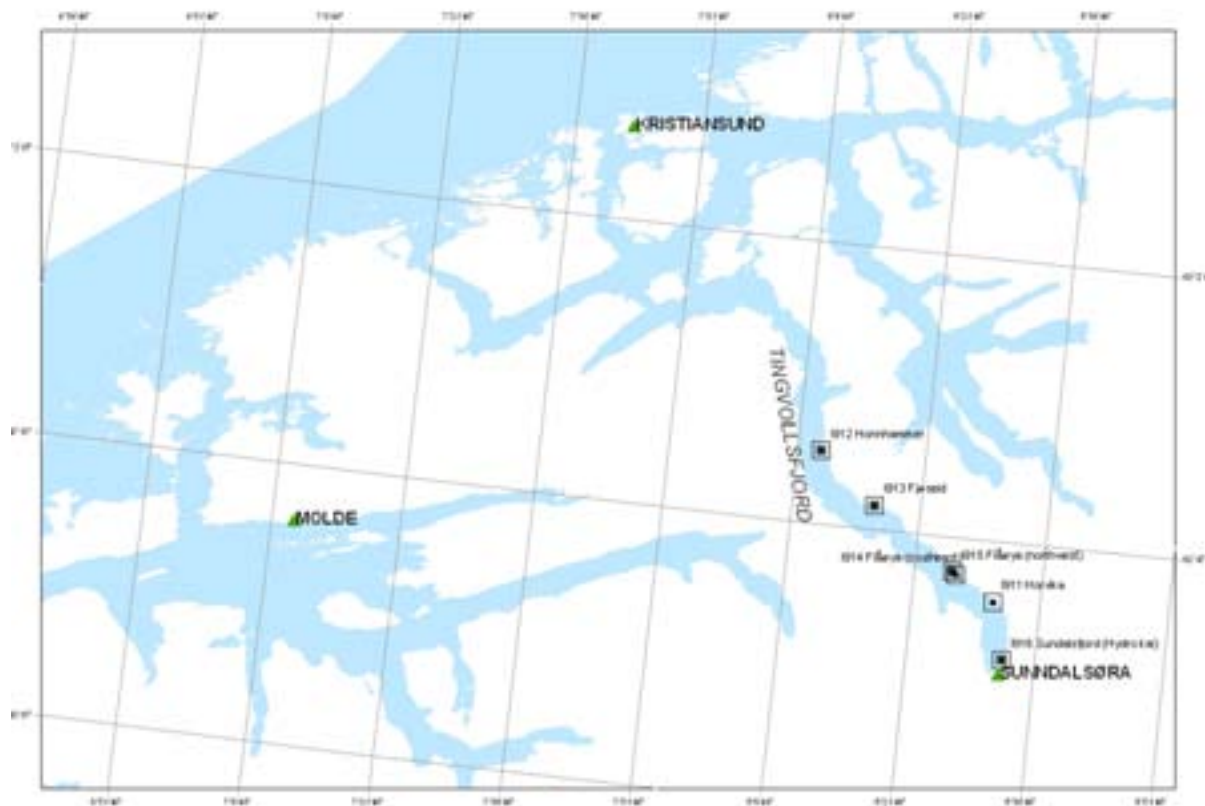
Dette impliserer at den biotilgjengelige fraksjonen er tilsvarende lavere, og man skal kunne forvente lavere bioakkumulerte konsentrasjoner i organismer. For ytterligere utredninger om kunnskapsstatus rundt PAH-forurensning av sjøbunn, vises det til Ruus mfl. (2009).

### **1.3.2 Undersøkelser knyttet til utbedring av kai med tilhørende mudring**

Arbeidet avventer avklaringer hos Hydro Aluminium Sunndal om gjennomføring. Imidlertid vil en vurdering av spredning av miljøgifter fra kaiområdet bli adressert i en egen utredning.

### **1.3.3 Sammenstilling av blåskjelldata fra CEMP-undersøkelsene**

Det nasjonale overvåkingsprogrammet CEMP har også stasjoner i området hvor PAH-innholdet i blåskjell er blitt målt (**Figur 2**). Dataene fra CEMP-programmet danner et viktig utgangspunkt for videre undersøkelser knyttet opp mot kostholdsproblematikken. En oversikt er oppsummert i **Tabell 2**.



**Figur 2.** Innsamlingssteder for blåskjell under CEMP-programmet.

**Tabell 2.** Oppsummering av resultater fra CEMP-undersøkelsene. Fargene angir miljøstatus: Blått: Ubetydelig forurensset, Grønt: Moderat forurensset, Gult: Markert forurensset, Orange: Sterkt forurensset. Romertall angir tilstandsklasse.

#### Sunndalsfjorden

##### Blåskjell

Høyeste klasse basert på median\*  
konsentrasjon av BaP eller  
sum\_PAH

\*) av 3 replikate blandprøver

Stasjon	1995	1996	1997	1998	1999	2000	2001	2002	2003	2004	2005	2006	2007	2008
I916 Sunndalsfjord (Hydro kai)										IV	II			
I911 Horvika	IV	III												
I914 Flåøya (sydøst)									I					
I915 Flåøya (sydvest)									I	I	I	I	II	II
I913 Fjøseid					II	III	II	III	I	I	I	I	I	I
I912 Honnhammer	II	II	III	III	III	IV	II	III	I	I	I	I	I	II

**Tabell 2** viser en tydelig forbedring på stasjonene Fjøseid og Honnhammer de senere årene. Disse stasjonene ligger imidlertid i den ytre delen av Sunndalsfjorden. Det har vist seg vanskelig å finne blåskjell i de indre områdene, trolig på grunn av stor ferskvannstilførsel til fjorden. Variasjonene ved Flåøya og Honnhammer i 2007/2008 er trolig variasjoner som vil være naturlig å finne.

#### 1.3.4 Oppdatert forurensningsstatus for fjordområdet

##### Blåskjell

Blåskjell ble samlet fra Honnhammer, Fjøseid og Flåøya. Innsamlingen ble koordinert med CEMP-prøvetakingen.

##### Passive prøvetakere

Hovedhensikten med blåskjellanalysene er å frembringe resultater for revurdering av kostholdsrådet. Siden det er vanskelig å finne skjell, ble passive prøvetakere satt ut i Sunndalsfjorden ved Honnhammer, Fjøseid, Flåøya, Horvika og Fonnastein. De passive prøvetakerne samler den frie, løste fraksjonen av PAH. Det har vist seg at gode korrelasjoner mellom konsentrasjoner i passive prøvetakere og blåskjell kan etableres og vil derfor være et verdifullt bidrag i forbindelse med revurdering av kostholdsrådet.

##### Sedimenter

Sedimentene prøvetas for å gi en oppdatert beskrivelse av konsentrasjonene av PAH og andre forbindelser i overflatesedimentene i fjordområdet. Dette vil, sammen med informasjonen om stedspesifikke fordelingskoeffisienter (jfr. 1.3.1), også kunne anvendes til en oppdatert risikovurdering av fjorden med hensyn på PAH.

Miljømyndighetenes utarbeidelse av fylkesvise tiltaksplaner mot forurensset sjøbunn, inkluderte også Sunndalsfjorden. Det ble konkludert med at oppryddingstiltak i sedimentene i fjordområdet som sådan ikke skulle prioriteres. I den sammenheng ble det også gjort en modellering på grunnlag av den såkalte "Sedflex-modellen" hvor sedimentenes innvirkning på PAH-konsentrasjoner i blåskjell ble belyst. (Armitage and Saloranta 2005). Myndighetene har imidlertid bestemt at utviklingen i Sunndalsfjorden skal følges med såkalt "Overvåket, naturlig forbedring". Det impliserer at stasjoner må etableres og beskrives slik at data herfra kan gi et godt grunnlag for påvisning av forbedrede forhold over tid.

### Bunnsfauna og biologisk aktivitet i sedimentene

Fauna på bløtbunn undersøkes for å karakterisere miljøtilstanden og overvåke endringer over tid. Hvor mange og hvilke arter som er tilstede, indikerer hvordan tilstanden er. Bløtbunnsfaunaen ble undersøkt sist i 1995 (Næs mfl. 1999). Forholdene var generelt gode, bortsett fra de innerste områdene mot Sunndalsøra. Før det ble bunnsfaunaen undersøkt i 1986 (Næs og Rygg 1988) som konkluderte med at det var moderat påvirkning innenfor den innerste kilometeren av fjorden. Dette ble til dels knyttet opp mot virkning av materiale fra land som transporteres ut med ellevannet. I 1978-79 ble det gjort en undersøkelse av bunnsfauna i hele fjordsystemet uten spesiell relevans til forurensningssituasjonen (Holthe og Stokland 1980). Denne undersøkelsen viste at det var tydelige forandringer i bunnsfaunaen helt innerst i fjorden, noe som ble antatt å ha bakgrunn i lokale miljøpåvirkninger. Det er flere felles prøvetakingslokalisiteter mellom undersøkelsene som gir grunnlag for overvåking.

I tillegg til bunnsfauna ble det også foretatt en karakterisering av biologisk aktivitet i bunnssedimentene ved bruk av sedimentprofillkamera (SPI). Dette er en forholdsvis nyutviklet teknikk hvor det blir tatt fotografier av vertikale snitt ned til ca. 20 cm under sedimentoverflaten. Bildene gir informasjon om oksideringstilstand, sedimentsjikt og aktivitet til bunnorganismer som kan tolkes med hensyn til miljøtilstanden. Teknikken brukes som et supplement til bunnsfaunaprøvene, spesielt for å kartlegge grader i områder hvor det kan tenkes å være raske endringer omkring lokale påvirkninger.

### Fisk og krabbe

Kostholdsrådet for Sunndalsfjorden gjelder også for lever av fisk, men da mer knyttet til innhold av klorerte forbindelser. Oppdateringen av forurensningssituasjonen i fjorden omfatter derfor innhold av dette i lever av torsk. PAH-metabolitter i galle undersøkes for å få informasjon om belastning på fisken, mens krabbe analysers for klorerte forbindelser og PAH i skallinnmat og for kvikksølv i klokjøtt.

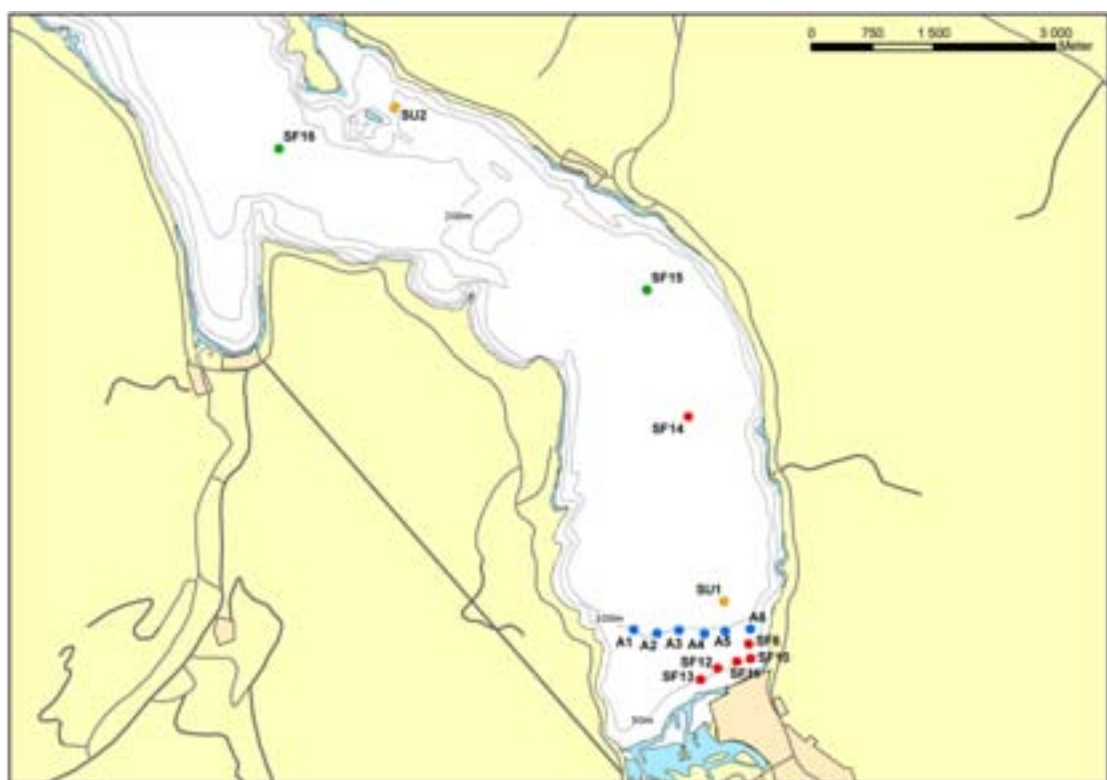
## 2. Materiale og metoder

### 2.1 Måleprogram og omfang

Måleprogrammet for undersøkelsene i Sunndalsfjorden inkluderte dermed sedimenter, sedimentprofil-fotografering, sammensetningen av dyrelivet på bløtbunn, miljøgifter i torsk og krabbe og bestemmelse av PAH løst i vannmassene. Det såkalte CEMP-programmet har faste stasjoner i fjordområdet og resultater fra disse stasjonene er også anvendt i undersøkelsene i Sunndalsfjorden.

### 2.2 Innsamling av prøver

Feltarbeidet ble gjennomført 29. og 30. oktober 2008 fra 'Aslegut'. Stasjonsplasseringen er vist i **Figur 3**. Mer detaljerte opplysninger om sedimentstasjonene er gitt i **Tabell 3**.



**Figur 3.** Stasjonsplassering i Sunndalsfjorden.

Fargekoder angir: Rød: Sedimentkjemi og SPI, Blå: Kun SPI, Gul: Bløtbunnsfauna og sedimentkjemi, Grønn: Kun sedimentkjemi.

**Tabell 3.** Stasjonsdetaljer fra felterarbeidet i Sunndalsfjorden 29.-30. oktober 2008.

Stasjon	N	Ø	Dyp, m	Kjemi	Bløtbunn	SPI	Tidligere kjemi, (antall paralleller)	Antall prøver til analyse
SF6	62 41,196	8 33,155		1 prøve	4 parallelle prøver	X	=S6, 1986 (1)	1
			56					
SF10	62 41,135	8 33,163	43	1 prøve		X		1
SF11	62 41,110	8 32,879	48	1 prøve		X		1
SF12	62 41, 059	8 32,728	43	1 prøve		X		1
SF13	62 41, 024	8 32,551	43	1 prøve		X		1
SU1	62 41,509	8 32,805		5 parallelle prøver	4 parallelle prøver	X	=SD1, 1995 (4 parall)	5
			111					
A6	62 41,347	8 33,248	85			X		
A5	62 41,318	8 32,780	93			X		
A4	62 41,322	8 32,509	93			X		
A3	62 41,332	8 32,144	98			X		
A2	62 41,317	8 31,836	100			X		
A1	62 41,882	8 31,533	100			X		
SF14	62 42,735	8 32,303		3 parallelle prøver		X	=S11, 1986 (3 parall)	3
			152					
SF15	62 43,589	8 31,613		3 parallelle prøver			=S12, 1986 (3 parall)	3
			155					
SF16	62 44,504	8 26,299		1 prøve			=S13, 1986 (1 parall)	1
			237					
SU2	62 44,772	8 28,002		3 parallelle prøver	4 parallelle prøver	X	=SD2, 1995 (4 parall)	3
			111					

Det ble innsamlet prøver av bløtbunnsfauna på stasjonene SF6, SU1 og SU2 (**Tabell 3**). Stasjon SF6 ble undersøkt i 1986, mens SU1 og SU2 begge ble undersøkt i 1995. SF6 og SU1 er også nært ved stasjoner fra den første bunnfaunaundersøkelsen i 1978-79. På hver stasjon ble det tatt fire parallele grabbhugg med en  $0,1\text{ m}^2$  van Veen bunngrabb. Sediment fanget i hvert hugg ble siktet på 5 mm og 1 mm sikter for fjerning av finmateriale. Sikteresten ble konservert i 4-6 % nøytraliseret formaldehydløsning og brakt til laboratoriet for videre analyse.

Sedimentprofilfotografering (SPI) ble i hovedsak foretatt på stasjonene for bunnfauna samt på to tversgående transekter innerst i fjorden (**Figur 3, Tabell 3**).

Passive prøvetakere, såkalte SPMDer ble utplassert på fem stasjoner (**Tabell 4**).

**Tabell 4.** Stasjonsdetaljer for undersøkelser med SPMD. Kun overflateprøver er analysert.

<b>Stasjon</b>	<b>N</b>	<b>Ø</b>	<b>Antall dyp</b>	<b>Utsetting</b>	<b>Innhetning</b>
Honnhammer	62 51,283	008 9,634	2	30/10	20/12-2008
Fjøseid	62 48,641	008 16,382	2	30/10	20/12-2008
Flåøya	62 45,358	008 26,419	2	30/10	21/12-2008
Horrvika	62 44,115		2	30/10	21/12-2008
		008 31,404		2 m dyp: 15/11	
Fonnastein	62 41,765		2	30/10	21/12-2008
		008 33,029		2 m dyp: 15/11	

Blåskjell ble samlet fra tre stasjoner, mens to stasjoner for torsk og krabbe inngikk i måleprogrammet (**Tabell 5** og **Tabell 6**). Til blåskjellanalysene ble 30 skjell fra hver stasjon slått sammen til en blandprøve fra stasjonen. For torsk og krabbe representerer prøven en blandprøve av 10 organismer (enkeltpørver for PAH-metabolitter i galle).

**Tabell 5.** Stasjonsdetaljer for blåskjellstasjonene (CEMP-programmet).

<b>Stasjon</b>	<b>N</b>	<b>Ø</b>	<b>Innsamling</b>
Honnhammer	62 51,20	008 9,70	3/12-2008
Fjøseid	62 48,59	008 16,48	23/11-2009
Flåøya	62 45,48	008 26,391	3/12-2008

**Tabell 6.** Stasjonsdetaljer for innsamlingen av torsk og krabbe.

<b>Stasjon</b>	<b>N</b>	<b>Ø</b>	<b>Innsamling</b>
Jordalsnes	62 46,30	008 19,81	Mai 2009
Flå	62 44,87	008 27,78	Mai 2009

## 2.3 Analysemetoder

NIVAs laboratorium gjennomførte analysene av PAH, PCB, innhold av finstoff (dvs. vektprosent partikler med kornstørrelse <63 µm), organisk karbon (TOC), totalt nitrogen (TN), og metaller i sedimenter. Bestemmelse av prosentandel <63 µm er gjort ved våtsiktning. Analyser av TOC/TN er gjort med en CHN-analysator etter at karbonater er fjernet i syredamp. Metallene er bestemt ved at prøven oppsluttes ved autoklavering med salpetersyre og analyseres med hjelp av atomabsorpsjon og grafitovn, bortsett fra kvikksølv som bestemmes med gullfelle og kalddamp atomabsorpsjon.

Ved bestemmelse av PAH tilsettes prøvene deuterte indre standarder og ekstraheres i Soxhlet med diklorometan. Etter opprensing og oppkonsentrering kvantifisieres PAH-forbindelsene ved hjelp av interne standarder og GC med MS-detektor. Måleusikkerheten er generelt <10-20 %, dog kan den være høyere for enkelte forbindelser. Betegnelsen sum PAH senere i rapporten inkluderer summen av tetra- til heksasykliske forbindelser.

PCB (og andre klororganiske forbindelser som rutinemessig kvantifisieres samtidig) bestemmes ved at prøvene tilsettes indre standard og ekstraheres med en blanding av sykloheksan/aceton ved hjelp av

ultralydkanon. Ekstraktene gjennomgår ulike rensetrinn for å fjerne interfererende stoffer. Til slutt analyseres ekstraktet ved bruk av gasskromatograf utstyrt med elektroninnfangingsdetektor, GC/ECD. De klororganiske forbindelsene identifiseres ut fra retensjonstider på en HP-5 kolonne. Kvantifisering utføres ved hjelp av indre standard. Måleusikkerheten er generelt 10-20 %, dog kan den være høyere for enkelte forbindelser.

NIVAs laboratorium analyserte også PAH i skjell, snegl og reker, samt PCB i skjell. Metodene er tilsvarende den for sedimenter, bortsett fra at for PCB forsåpes prøvene i metanol og kaliumhydroksid og ekstraheres med pentan.

Analyser av polyklorerte dibenzofuraner/-dioksiner (PCDF/-D) inklusive non-ortho og mono-ortho PCB ble gjennomført av Umeå Universitet, Kemiska institusjonen, Miljökemiska Laboratoriet ved Per Liljelind og Sture Bergek. De anvendte opparbeidingsmetodene er validerte gjennom flere internasjonale interkalibreringer og GC-MS-analysene er utført etter svensk standard SS-EN 1948:1-3. Analysene oppfyller kvalitetskravene for analyse av dioksiner og dioksinlignende PCB, i EU-direktiv 2002/69/EC. Nærmere beskrivelse av metodene er gitt i Vedlegg 5.7.

Alle prøvene av bunnfauna ble opparbeidet ved NIVAs laboratorier. Siktematerialet i prøvene ble håndsortert under 4-6 x forstørrelse og alle dyr plukket ut. Alle dyr ble identifisert og telt, og materialet ble overført til etanol for oppbevaring.

## 2.4 Bedømming av miljøtilstand

### 2.4.1 Klifs klassifiseringssystem for vann, sedimenter og biota

Klima- og forurensningsdirektoratet (Klif) har utviklet kriterier for klassifisering av miljøkvalitet basert på innhold av forurenede forbindelser (i sedimenter, skjell og snegl) eller på grunnlag av artsmangfold for bløtbunnsfauna (Molvær mfl. 1997). I 2007 gjorde Klif en revisjon av klassifiseringen av metaller og organiske miljøgifter i vann og sedimenter (SFT 2007). Disse to dokumentene er anvendt i klassifiseringen av miljøtilstand. Systemet opererer med fem tilstandsklasser som spenner fra *bakgrunn* til *svært dårlig* for innhold av forurenende stoffer i vann og sedimenter eller tilvarende *ubetydelig* til *meget sterkt forurenset* for forurenede stoffer i organismer. Tilstandsklassene er fargesatt som vist i **Tabell 7**.

**Tabell 7.** Klifs klassifisering av miljøtilstand.

	Tilstandsklasser				
	I Ubetydelig – Lite forurenset Bagrunn	II Moderat forurenset God miljøtilstand	III Markert forurenset Moderat miljøtilstand	IV Sterkt forurenset Dårlig miljøtilstand	V Meget sterkt forurenset Svært dårlig miljøtilstand
Fargesetting	Blå	Grønn	Gul	Oransje	Rød

### 2.4.2 Klassifisering av bløtbunnsfauna

I forbindelse med innføring av vanndirektivet er det under utvikling et system for klassifisering av miljøtilstand i alle vannresipienter. Et foreløpig (førstegenerasjons-) klassifiseringssystem for bløtbunnsfauna er nylig publisert. Systemet omfatter flere indeks for artsmangfold og toleranse for påvirkninger som beregnes på grunnlag av faunaens sammensetning. Systemet spenner over fem

økologiske tilstandsklasser fra *svært god* til *svært dårlig* tilstand (**Tabell 8**). Systemet erstatter Klifs klassifiseringssystem for bløtbunnsfauna (Molvær mfl. 1997), men det bygger delvis på og har stor likhet med dette.

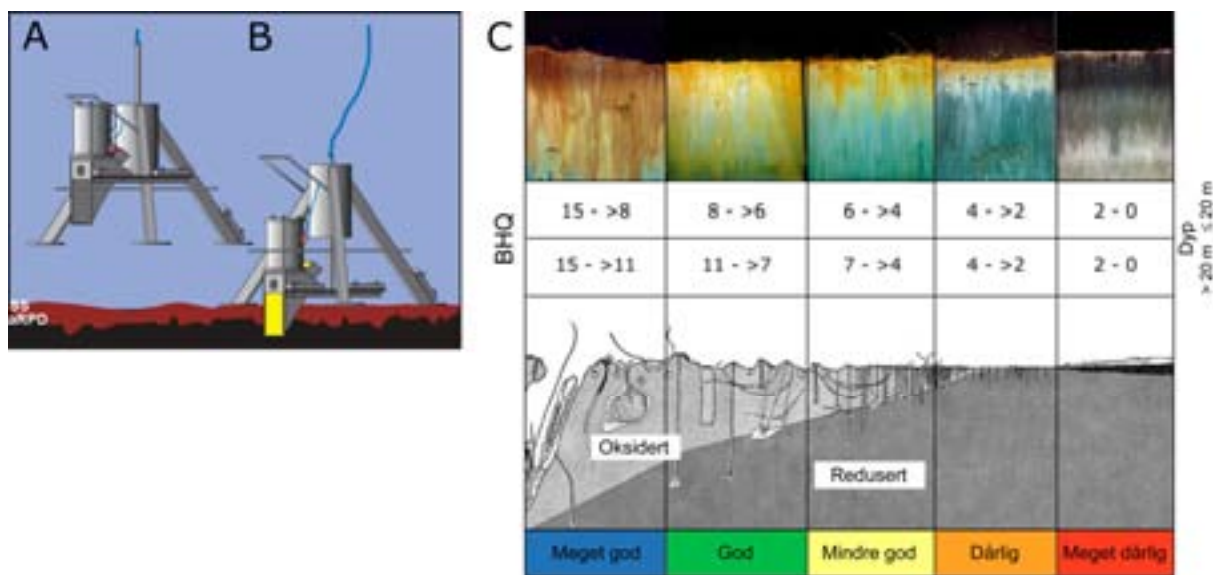
Indeksene som inngår i systemet er Hurlberts indeks  $E(S_{100})$  og Shannon-Wieners indeks ( $H'$ ) som begge er mål for artsrikhet, ISI som uttrykker en relasjon mellom forurensningsømfintlige og tolerante arter, og NQI 1 som er et kombinert mål for artsrikhet og ømfintlighet. Det skal legges vekt på den sammensatte indeksen NQI 1 ved vurdering av økologisk tilstand.

**Tabell 8.** Referanse tilstand og klassegrenser for indekser for bløtbunnsfauna i vanndirektivet (Veileder 01:2009).

Referanse-verdi	Økologiske tilstandsklasser				
	Svært god	God	Moderat	Dårlig	Svært dårlig
Hurlberts indeks ( $Esn=100$ )	32	>25	17-25	10-17	5-10
Shannon-Wiener indeks ( $H' \log 2$ )	4,4	>3,8	3,0-3,8	1,9-3,0	0,9-1,9
ISI	9,0	>8,4	7,5-8,4	6,1-7,5	4,2-6,1
NQI 1	0,78	>0,72	0,63-0,72	0,49-0,63	0,31-0,49
					<0,31

#### 2.4.3 Klassifisering av sedimentprofilbilder

Sedimentprofilfotografering (SPI) er en rask metode for visuell kartlegging og klassifisering av sediment og bløtbunnsfauna. Teknikken kan sammenlignes med et omvendt periskop som ser horisontalt inn i de øverste dm av sedimentet. Bildet som blir 17,3 cm bredt og 26 cm høyt, tas nede i sedimentet uten å forstyrre strukturer i sedimentet. Et digitalt kamera med blits er montert i et vanntett hus på en rigg med tre ben (**Figur 4**). Denne senkes ned til sedimentoverflaten slik at en vertikal glassplate presses ca. 20 cm ned i sedimentet. Bildet tas gjennom glassplaten via et skråstilt speil hvilket til sammen utgjør prismet. Resultatet er digitale fotografier med detaljer både av strukturer og farger i overflatedepositum.



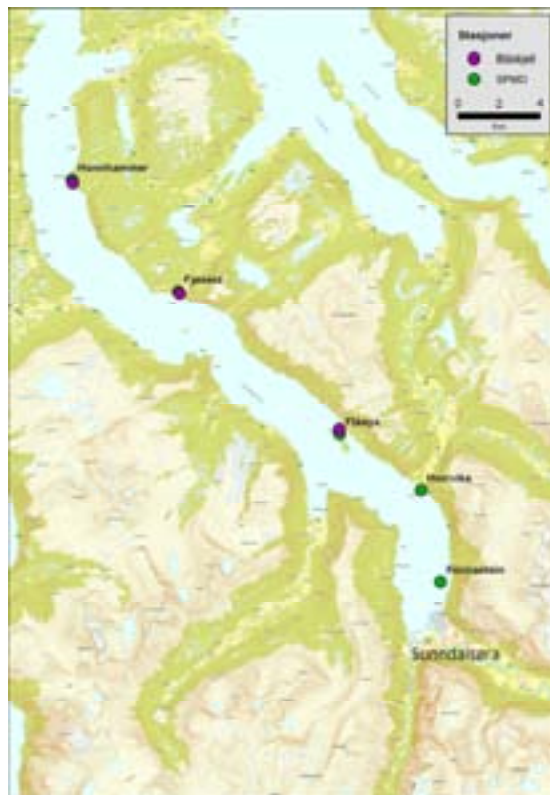
**Figur 4.** Prinsippskisse for SPI-kamera og bildeanalyse. (A) Kamera og rigg over bunnen (SS = sedimentoverflate og aRPD = grense mellom det bioturberte oksiderte og reduserte sedimentlaget [apparent redox potential discontinuity]). (B) Kamera med prisme som har trengt ned i sedimentet og bildet eksponeres. (C) Figuren over viser en modell av endringer i faunatype fra upåvirkede bunnssedimenter med en rik, dyptgravende fauna (*meget god* tilstand) til en grunnlevende, fattig fauna i påvirkede områder (*meget dårlig* tilstand). Sedimentprofilbildet er vist i toppen av figuren, der brunt farget sediment indikerer oksidert, bioturbert sediment mens sortfarget sediment indikerer reduserte forhold. BHQ-miljøkvalitetsindeks for vanndyp  $\leq$  20 meter og  $>$  20 m er i henhold til EUs vanndirektiv for marine sedimenter (Pearson og Rosenberg 1978, Nilsson og Rosenberg 1997, Rosenberg mfl. 2004, Nilsson & Rosenberg 2006).

Fra bildene kan en beregne en miljøindeks (Benthic Habitat Quality index; BHQ-indeks) ut fra strukturer i sedimentoverflaten (rør av børstemark, fødegrøp og ekskrementhaug) og strukturer under sedimentoverflaten (bløtbunnsfauna, faunagang og oksiderte tomrom i sedimentet) samt redox-forhold i sedimentet. Indeksen varierer på en skala fra 0 til 15. Denne indeksen kan siden sammenlignes med Pearson og Rosenbergs klassiske modell for faunaens suksesjon. Fra denne modellen klassifiseres bunnmiljøet i henhold til retningslinjer i EUs vanndirektiv (Rosenberg mfl. 2004)

## 3. Resultater

### 3.1 PAH i vannmasser

Konsentrasjoner av PAH i vannmassene ble belyst ved akkumulering i blåskjell (3 lokaliteter) og passive prøvetakere (5 lokaliteter), se **Figur 5**.



**Figur 5.** Lokaliteter for innsamling av blåskjell og utsetting av SPMDer.

#### 3.1.1 Blåskjell

Konsentrasjonene av PAH<sub>16</sub> tilsvarte Klifs tilstandsklasse I-Bakgrunn, mens innholdet av BaP var svakt forhøyet i skjellene fra Flå og Honnhammer og tilsvarende Klifs tilstandsklasse II-God, (**Tabell 9**). På alle tre stasjonene var BaP-konstrasjonen godt under Mattilsynet/EUs grenseverdi for muslinger på 10 µg/kg friskvekt.

**Tabell 9.** PAH<sub>16</sub> og BaP i blåskjell fra Sunndalsfjorden. Klifs tilstandsklasser i parentes. Dataene er hentet fra CEMP-programmet.

Lokalitet	PAH <sub>16</sub> µg/kg f.v	BaP µg/kg f.v
Flå	<23 (I)	1,8 (II)
Fjøseid	<12 (I)	0,7 (I)
Honnhammer	<22 (I)	1,2 (II)
Mattilsynet/EUs grenseverdi	-	10

### 3.1.2 Passive prøvetakere (SPMD)

Metode for beregning av konsentrasjon av løst PAH i vannmassene er gitt i Vedlegg 5.1.

De fleste PAHene hadde detekterbare konsentrasjoner i SPMDene fra Fonnastein og Horrvika, mens konsentrasjonene av benzo[a]pyrene, perylene og dibenzo[a,h]anthracene var under deteksjonsgrensen på de tre andre lokalitetene (Level of detection, LOD ~ 20-30 pg L<sup>-1</sup>). Relativt standardavvik for replikate prøver fra hver stasjon var generelt godt under 10 % unntatt to verdier på 11 % og en på 35 %.

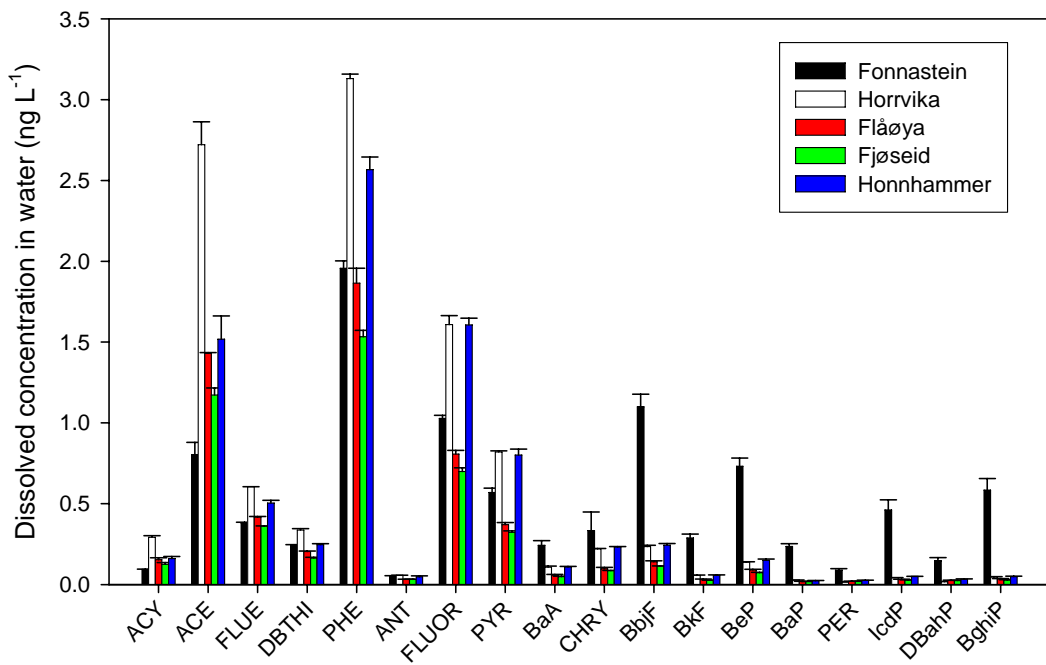
**Tabell 10.** Beregnede løste PAH-konsentrasjoner i vannmassene i Sunndalsfjorden.

Forbindelse	Log K <sub>ow</sub>	Konsentrasjon (ng/L)				
		Fonnastein	Horrviika	Flåøya	Fjørseid	Honnhammer
ACY	4.07	<0.1	0.29	0.15	0.12	0.16
ACE	3.92	0.80	2.72	1.43	1.17	1.52
FLUE	4.18	0.38	0.61	0.42	0.36	0.50
DBTHI	4.40	0.24	0.34	0.20	0.16	0.25
PHE	4.57	1.96	3.13	1.86	1.53	2.57
ANT	4.54	<0.06	0.056	<0.04	<0.04	0.048
FLU	5.22	1.03	1.61	0.81	0.70	1.61
PYR	5.18	0.57	0.821	0.37	0.32	0.80
BaA	5.91	0.24	0.11	0.058	0.049	0.11
CHRY	5.86	0.33	0.22	0.098	0.087	0.23
BbjF	5.80	1.1	0.23	0.14	0.11	0.24
BkF	6.00	0.29	0.057	0.033	0.027	0.057
BeP	6.04	0.73	0.14	0.090	0.073	0.15
BaP	6.04	0.24	0.028	<0.02	<0.02	<0.03
PER	6.25	0.090	0.016	<0.02	<0.02	<0.03
ICDP	6.50	0.46	0.043	0.032	0.027	0.050
DBahA	6.75	0.15	<0.02	<0.03	<0.03	<0.04
BghiP	6.50	0.58	0.048	0.036	0.029	0.049
Σ PAHs		9.2	10.5	5.8	4.8	8.4

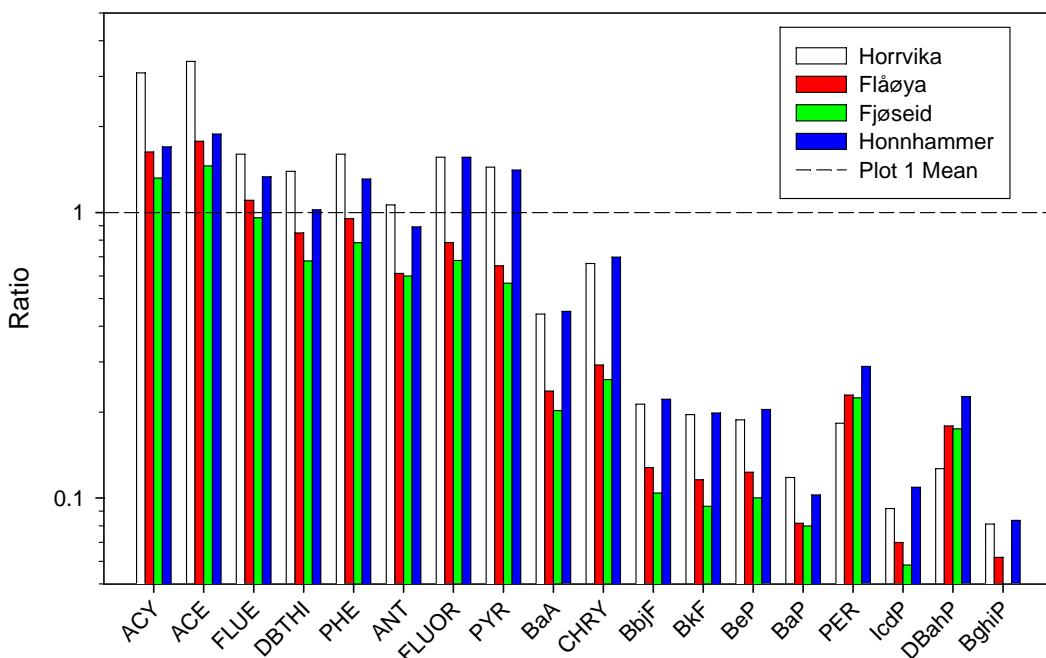
Merk: Verdier i rødt er under LOD

Merk: Ved beregning av sum PAH når enkeltverdier var under deteksjonsnivå, er en verdi på ½ LOD anvendt

Høyest konsentrasjon av de lettere PAHene opp til pyren ble generelt observert på stasjonen ved Horrvika og med relativt like verdier på de andre stasjonene. For de tyngre PAHene fra benzo[a]anthracen til benzo[ghi]perlen var verdiene tydelig høyest ved Fonnastein (**Figur 6** og **Figur 7**).



**Figur 6.** PAH-konsentrasjoner ( $\text{ng L}^{-1}$ ) målt med SPMD i overflatevann (2 m) på fem stasjoner i Sunndalsfjorden.



**Figur 7.** PAH-konsentrasjoner målt ved Horrvika, Flåøya, Fjøseid og Honnhammer relativt til konsentrasjonene målt ved Fonnastein (lokaliseten nærmest Sunndalsøra).

I utgangspunktet hadde det vært interessant å sammenligne disse verdiene med Environmental Quality Standards (EQS) i EUs Vanndirektiv (**Tabell 11**). Det er imidlertid ikke helt enkelt idet de passive prøvetakerne kun måler den fritt løste fraksjonen mens verdiene i Vanndirektivet refererer seg til totalkonsentrasjon i vannmassene ("whole water"). Imidlertid, på grunnlag av enkle empiriske sammenhenger mellom log  $K_{OC}$ -log  $K_{OW}$  (Karickhoff, 1981) kan "screening-verdier" av "total"-PAH ("whole water") estimeres hvis TOC/DOC-innholdet i vannmassene er kjent. Det forutsetter likevekt mellom PAH i løst fase og PAH bundet til suspendert og løst organisk karbon. En konsentrasjon i vannmassene av total organisk karbon på 1-3 mg/L er anvendt (**Tabell 12**).

**Tabell 11.** Konsentrasjoner av løst PAH i vannmassene i Sunndalsfjorden (beregnet fra SPMDer) sammenlignet med "Annual average" EQS i Vanndirektivet (VD) for PAH i vannmasser. Spennet angir variasjonen over alle stasjonene.

Forbindelser	Spenn av tidsveide gjennomsnittlige løste konsentrasjoner (ng L <sup>-1</sup> )	VD AA-EQS (ng L <sup>-1</sup> )
ANT	A	100
FLUO	0.7-1.7	100
$\Sigma B[b]F & B[k]F$	0.14-1.5 <sup>a</sup>	30
B[a]P	<0.02-0.25	50
$\Sigma In[1,2,3-cd]P & B[ghi]P$	0.05-0.15	2

<sup>a</sup>Inkluderer også B[j]F

Merk: Tabellen sammenligner fritt løst PAH med "whole water" EQS satt av EU Vanndirektiv

A: Mesteparten av data under eller nær LODs (lavt pg L<sup>-1</sup>-nivå)

**Tabell 12.** Modellberegnede konsentrasjoner av "total"-PAH i vannmassene i Sunndalsfjorden (beregnet fra SPMDer) sammenlignet med "Annual average" EQS i Vanndirektivet (VD) for PAH i vannmasser. Spennet angir variasjonen over alle stasjonene.

Forbindelser	Spenn for estimerte "whole water"-konsentrasjoner (ng/L)	VD AA-EQS (ng/L)
ANT	Se tabellen over	100
FLUO	0.7-2.0	100
$\Sigma B[b]F & B[k]F$	0.2-2.7 <sup>a</sup>	30
B[a]P	<0.03-0.6	50
$\Sigma In[1,2,3-cd]P & B[ghi]P$	0.1-5.3	2

<sup>a</sup>Inkluderer også B[j]F

Merk: Tabellen sammenligner fritt løst PAH med "whole water" EQS satt av EU Vanndirektiv.

Estimatene er basert på beregninger fra SPMD-data og empiriske sammenhenger mellom log  $K_{OC}$ -log  $K_{OW}$ :  $\log K_{OC} = 0.989 \log K_{OW} - 0.346$  (se Karickhoff, 1981)

**Tabell 12** sannsynliggjør at PAH-konsentrasjonen i vannmassene på alle stasjonene er under EUs grenseverdi bortsett fra for summen av indenopyren og benzoperylen.

Forholdstall mellom enkelt-PAHer kan gi informasjon om kilde (Vrana et al. 2001). PAH med en pyrolytisk opprinnelse er karakterisert av relativt lave fenantren/antrasen-forhold (<10). Dette stemmer med det som observeres i sedimentene (**Tabell 13**), men er forskjellig fra det som observeres både i de

passive prøvetakerne og i blåskjellene. Mest sannsynlig skyldes det fotoaksidasjon av antrasen i vannmassene.

En fluoranten/pyren-ratio  $>1$  indikerer pyrogen kilde, men et forholdstall  $<1$  er mer representativt for en petrogen PAH-forurensning. I Sunndalsfjorden er forholdstallet  $>1$  både i vannmassene og i sedimentene. Videre, krysen/benzo(a)antrasen-forhold  $<1$  er forventet hvis PAH-kilden er pyrogen. Verdiene i Sunndalsfjorden er generelt  $<2$  og godt under forventet verdi hvor kilden er petrogen ( $\sim 10$ ). Litteraturverdier for en pyrogen kilde tilsier et fluoranten/(fluoranten+pyren)-forhold på 0,53. I Sunndalsfjorden stemmer dette godt for sedimentene. Svakt høyere forholdstall ble observert i SPMDene og i blåskjellene.

Oppsummert tilsier PAH-forholdstallene en pyrogen kilde for PAH på alle stasjonene. Det er også generelt en meget god overensstemmelse mellom forholdstallene i de passive prøvetakerne og i blåskjellene. Det viser at de fritt løste konsentrasjonene, som måles med SPMDene, representerer den biotilgjengelige fraksjonen. Man kan da bruke denne målemetoden for å gi et estimat for hva PAH-konsentrasjonen i blåskjell ville vært. Siden mange fjordområder med PAH-påvirkning også er påvirket av ferskvannstilførslar slik at blåskjell ikke finnes, åpner dette for muligheten til å estimere PAH-konsentrasjonen i en forvaltningsmatris der denne er vanskelig å få tak i.

**Tabell 13.** PAH-forholdstall for SPMDer og sedimenter.

	Fonnastein	Horrsvika	Flåøya	Fjøseid	Honnhammer	Sediment (spenn)
PHE/ANT	> 36	54	> 56	> 47	53	5,21-7,94
FLUO/PYR	1,81	1,96	2,18	2,17	2,00	1,04-1,32
KRY/BaA	1,37	2,06	1,69	1,76	2,13	1,02-1,60
BbF/BkF	3,82	4,15	4,21	4,25	4,26	2,73-3,30
BaP/BeP	0,32	0,20	< 0,21	< 0,26	< 0,16	0,65-1,26
FLUO/(FLUO+PYR)	0,64	0,66	0,69	0,68	0,67	0,52-0,57

**Tabell 14.** PAH-forholdstall for blåskjell.

	Flåøya	Fjøseid	Honnhammer
PHE/ANT	> 8,2	> 6,9	> 12,2
FLUO/PYR	1,34	1,83	1,63
CHRY/BaA	1,53	2,07	2,53
BbF/BkF	3,45	3,50	3,59
BaP/BeP	0,60	0,68	0,44
FLUO/(FLUO+PYR)	0,57	0,68	0,62

### 3.2 Organismer

Undersøkelser av miljøgifter i organismer ble gjort på torsk og krabbe samlet ved Jordalsnes og Flåøya (**Figur 8**).



**Figur 8.** Lokaliteter for innsamling av torsk og krabbe.

### 3.2.1 Metaller og PAH i krabbe

Konsentrasjonen av tungmetaller i skallinnmat fra taskekrabbe er vist i **Tabell 15**. Det er sparsomt med data generelt om dette. En sammenstilling ble imidlertid gjort av Barland mfl. (1996) over forventet variasjonsbredde (min.-maks.). Resultatene viser at konsentrasjonene av metaller i skallinnmat av krabbe fra Sunndalsfjorden var godt under disse verdiene (**Tabell 15**).

**Tabell 15.** Metaller i krabbeinmat.

Krabbeinmat	TS %	Ag µg/g	As µg/g	Cd µg/g	Co µg/g	Cr µg/g	Cu µg/g	Ni µg/g	Pb µg/g	Zn µg/g
<i>Tørrvektbasis:</i>										
Flå	41	0,744	12,3	5,15	0,0859	<0,3	15	0,032	0,0409	31,9
Jordalsnes	37	0,62	11,9	2,28	0,0908	<0,3	16,2	0,06	0,0349	38,9
<i>Friskvektbasis:</i>										
Flå		0,31	5,04	2,11	0,04	<0,1	6,15	0,01	0,02	13,08
Jordalsnes		0,23	4,40	0,84	0,03	<0,1	5,99	0,02	0,01	14,39
Barland mfl. 1996 <i>(friskvekt)</i>	-	14- 102	0,34- 5,0	-	0,3-0,5	8-32	0,2- 0,9	0,03- 0,28	27-63	

Det er også begrenset og varierende informasjon om konsentrasjoner av PAH i skallinnmat av taskekrabbe. Klif har heller ikke utarbeidet tilstandsklasser. Knutzen mfl. (1999) gjorde imidlertid en

gjennomgang av dette og konkluderer at ved konsentrasjoner av sum PAH over 10-20 µg/kg friskvekt er en indikasjon på en påvirkning. Resultatene fra krabber fra Sunndalsfjorden tyder på at verdiene ligger i et normalområde (**Tabell 16**).

**Tabell 16.** Benzo(a)pyren og PAH<sub>16</sub> i krabbeinnmat.

Stasjon	TS %	BaP µg/kg f.v.	PAH <sub>16</sub> µg/kg f.v.
Flå	41	0,744	12,3
Jordalsnes	37	0,62	11,9

For kvikksølv i klokjøtt fra krabbe har EU satt en grenseverdi på 0,5 µg/g friskvekt. Verdiene i krabbene fra Sunndalsfjorden var godt under denne grenseverdien (**Tabell 17**). Det er ikke utviklet norske grenseverdier for kvikksølv i klokjøtt fra krabbe.

**Tabell 17.** Kvikksølv i klokjøtt fra krabbe.

Stasjon	TS %	Hg µg/g t.v.	Hg µg/g f.v.
Flå	22,6	0,03	0,007
Jordalsnes	21,7	0,05	0,01
EU grenseverdi		-	0,5

### 3.2.2 PAH-metabolitter i galle av torsk

Fisk blir eksponert for PAH i hovedsak gjennom inntak av PAH-forurensset føde, i stor grad sedimentlevende organismer. Imidlertid har fisk et enzymssystem som bryter ned PAH slik at disse forbindelsene er vanskelig målbare i filet. I nedbrytingen av PAH gjøres PAH-forbindelsene mer løselige for så å kunne skilles ut gjennom gallen. Forekost av PAH-metabolitter i galle gir dermed informasjon om fisken har vært eksponert for disse forbindelsene. Konsentrasjoner av PAH-metabolitter i galle av torsk fra Sunndalsfjorden sammenlignet med fisk fra andre lokaliteter er vist i **Tabell 18** og **Tabell 19**. Verdiene var lave.

**Tabell 18.** Metabolitter av benzo(a)pyren og naftalen i galle av torsk (µg/kg f.v.).

Stasjon		3-OH-BAP	2-OH-NAP
Jordalsnes	Antall prøver analysert Gjennomsnitt	8 Ikke identifisert (<2)	8 Ikke identifisert (<500)
Flå	Antall prøver analysert Gjennomsnitt	8 Ikke identifisert (<2)	8 Ikke identifisert (<500)
Karmsundet, 3 stasjoner	Antall prøver analysert Gjennomsnitt	8-25 3,4-8,2	8-25 Ikke identifisert (<500)
Sauda 2007	Gjennomsnitt indre fjordbasseng	0,36	Ikke identifisert (<500)
CEMP 2008	Gjennomsnitt indre Sørfjorden Gjennomsnitt Brandasund	2 <2	Ikke identifisert (<500) Ikke identifisert (<500)

**Tabell 19.** Metabolitter av fenantren og pyren i galle av torsk (µg/kg f.v.).

Stasjon		1-OH -PA	1-OH -PYR
Jordalsnes	Antall prøver analysert Gjennomsnitt	8 6	8 3
Flå	Antall prøver analysert Gjennomsnitt	8 6	8 6
Karmsundet, 3 stasjoner	Antall prøver analysert Gjennomsnitt	8-25 39-215	8-25 461-3994
Sauda 2007	Gjennomsnitt indre fjordbasseng	2,6	8
CEMP 2008	Gjennomsnitt indre Sørfjorden Gjennomsnitt Brandasund	19 13	117 42

### 3.2.3 Klorerte forbindelser i torsk og krabbe

Torskelever og skallinnmat fra krabbe ble analysert for innhold av dioksiner og PCBer med dioksinlignende virkning. Resultatene er oppsummert i **Tabell 20**, **Tabell 21** og **Tabell 22**. Konsentrasjonene var lave og svarende til Klifs tilstandsklasse I-uforenset.

**Tabell 20.** Innhold av dioksiner i torsk og krabbe (PCDD/F etter WHO-TEQ<sub>2005</sub> ).

pg TEQ/g	<b>Flå</b>	<b>Jordalsnes</b>	<b>Flå</b>	<b>Jordalsnes</b>
	Krabbeinnmat	Krabbeinnmat	Torskelever	Torskelever
Friskvekt	1,2	1,8	0,94	0,74

Øvre grense KLIF tilstandsklasse I (Ubetydelig forurensset):

Krabbe (hepatopancreas): 10 pg/g friskvekt

Torskelever: 15 pg/g friskvekt

pg TEQ/g	<b>Flå</b>	<b>Jordalsnes</b>	<b>Flå</b>	<b>Jordalsnes</b>
	Krabbeinnmat	Krabbeinnmat	Torskelever	Torskelever
Fettvekt	5,2	8,6	3,7	4,4

**Tabell 21.** Innhold av non-ortho og mono-ortho PCB i torsk og krabbe (PCB etter WHO-TEQ<sub>2005</sub> ).

pg TEQ/g	<b>Flå</b>	<b>Jordalsnes</b>	<b>Flå</b>	<b>Jordalsnes</b>
	Krabbeinnmat	Krabbeinnmat	Torskelever	Torskelever
Friskvekt	2,2	2,5	8,9	7,1
Fettvekt	9,9	12	35	43

**Tabell 22.** Oppsummering av totalt innhold (dioksiner og PCB) av toksisitetsekvivalenter i torsk og krabbe (WHO-TEQ<sub>2005</sub> ). Klifs tilstandsklasser i parentes.

pg TEQ/g	<b>Flå</b>	<b>Jordalsnes</b>	<b>Flå</b>	<b>Jordalsnes</b>
	Krabbeinnmat	Krabbeinnmat	Torskelever	Torskelever
Friskvekt	3,4** (I)	4,3** (I)	9,8* (I)	7,9* (I)
Fettvekt	15	21	39	47

\*EUs grenseverdi for dioksiner og dioksinlignende PCB i muskelkjøtt av fisk er 8,0 pg/g friskvekt

\*\*EUs grenseverdier gjelder ikke for krabbeinnmat

Verdiene i lever av torsk lå rundt EUs grenseverdi for muskelkjøtt. Merk i den sammenheng at leververdiene normalt vil være høyere enn muskelverdiene på grunn av høyere fettinnhold i leveren. Det tilsier at konsentrasjonen av toksisitetsekvivalenter i muskelkjøtt av torsk fra Sunndalsfjorden vil ligge godt under EUs grenseverdi.

### 3.3 Sedimenter

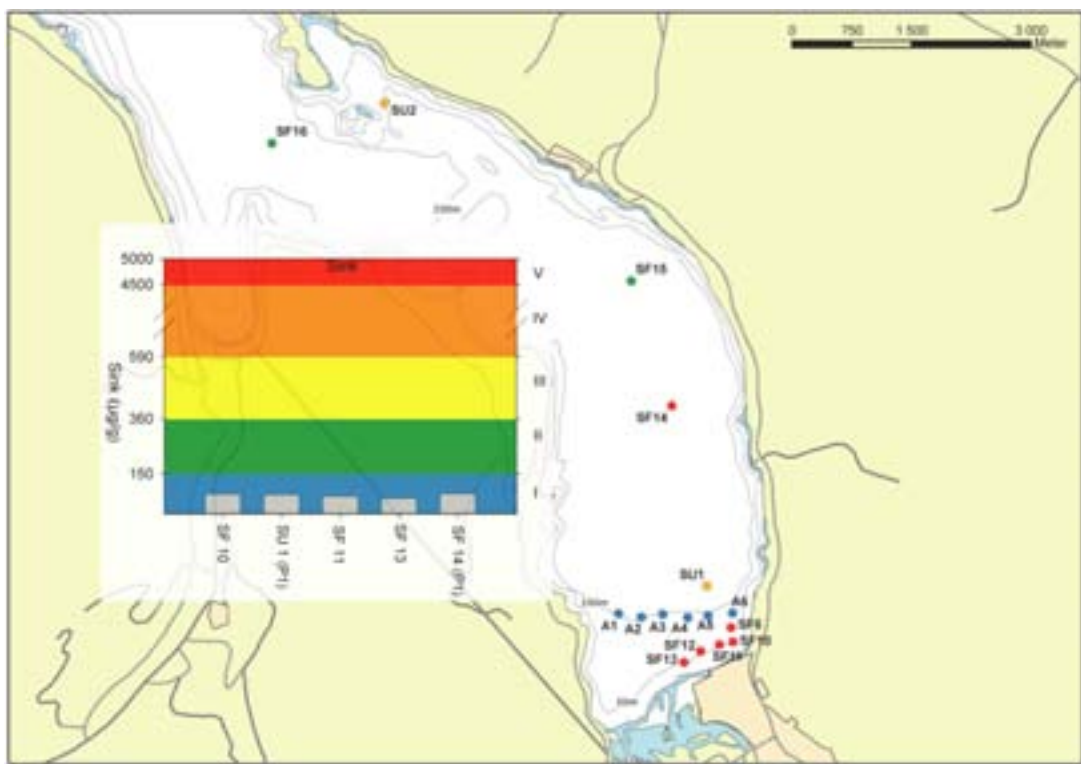
#### 3.3.1 Sedimenttyper og metallinnhold

Sedimentene i Sunndalsfjorden var generelt finkornige med høyt innhold av partikler med kornstørrelse mindre enn 63 µm, bortsett fra de innerste stasjonene nær Sunndalsøra. Disse stasjonene var mer sandig/siltige. Det samme var tilfelle for parallel 2 fra stasjon 14. Alle stasjonene hadde et relativt lavt innhold av organisk karbon (Tabell 23).

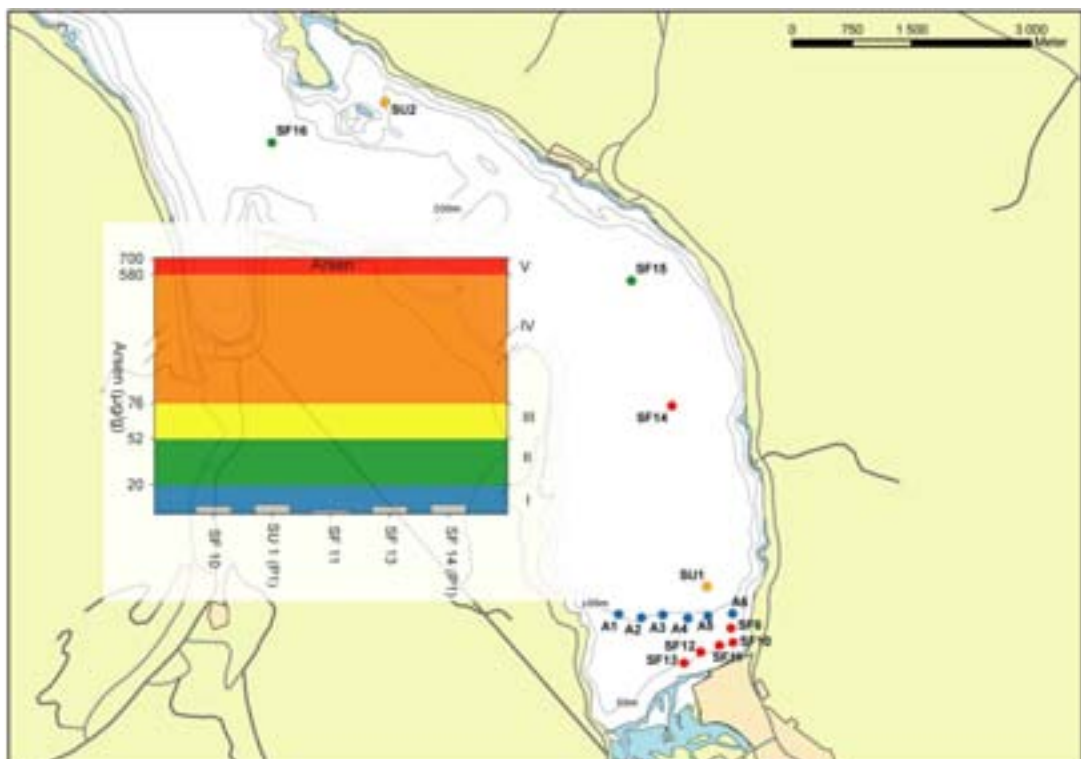
**Tabell 23.** Innhold av finstoff og totalt organisk karbon i overflatesedimentene (0-2 cm) fra Sunndalsfjorden.

Stasjon	% <63µm t.v.	µg C/mg t.v.
SU 1 P1	90	13
SU 1 P2	90	14,6
SU 1 P3	91	14,6
SU 1 P4	89	13,4
SU 1 P5	91	17,2
SF 6	60	26,7
SF 12	50	25,7
SF 10	51	29,6
SF 16	95	14,6
SF 15 P1	96	11,6
SF 15 P2	96	12,8
SF 15 P3	95	11,3
SF 14 P1	78	10,2
SF 14 P2	54	9
SF 14 P3	83	11,3
SF 13	60	17,2
SF 11	50	22,9
SU 2 P1	92	14,3
SU 2 P2	93	11,4
SU 2 P3	92	13

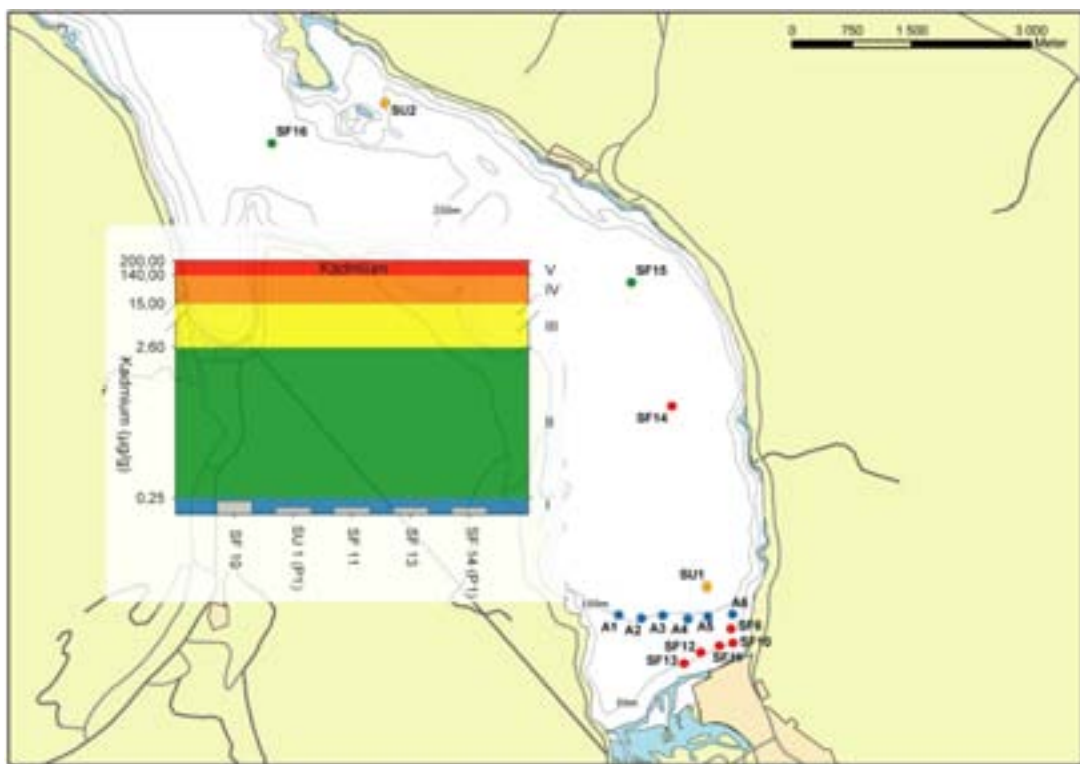
Sedimentene fra utvalgte stasjoner ble analysert for innhold av metallene sink, arsen, kadmium, kobber, kvikksølv, nikkel, bly og krom og sammenlignet med Klifs tilstandsklasser (Figur 9, Figur 10, Figur 11, Figur 12, Figur 13, Figur 14, Figur 15 og Figur 16).



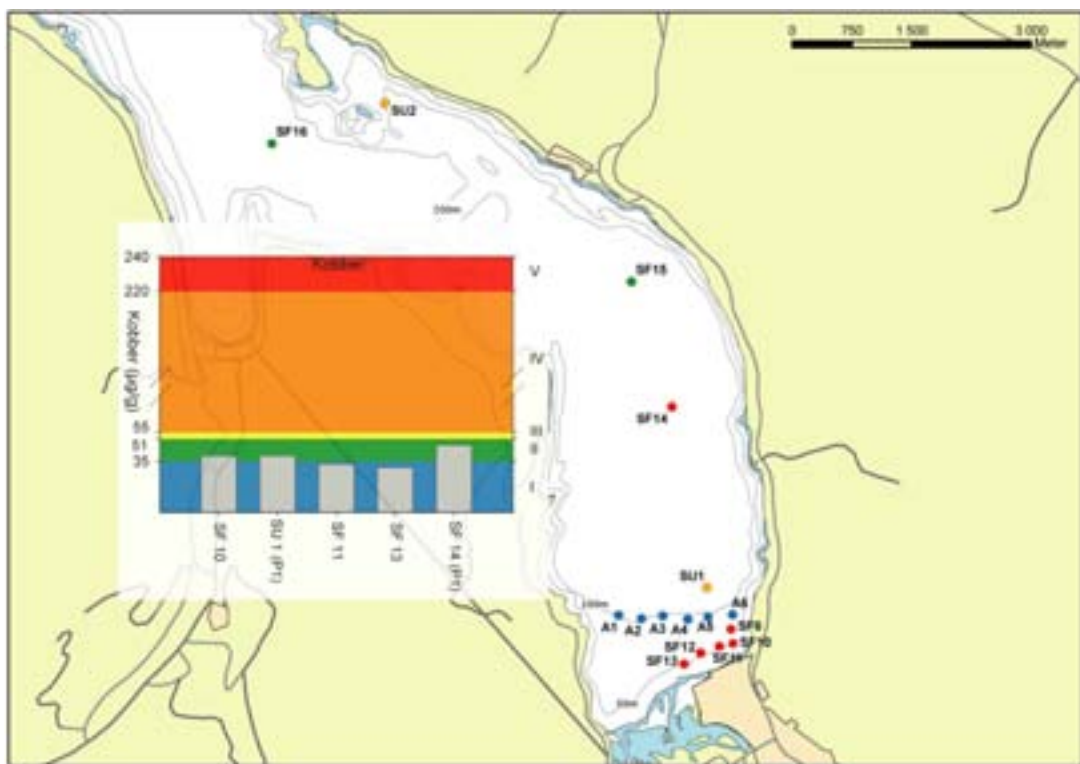
**Figur 9.** Sink i overflatesedimentet (0-2 cm) i Sunndalsfjorden.



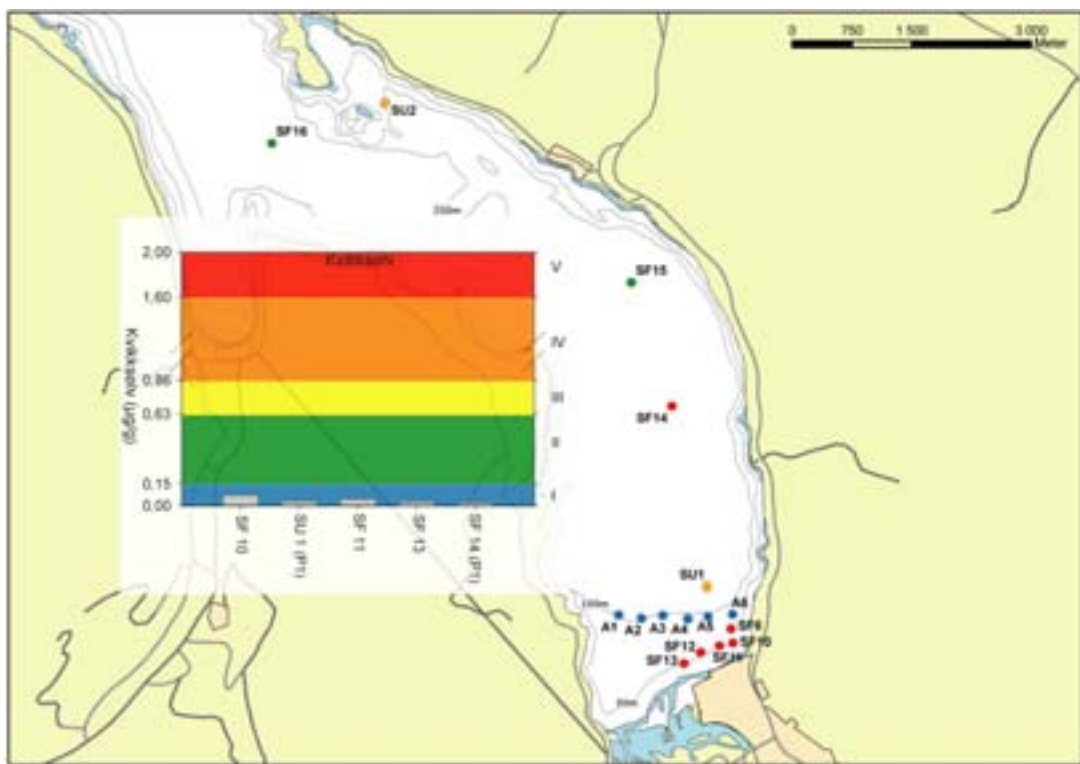
**Figur 10.** Arsen i overflatesedimentet (0-2 cm) i Sunndalsfjorden.



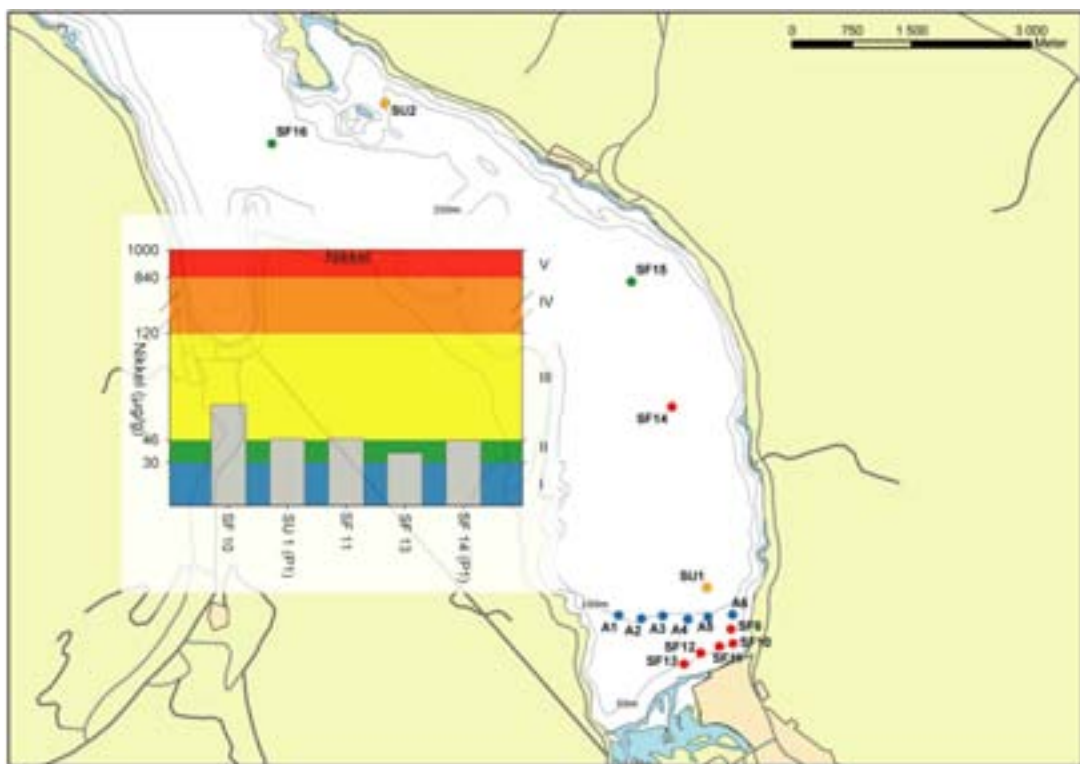
**Figur 11.** Kadmium i overflatesedimentet (0-2 cm) i Sunndalsfjorden.



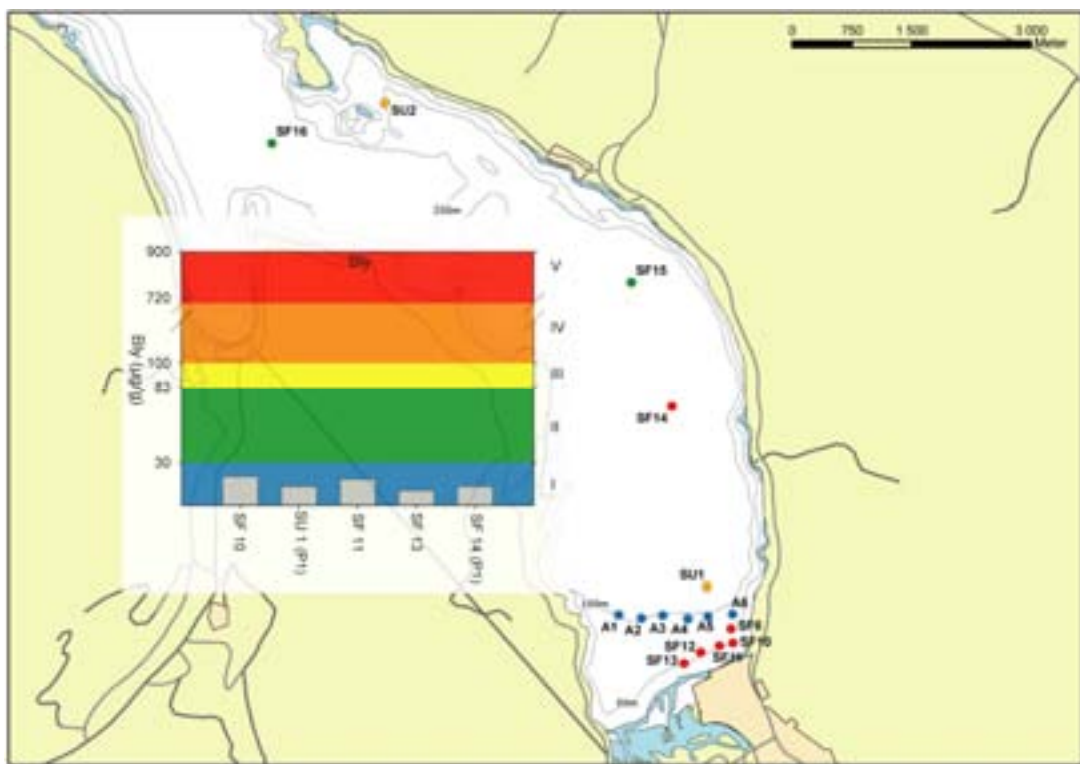
**Figur 12.** Kobber i overflatesedimentet (0-2 cm) i Sunndalsfjorden.



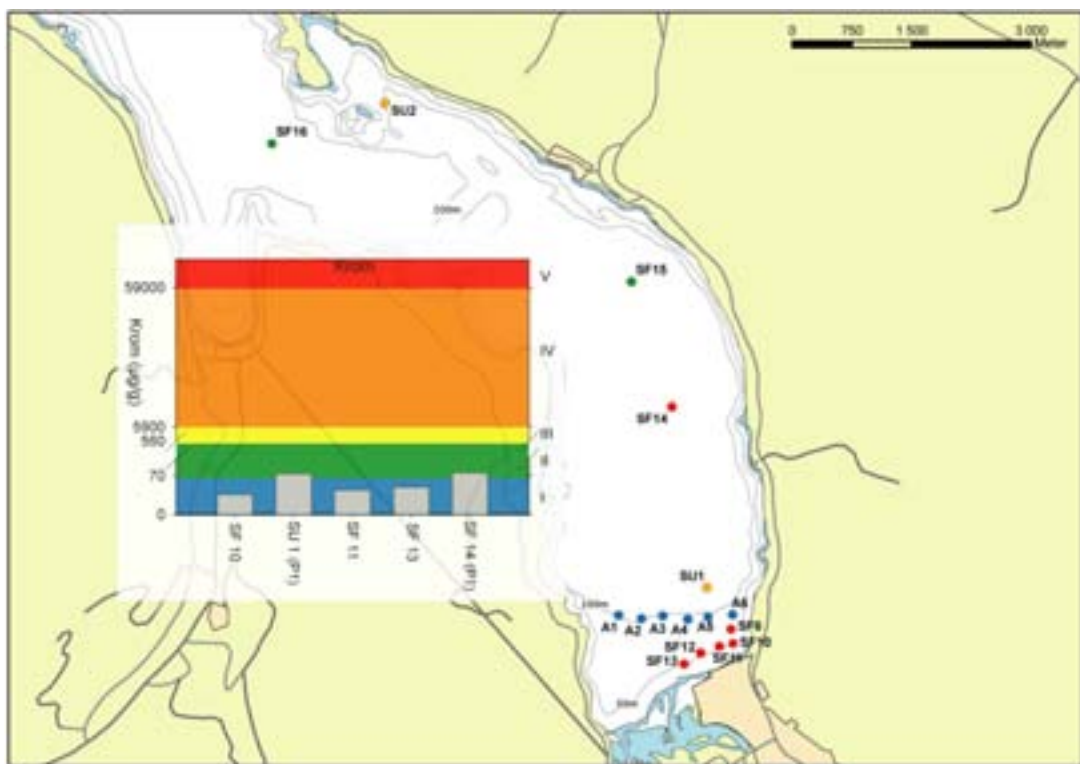
**Figur 13.** Kvikksølv i overflatesedimentet (0-2 cm) i Sunndalsfjorden.



**Figur 14.** Nikkel i overflatesedimentet (0-2 cm) i Sunndalsfjorden.

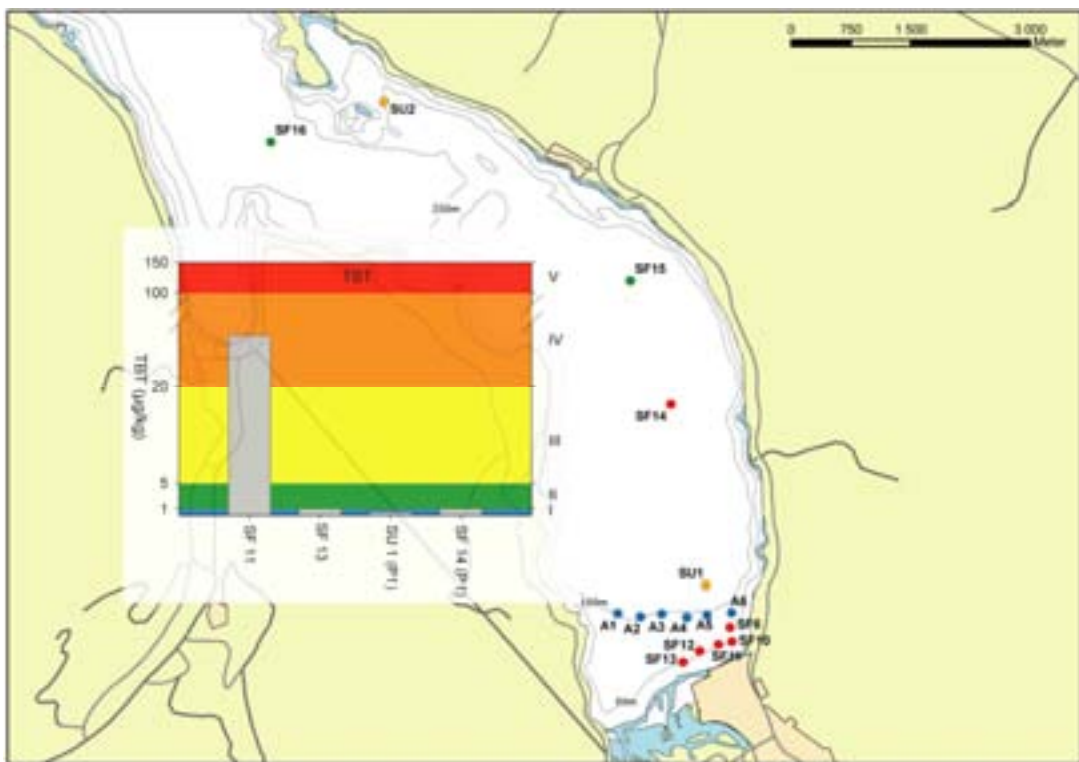


**Figur 15.** Bly i overflatesedimentet (0-2 cm) i Sunndalsfjorden.



**Figur 16.** Krom i overflatesedimentet (0-2 cm) i Sunndalsfjorden.

TBT ble analysert på fire stasjoner. På tre av stasjonene var konsentrasjonene lave (tilstandsklasse I-*uforurenset*). På stasjon SF11 helt innerst i sydøst ved Sunndalsøra var konsentrasjonen forhøyet og svarende til *dårlig* tilstand (tilstandsklasse IV, forvaltningsmessig verdi) (Figur 17). Dette er normalt å observere som følge av påvirkning fra bunnstoff brukt på skip.

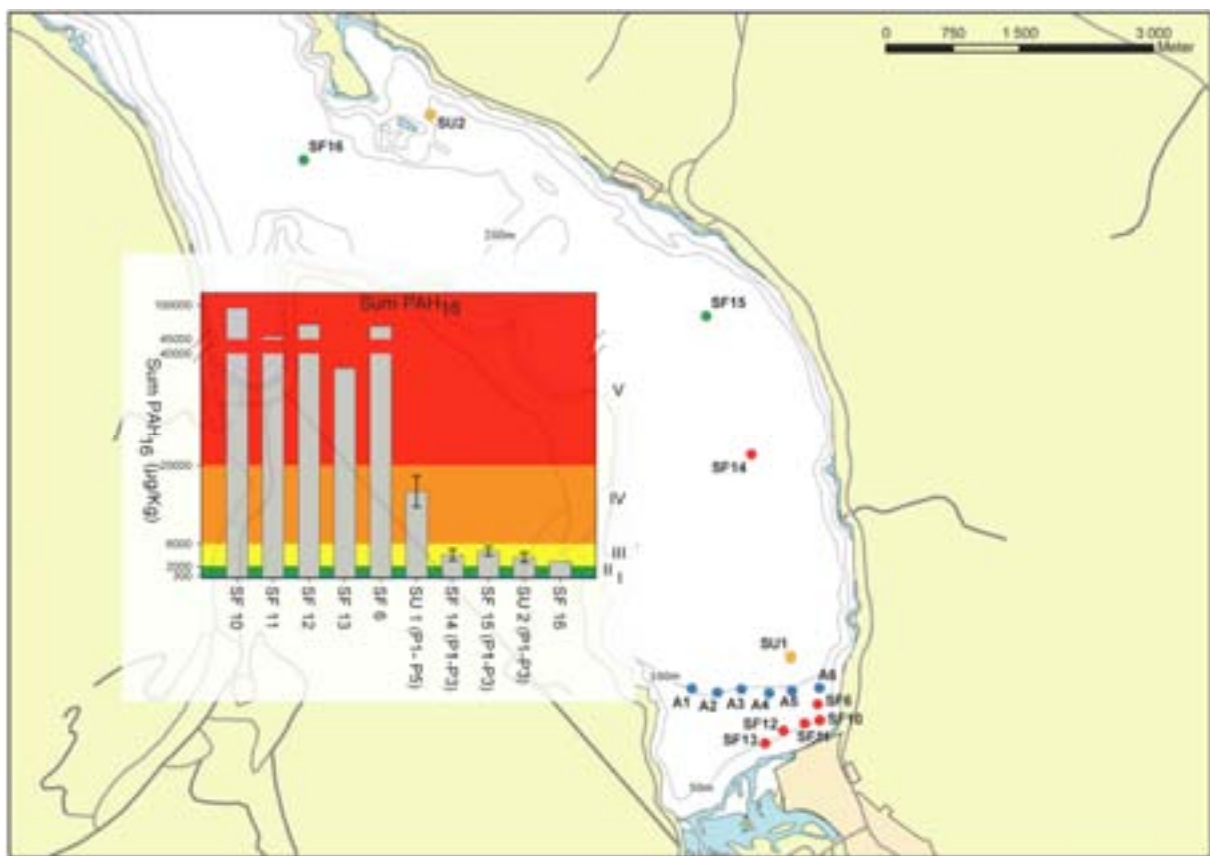


**Figur 17.** Tributyltinn i overflatesedimentet (0-2 cm) i Sunndalsfjorden. Klassifisering er gjort i henhold til forvaltningsmessige grenseverdier i motsetning til de andre forbindelsene som er klassifisert iht. effektbaserte grenseverdier.

### 3.3.2 PAH

Det var høye konsentrasjoner av PAH i sedimentene, i særlig grad i den innerste delen av Sunndalsfjorden. Klif har utviklet klassegrenser for 16 enkelt-PAHer i tillegg til sum PAH<sub>16</sub>. Vi har valgt å presentere kun PAH<sub>16</sub> i Figur 18 idet konsentrationsnivåene for enkelt-PAHene i stor grad tilsvarer bildet for PAH<sub>16</sub>.

Innenfor en avstand på ca. 3 km fra verket tilsvarte konsentrasjonene av PAH<sub>16</sub> *dårlig* til *svært dårlig* miljøtilstand (tilstandsklasses IV-V) og med en særlig høy verdi på stasjon SF10. Denne stasjonen ligger meget nær hovedutslippet fra verket og er særlig påvirket fra PAH-utsippene da bedriften også hadde Søderberg-basert produksjon. Konsentrasjonene avtok raskt utover i fjordsystemet. I en avstand større enn 3 km fra Sunndalsøra var konsentrasjoner tilsvarende at miljøtilstanden i sedimentene kunne klassifiseres som *moderat* (tilstandsklasse III) med hensyn på PAH<sub>16</sub>.



**Figur 18.** PAH<sub>16</sub> i overflatesedimentet (0-2 cm) i Sunndalsfjorden. Der hvor det er tatt parallelle prøver, er gjennomsnitt og  $\pm 1$  standardavvik gitt.

Flere av stasjonene som ble prøvetatt i 2008, er også analysert tidligere. I de forskjellige undersøkelsene som er gjennomført til nå, kan antall PAH-forbindelser som er kvantifisert, variere noe. Det betyr igjen at antall variable som vil inngå i en beregning av sum PAH, også kan variere. I presentasjonen av tidsutviklingen i PAH-belastningen i fjorden har vi derfor valgt å illustrere dette for to enkelt-PAH'er, nemlig fenantren og benzo(a)pyren (**Tabell 24** og **Tabell 25**).

Det er en betydelig nedgang i konsentrasjonene på alle stasjonene bortsett fra på SD1/SU1. Det er vanskelig å peke på klare grunner til at denne stasjonen skiller seg ut.

For å kunne gi en god dokumentasjon på tidsutviklingen av PAH-konsentrasjonene i sedimentet er det nødvendig å etablere gode overvåkingsstasjoner hvor den naturlige variansen i PAH-konsentrasjonen er beskrevet. Under prøvetakingen i 2008 ble det derfor tatt parallelle prøver fra flere stasjoner (SU1, SF14, SF15, SU2). Disse stasjonene vil være hovedstasjonene for å påvise en ytterligere forbedring i fjorden fremover.

**Tabell 24.** Sammenligning av konsentrasjonen av benzo(a)pyren og fenantren i overflatesedimentene i Sunndalsfjorden ved forskjellige prøvetakingstidspunkter.

Stasjon/ forbindelse	S6	SF6	SD1	SU1	S11	SF14
n=1	n=1	n=4	n=5	n=3	n=3	
1986	2008	1995	2008	1986	2008	
BaP	8228	5800	1486	1440	870	407
Fenantren	5212	3700	1051	1064	668	263

**Tabell 25.** Sammenligning av konsentrasjonen av benzo(a)pyren og fenantren i overflatesedimentene i Sunndalsfjorden ved forskjellige prøvetakingstidspunkter.

Stasjon/ forbindelse	S12	SF15	SF13	SF16	SD2	SU2
n=3	n=3	n=1	n=1	n=4	n=3	
1986	2008	1986	2008	1995	2008	
BaP	611	447	400	200	602	370
Fenantren	568	327	519	200	466	217

### 3.4 Bløtbunnsfauna og sedimentaktivitet

#### 3.4.1 Prøvetaking

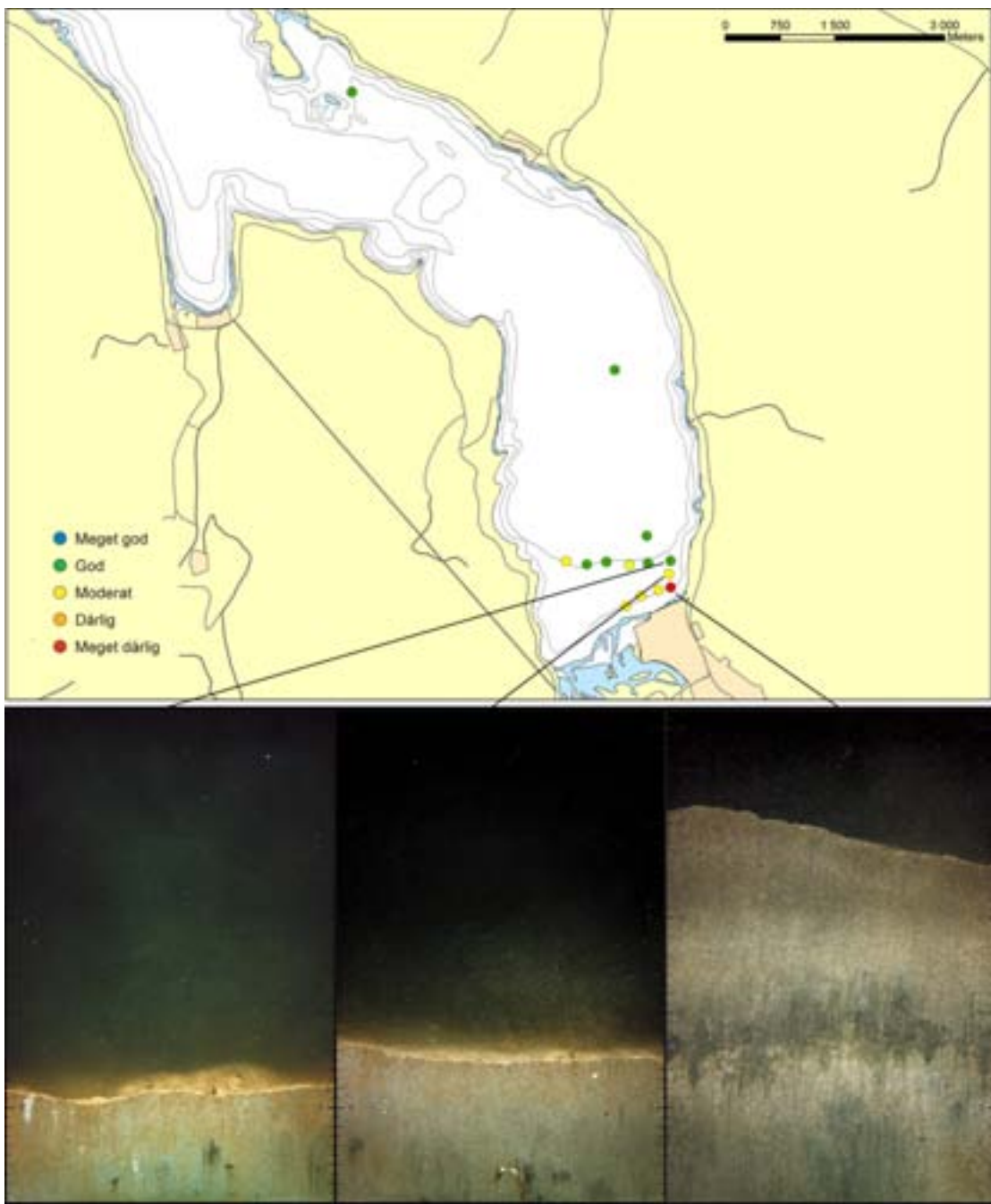
Det var fint, normalt, men litt fast sediment på alle stasjonene. Alle prøvene av bunnfauna var gode med tilfredsstillende volum av sediment i prøvene (**Tabell 26**). Også sedimentprofilfotografiene ble gode med penetrasjonsdybder i sedimentet fra 5 cm til 20 cm. I finkornede fjordsedimenter er penetrasjonsdybder på 6-10 cm å regne som normalt.

**Tabell 26.** Prøvetaking av bunnfauna i Sunndalsfjorden 29-30. oktober 2008. Stasjoner, dyp, antall prøver og visuelle observasjoner av bunnforhold og sedimenter.

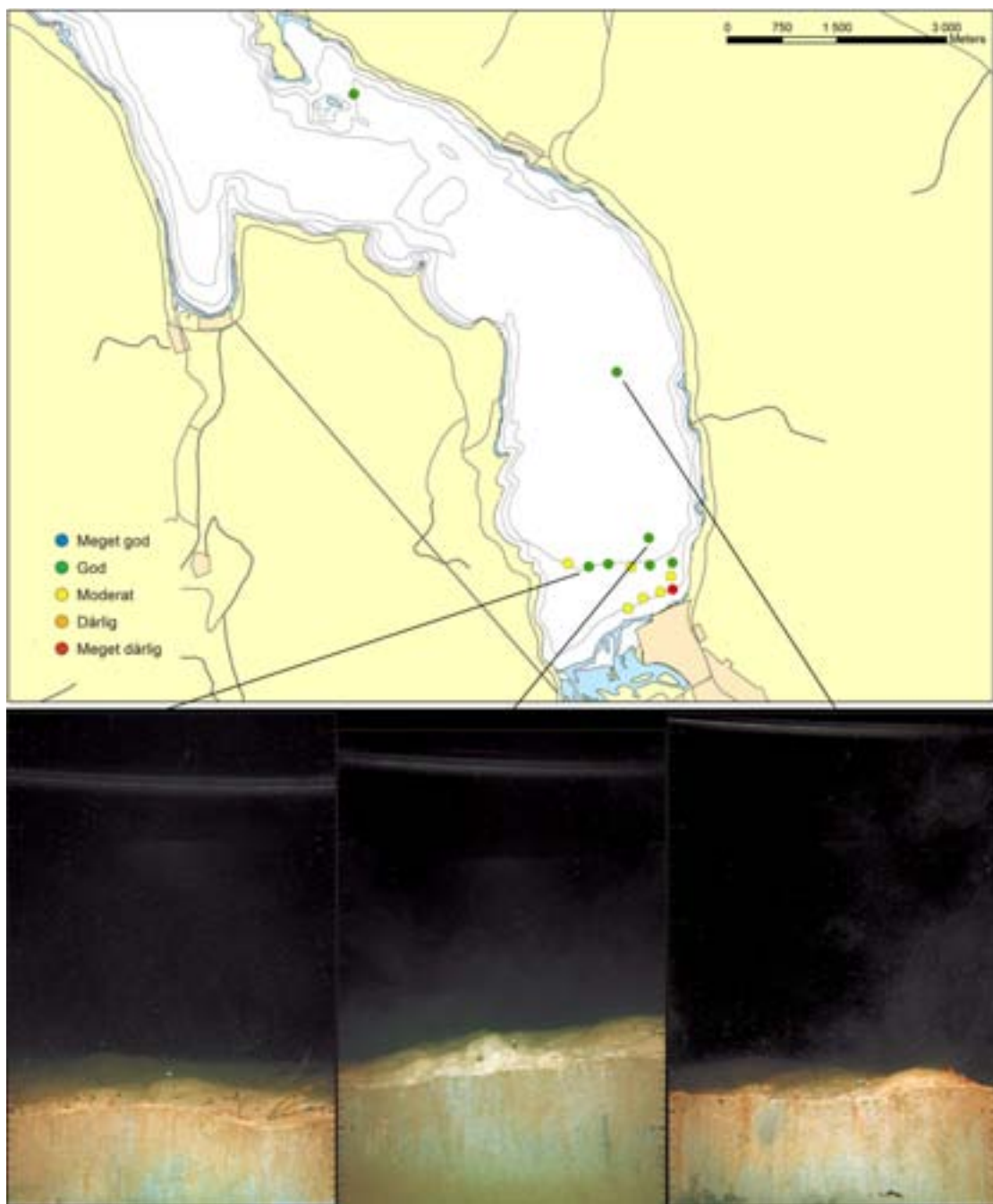
Stasjon	Dyp m	Antall prøver	Visuelle observasjoner	Sikterest (materiale > 1 mm)
SF 6	56	4	Sandig silt med litt grus.	Volum 3-6 dl per grabbhugg. Finkornet grus og større stein, plantemateriale.
SU 1	111	4	Finkornet silt og leir. Volum av sedimentfang i prøvene: 13 liter, 10 liter, 11 liter, 10 liter.	Volum 1,5-3 dl per grabbhugg. Leire og leirrør av børstemark. Noe treflis og plantemateriale.
SU 2	111	4	Finkornet silt og leir. Volum av sedimentfang i prøvene: 10 liter, 13 liter, 13 liter, 15 liter.	Volum 2-4 dl pr. grabbhugg. Leire og leirrør av børstemark. Treflis og plantemateriale, noe skjellrester.

### 3.4.2 Sedimentprofilfotografering

Sedimentprofilfotograferingen indikerte at det var dårlig tilstand svært nær utslipspunktet fra bedriften, men at tilstanden raskt ble bedre utover mot dypere vann (**Figur 19**, **Figur 20**). På transektet nærmest land (stasjon SF6-SF13: 43-56 m) ble stasjonene klassifisert som *moderat* til *meget dårlig* tilstand i henhold til HQ-indekset for sedimentprofiler (se **Figur 4**). På transektet utenfor på litt dypere vann (stasjon A1-A6: 85-100 m) ble stasjonene klassifisert som *moderat* til *god tilstand*. Lenger ut i fjorden var det *god* tilstand. På stasjonene med moderat til god tilstand var det synlig bunnfauna tilstede og tydelige spor av aktivitet fra bunnorganismene.



**Figur 19.** Sedimentprofilfotografering i Sunndalsfjorden 2008. Øverst: Klassifisering av bunnmiljø i henhold til BHQ-indeksen. Nederst: eksempler på sedimentprofiler fra stasjoner langs en gradient fra utslippen (st. A6 (venstre) *god* tilstand, st. SF6 (midten) *moderat* tilstand, st. SF10 (høyre) *meget dårlig* tilstand).



**Figur 20.** Sedimentprofilfotografering i Sunndalsfjorden 2008. Øverst: Klassifisering av bunnmiljø i henhold til BHQ-indekset. Nederst: eksempler på sedimentprofiler fra stasjoner med *god* tilstand (st. A2 venstre, st. SU1 midten, st. SF14 høyre).

### 3.4.3 Bunnfauna

Bunnfaunaen var artsrik og var preget av normale til litt høye individtetheter på alle stasjonene (**Tabell 27**). Generelt økte artstallene og individtethetene fra innerste stasjon (SF 6) og ut til ytterste (SU2). Både artsmangfold og innslag av arter som er følsomme for forurensning var høyt. Dette indikerer at tilstanden på alle lokalitetene var god. I henhold til systemet for klassifisering av

miljøtilstand som nå er under utvikling til vanndirektivet (Veileder 01: 2009), faller alle stasjonene i beste tilstandsklasse *svært god* for alle indeksene. Også i henhold til Klifs system for klassifisering av miljøkvalitet, som har vært i bruk inntil nå og som omfatter indeksene ES<sub>(100)</sub> og H' (Molvær mfl. 1997), faller alle stasjonene i beste tilstandsklasse.

**Tabell 27.** Sammenfattende data for bunnfauna på stasjonene i Sunndalsfjorden 29-30. oktober 2008. Resultatene er vist samlet for hver stasjon og for hver enkelt grabbprøve (1-4). For antall arter og individer er det gitt samlet antall over prøvene, for indekser er det beregnet middelverdi over prøvene. Fargekoding angir økologisk tilstandsklasse i henhold til vanndirektivet (blå = *svært god* tilstand).

Stasjon/prøve	Antall arter	Individer	Indekser for artsmangfold			
			ES(100)	H'	ISI	NQI 1
<b>SF 6</b>						
1	41	134	35,65	4,63	8,49	0,78
2	58	319	34,78	4,75	8,68	0,78
3	43	227	29,90	4,09	8,49	0,74
4	39	311	27,04	4,01	7,92	0,72
Samlet SF 6	83	991	31,84	4,37	8,40	0,76
<b>SU 1</b>						
1	46	303	29,41	4,29	9,41	0,72
2	55	329	33,67	4,53	9,45	0,76
3	65	373	34,78	4,79	9,33	0,77
4	55	303	33,00	4,52	9,51	0,75
Samlet SU 1	92	1308	32,72	4,53	9,42	0,75
<b>SU 2</b>						
1	76	398	37,11	4,93	10,25	0,80
2	63	433	31,55	4,57	10,18	0,78
3	66	410	35,45	4,84	10,00	0,80
4	67	414	34,81	4,75	9,85	0,82
Samlet SU 2	131	1655	34,73	4,77	10,07	0,80

Faunaen på den innerste stasjonen SF6 var sterkt dominert av små flerbørstemark. På de andre stasjonene var faunaen mer variert sammensatt med sterkere representasjon også fra andre hovedgrupper. I **Tabell 28** er det gitt en oversikt over de 10 individrikeste artene på hver stasjon. På SF6 var det høyest tetheter av *Prionospio cirrifera* som er en liten frittlevende børstemark som ernærer seg av sedimentpartikler fra bunnoverflaten. På de andre stasjonene var det små muslinger som lever av småpartikler fra vann som hadde høyest individtethet.

**Tabell 28.** De ti dominerende artene på stasjonene i Sunndalsfjorden 29-30. oktober 2008. Grupper: bm = båndmark, fb = flerbørstemark, k = krepsdyr, m = musling, pm = pølsemark, sp = sjøpølse.

Stasjon SF 6			Stasjon SU 1			Stasjon SU 2		
Art	Gr	Ind/m <sup>2</sup>	Art	Gr	Ind/m <sup>2</sup>	Art	Gr	Ind/m <sup>2</sup>
<i>Prionospio cirrifera</i>	fb	553	<i>Thyasira cf equalis</i>	m	765	<i>Thyasira</i> sp	m	500
<i>Thyasira</i> sp	m	280	<i>Paramphinome jeffreysii</i>	fb	250	<i>Polydora cf caeca</i>	fb	470
<i>Abyssoninoe hibernica</i>	fb	260	Nemertinea indet	bm	238	<i>Kelliella miliaris</i>	m	433
<i>Galathowenia oculata</i>	fb	113	<i>Heteromastus filiformis</i>	fb	200	<i>Onchnesoma steenstrupi</i>	pm	250
<i>Chaetozone setosa</i>	fb	95	<i>Pista cristate</i>	fb	153	<i>Galathowenia oculata</i>	fb	248
<i>Diplocirrus glaucus</i>	fb	73	<i>Prionospio cirrifera</i>	fb	135	<i>Abra nitida</i>	m	228
<i>Pholoe baltica</i>	fb	55	<i>Labidoplax buski</i>	sp	133	<i>Paramphinome jeffreysii</i>	fb	158
<i>Trichobranchus roseus</i>	fb	53	<i>Aphelochaeta</i> sp.	fb	83	<i>Labidoplax buski</i>	sp	113
<i>Paradoneis eliasoni</i>	fb	48	Tanaidacea indet	k	73	<i>Thyasira ferruginea</i>	m	108
<i>Goniada maculata</i>	fb	45	<i>Thyasira ferruginea</i>	m	70	<i>Thyasira cf equalis</i>	m	105

Det er allikevel noen tegn i faunasammensetningen som kan tyde på en påvirkning av PAH på bunndyrsamfunnene. Ved å sammenfatte data fra en rekke smelteverkspåvirkede fjorder fant Oug mfl. (1998) at andelen av rovlevende arter i bunnfaunaen økte ved økende sedimentkonsentrasjoner av PAH. Dette er uttrykk for at det skjer økologiske forandringer i bunndyrsamfunnene som følge av påvirkning av PAH. I 10-på-topp-listen (**Tabell 28**) var det tre rovlevende arter på SF6 (*Abyssoninoe*, *Pholoe*, *Goniada*), mens det var to på SU1 (*Paramphinome*, *Nemertinea*) og en på SU2 (*Paramphinome*). Samlet sett utgjorde rovlevende former 27 % av totalt individtall på SF6 og SU1, mens det var 12 % på SU2. Oug mfl. (1998) utarbeidet en modell for sammenhengen mellom sedimentkonsentrasjoner og rovlevende former. For stasjonene i denne undersøkelsen gir modellen en prosentandel på 40, 25 og 15 ut fra konsentrasjonene av sum PAH. De observerte verdiene er ikke så langt fra de modellerte.

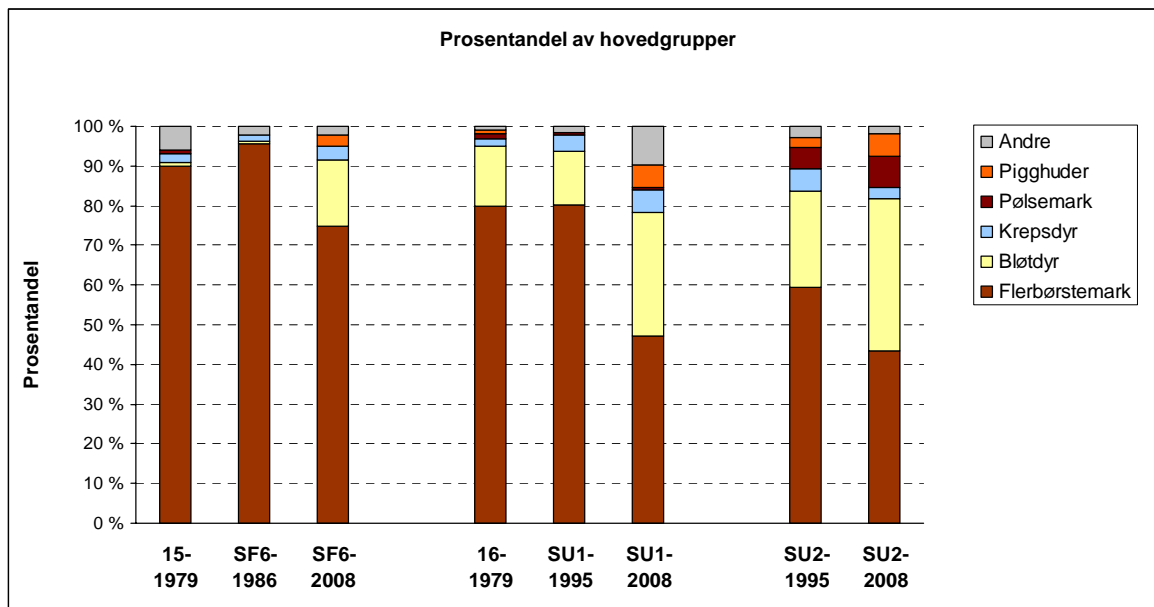
Bunnfaunaen indikerte at på alle stasjonene var det bedre tilstand i 2008 enn ved de tidligere prøvetakingene. I **Tabell 29** er endringene for de viktigste indeksene og dominerende arter vist. Både på SF6 og SU1 var tilstanden endret fra *god* til *svært god*. På alle stasjonene var andelen av flerbørstemark redusert (**Figur 21**). På SF6 var dominansen av børstemark sterkere både i 1986 og 1979 enn ved foreliggende undersøkelse. Det kan også være verd å merke seg at det ble funnet pigghudar (slangestjerne og sjøpølser) på alle stasjoner ved denne undersøkelsen. Dette er en gruppe som er kjent for å ha nedsatt toleranse til PAH (Oug mfl. 1998, Næs mfl. 1999). Andelen av rovlevende former hadde avtatt på SF6 (**Figur 22**). Andelen hadde økt på SU1, men på denne stasjonen var det ingen nedgang i PAH-verdier. Endringene i bunnfaunaen, kanskje spesielt for andel rovlevende former, synes å svare til endringene av PAH i sedimentet i fjorden.

Fullstendige resultater fra prøvetakingen av bløtbunnsfauna er gitt i Vedlegg 5.2.

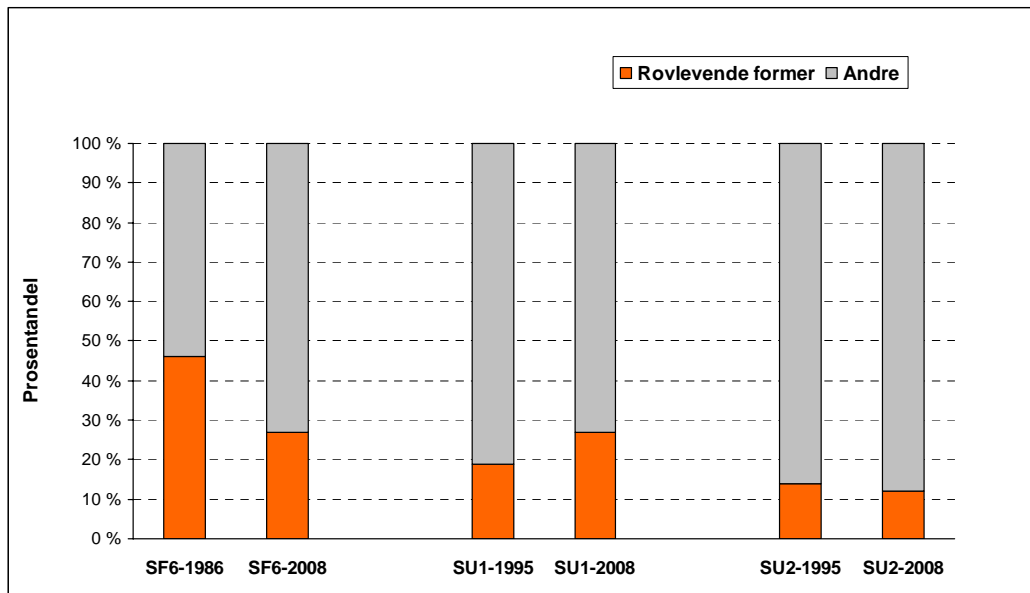
**Tabell 29.** Fauna på stasjonene (2008) sammenlignet med resultater fra tidligere prøvetaking på stasjonene (1986, 1995). Fargekoding angir økologisk tilstandsklasse i henhold til vanndirektivet (blå = svært god tilstand, grønn = god tilstand).

Stasjon	Antall arter	H'	NQI 1	Viktigste arter
<b>SF6</b>				
2008	83	4,76	0,77	<i>Prionospio cirrifera, Thyasira sp., Abyssoninoe hibernica, Galathowenia oculata, Chaetozone setosa, Diplocirrus glaucus, Pholoe baltica, Trichobranchus roseus, Paradoneis eliasoni, Goniada maculata</i>
1986 <sup>1)</sup>	35	3,84	0,69	<i>Prionospio cirrifera, Nereimyra punctata, Goniada maculata, Paramphinnome jeffreysi, Lumbrineris scopula (=Abyssoninoe hibernica), Lumbrineris fragilis, Sosane gracilis, Diplocirrus glaucus, Scoloplos armiger, Pholoe minuta</i>
<b>SU1</b>				
2008	92	4,80	0,76	<i>Thyasira cf equalis, Paramphinnome jeffreysi, Nemertinea indet, Heteromastus filiformis, Pista cristata, Prionospio cirrifera, Labidoplax buski, Aphelochaeta sp, Tanaidacea indet, Thyasira ferruginea, Pholoe assimilis</i>
1995	98	4,26	0,70	<i>Pseudopolydora sp, Paramphinnome jeffreysi, Thyasira equalis, Heteromastus filiformis, Notomastus latericeus, Prionospio sp, Caulieriella sp, Chone sp, Scalibregma inflatum, Pista cristata, Nemertinea indet</i>
<b>SU2</b>				
2008	131	5,16	0,82	<i>Thyasira sp., Polydora cf caeca, Kelliella miliaris, Onchnesoma steenstrupi, Galathowenia oculata, Abra nitida, Paramphinnome jeffreysi, Labidoplax buski, Thyasira ferruginea, Thyasira cf equalis, Pista cristata</i>
1995	124	4,99	0,77	<i>Pseudopolydora sp, Thyasira equalis, Polydora sp, Paramphinnome jeffreysi, Heteromastus filiformis, Kelliella miliaris, Onchnesoma steenstrupi, Nemertinea indet, Thyasira ferruginea, Amythasides macroglossus, Pista cristata</i>

1) Prøveareal 0,2 m<sup>2</sup>



**Figur 21.** Individfordeling i hovedgrupper på de tre stasjonene. Data fra 1979 er sammenstilt fra Holthe & Stokland (1980), mens data fra 1995 er fra Næs mfl. (1999).



**Figur 22.** Individandel av rovlevende former i bunnfauna på de tre stasjonene i 1986, 1995 og 2008

## 4. Referanser

- Armitage, J. and T. Saloranta, 2005. Simulating the fate of PAHs in the Sunndalsfjord, NIVA-notat.
- Barland, K., H. Berg og G.S. Eriksen, 1996. Tungmetaller i skalldyr, SNT-rapport 2:98.
- Holthe, T. og Ø. Stokland, 1980. Biologiske undersøkelser – Kristiansunds fastlandssamband. Bunndyrundersøkelser 1978-1979. DKNVS rapport, zoologisk serie 1980-5. Trondheim. 27 s.
- Karickhoff, S.W. 1981. Semiempirical estimation of sorption of hydrophobic pollutants on natural sediments and soils, Chemosphere 10, 833-846.
- Knutzen, J., 1989. Tiltaksorientert overvåking av Sunndalsfjorden, Møre og Romsdal. Delrapport 2. Miljøgifter i organismer, Rapport 347/89 innen Statlig program for forurensningsovervåking. NIVA Rapport l.nr. 2273.
- Knutzen, J., E. Fjeld, K. Hylland, B. Killie, L. Kleivane, E. Lie, T. Nygård, T. Savinova, J. U. Skåre, K.J. Aanes, 1999. Miljøgifter og radioaktivitet i norsk fauna – inkludert Arktis og Antarktis. Utredning for DN nr 1999-5. Direktoratet for naturforvaltning.
- Konieczny, R.M. og J. Knutzen, 1992. Overvåking av PAH i muslinger, snegl og fisk fra Sunndalsfjorden 1991-1992. Rapport 504/92 innen Statlig program for forurensningsovervåking. NIVA Rapport l.nr. 2818.
- Molvær, J., 1990. Tiltaksorientert overvåking av Sunndalsfjorden, Møre og Romsdal, 1986-1988. Konklusjoner. Rapport 409/90 innen Statlig program for forurensningsovervåking, NIVA Rapport l.nr. 2425.
- Molvær, J., J. Knutzen, J. Magnusson, B. Rygg, J. Skei og J. Sørensen, 1997. Klassifisering av miljøkvalitet i fjorder og kystfarvann. Veiledning. SFT 97:03, TA-1467/1997.
- Nilsson, H.C. og R. Rosenberg, 1997. Benthic habitat quality assessment of an oxygen stressed fjord by surface and sediment profile images. Journal of Marine Systems 11:249-264.
- Nilsson, H.C. og R. Rosenberg, 2006. Collection and interpretation of Sediment Profile Images (SPI) using the Benthic Habitat Quality (BHQ) index and successional models. NIVA Rapport l.nr. 5200.
- Næs, K., 1991. Frigivelse av PAH fra forurensset sjøbunn. NIVA Rapport 1.nr. 2667
- Næs, K. og B. Rygg, 1988. Tiltaksorientert overvåking av Sunndalsfjorden, Møre og Romsdal. Delrapport 1. Sedimenter og bløtbunnsfauna 1986. Rapport 306/88 innen Statlig program for forurensningsovervåking. NIVA Rapport l.nr. 2093.
- Næs, K., K. Hylland, E. Oug, L. Förlin and G. Ericson, 1999. Accumulation and effects of aluminium smelter generated PAHs on soft bottom invertebrates and fish, Environ. Toxicol. Chem., 18: 2205-2216
- Næs, K., J. Knutsen, E. Oug, B. Rygg, J. Håvardstun, L. Tveiten og M.C. Lie, 2001. Overvåking av Vefsnfjorden, Sunndalsfjorden og Årdalsfjorden 2000. PAH, klorerte forbindelser og metaller i organismer og sedimenter, sammensetning av bløtbunnsfauna. NIVA Rapport l.nr. 4440.

Oug, E., K. Næs og B. Rygg, 1998. Relationship between soft bottom macrofauna and polycyclic aromatic hydrocarbons (PAH) from smelter discharge in Norwegian fjords and coastal waters. Mar. Ecol. Prog. Ser. 173: 39-52.

Pearson T.H. og R. Rosenberg, 1978. Macrobenthic succession in relation to organic enrichment and pollution of the marine environment. Oceanogr Mar Biol Ann Rev 16: 229-311.

Rosenberg, R, M. Blomqvist, H.C. Nilsson, H. Cederwall og A. Dimming, 2004. Marine quality assessment by use of benthic species-abundance distributions: a proposed new protocol within the European Union Water Framework Directive. Marine Pollution Bulletin 49: 728-739.

Ruus, A., O. Bøyum, M. Grung and K. Næs, 2007. Particle affinity and bioavailability of PAH associated with coal tar. NIVA Rapport 1.nr 5497.

Ruus, A., K. Næs, M. Grung, N. Green, T. Bakke, E. Oug og K Hylland, 2009. PAH-forurensning av sjøbunn. En oversikt over kunnskapsstatus. SFT-rapport TA-2583/2009, NIVA Rapport 1.nr. 5888,

SFT 2007. Revidering av klassifisering av metaller og organiske miljøgifter i vann og sedimenter. TA-2229/2007.

Veileder 01:2009. Klassifisering av miljøtilstand i vann. Økologisk og kjemisk klassifiseringssystem for kystvann, innsjøer og elver i henhold til vannforskriften. Direktoratsgruppa for gjennomføring av vanndirektivet. Rapport. Internett: [www.vannportalen.no](http://www.vannportalen.no)

Vrana, B., A. Paschke, P. Popp, 2001. Polyaromatic hydrocarbon concentrations and patterns in sediments and surface water of the Mansfeld region, Saxony-Anhalt, Germany. Journal of Environmental Monitoring 3, 602-609.

## 5. Vedlegg

### 5.1 Beregning av vannkonsentrasjon av PAH ut fra SPMD

#### Estimation of dissolved contaminant concentrations in water using SPMDs

Time-weighted average concentrations were calculated using the following equation:

$$C_{TWA} = \frac{m}{K_{SW} V_S (1 - e^{-\frac{R_S}{K_{SW} V_S} t})} \quad (1)$$

where  $m$  is the mass of contaminant accumulated in SPMDs (ng),  $K_{SW}$  the sampler-water partition coefficient ( $L L^{-1}$ ),  $V_S$  the volume of the sampler (L),  $t$  the exposure time (h) and  $R_S$  the uptake rate ( $L h^{-1}$ ).

The determination of in-situ uptake rates for each site was undertaken using performance reference compounds (PRCs), deuterated analogues of PAHs. Since mass transfer in/out of the sampler is an isotropic phenomenon, first-order offload rates,  $k_e$  of deuterated PAHs spiked into the samplers prior to exposure can be used to estimate uptake rates for PRC:

$$R_S = K_{SW} V_S k_e \quad (2)$$

An empirical log  $K_{OW}$ - $R_S$  relationship is then used to extrapolate uptake rates for all other contaminants of interest.  $R_S$  values for compounds with log  $K_{OW}$  in the range 3-8 can then be calculated:

$$R_{S,i} = R_{S,PRC} \frac{\alpha_i}{\alpha_{PRC}} \quad (3)$$

where  $\alpha$  can be obtained with the following empirical relationship:

$$\log \alpha = 0.013 \log^3 K_{OW} - 0.3173 \log^2 K_{OW} + 2.244 \log K_{OW} \quad (4)$$

The  $\alpha$  value for the analyte of interest and for the PRC may be calculated using equation (4) to allow the estimation of  $R_{S,i}$  with equation (3). Once the uptake rate is known, equation (1) is used to calculate TWA concentrations.

#### Estimation of $R_S$ using PRC data

The usual rule-of-thumb consists of only using PRC data that lies within 20 and 80 % offload during exposure. This is exemplified in the figure below. PRC that can be used to estimate uptake rate for the SPMDs exposed at the Fonnastein site include deuterated acenaphthene, fluorene and phenanthrene while for all other sites only the  $d_{10}$ -phenanthrene data is valid. Despite the offload of some PRCs close to 100 %, the data generated by these compounds appear to remain consistent. Long exposures or high sampler-water mass transfer is generally required to observe significant dissipation of  $d_{12}$ -chrysene. Here, dissipation of deuterated chrysene from SPMDs exposed at Horrvika and Honnhammer are in the range 5-10 % and close to being significant.

Similar information is given by PRCs for SPMDs exposed at Flåøya, Fjøseid and Honnhammer. SPMDs exposed at Fonnastein and Horrvika were deployed for a shorter period of time and this should be reflected by less PRC dissipation than for sites with longer exposures if uptake rates were expected to be similar. However as shown in the figure below, PRC dissipation for SPMDs from the Horrvika site is similar to other sites despite a much shorter exposure and significantly different to

data obtained at the Fonnastein site. Uptake rates for the Horrvika site are therefore expected to be significantly higher than at other sites.

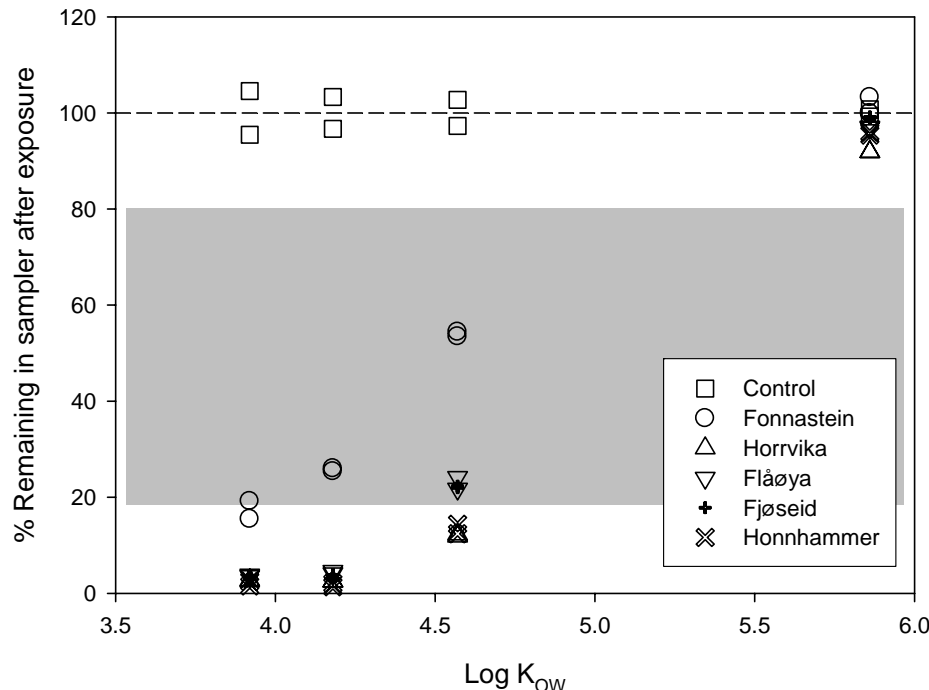


Figure 1 Percentage of PRCs remaining in the samplers after exposure

The model described above was used to estimate uptake rates for SPMDs deployed at each of the five sites. Uptake rates were reasonably similar for four of the five sites with values in the range  $2\text{-}7 \text{ L d}^{-1}$ . SPMDs deployed at Horrvika had the highest uptake rates with estimates in the range  $8\text{-}14 \text{ L d}^{-1}$ .

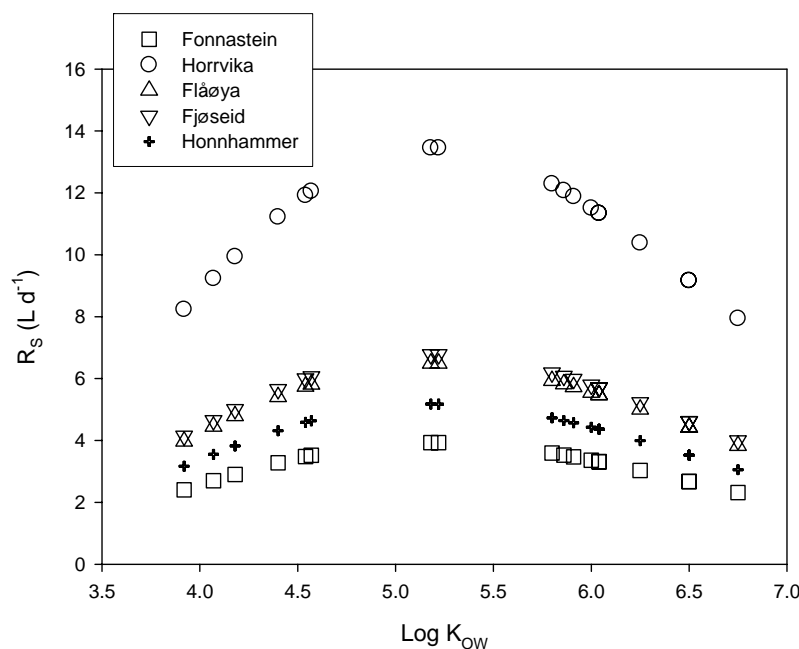


Figure 2 Modelled uptake rates,  $R_S$  ( $L d^{-1}$ ) for the 5 sites for exposure of the passive samplers

Estimates of uptake rates are also presented in the table below for all PAHs of interest.

Analyte	Log K <sub>OW</sub>	Uptake rates, $R_S$ ( $L d^{-1}$ )				
		Fonnastein	Horrviika	Flåøya	Fjøseid	Honnhammer
ACY	4.07	2.70	9.23	4.46	4.65	3.55
ACE	3.92	2.41	8.24	3.97	4.15	3.17
FLUE	4.18	2.90	9.94	4.79	5.01	3.82
DBTHI	4.40	3.28	11.22	5.41	5.65	4.32
PHE	4.57	3.52	12.05	5.81	6.07	4.64
ANT	4.54	3.48	11.91	5.75	6.00	4.58
FLU	5.22	3.93	13.45	6.49	6.77	5.17
PYR	5.18	3.93	13.45	6.49	6.78	5.18
BaA	5.91	3.47	11.88	5.73	5.98	4.57
CHRY	5.86	3.53	12.07	5.82	6.08	4.64
BbjF	5.80	3.59	12.29	5.93	6.19	4.73
BkF	6.00	3.36	11.51	5.55	5.80	4.43
BeP	6.04	3.31	11.34	5.47	5.71	4.36
BaP	6.04	3.31	11.34	5.47	5.71	4.36
PER	6.25	3.03	10.38	5.01	5.23	3.99
ICDP	6.50	2.68	9.16	4.42	4.62	3.53
DBahA	6.75	2.32	7.94	3.83	4.00	3.06
BghiP	6.50	2.68	9.16	4.42	4.62	3.53

## 5.2 Bløtbunnsfauna

Fullstendige resultater for prøver av bløtbunnsfauna i Sunndalsfjorden 29-30. oktober 2008. Tallene angir antall individer i prøvene.

		Stasjon Grabbprøve	Stasjon SF6				Stasjon SU1				Stasjon SU2			
			I	II	III	IV	I	II	III	IV	I	II	III	IV
ANTHOZOA	Anthozoa indet						18	2	1					
	Pennatulacea indet	1												
	Cerianthus lloydii	1												
	Edwardsia cf. danica		3		1									
	Edwardsia longicornis	1												
PLATYHELMINTHES	Platyhelminthes indet	1					2	1	2		1		1	1
	Turbellaria indet			2										
NEMERTINEA	Nemertinea indet	5	4		3		26	13	34	22	4	11	5	6
POLYCHAETA	Paramphipnoma jeffreysii	3	8	3			22	28	14	36	10	20	15	18
	Aphroditidae aculeata													
	Harmothoe sp	1	2	2				3	1	2	3	1	1	
	Pholoe assimilis		16				1	10	10	4	1			6
	Pholoe baltica	3	6		13		3	2				3	1	
	Pholoe pallida									1	3			2
	Sthenelais limicola											1		
	Eteone cf. longa		1		2									
	Eumida bahusiensis		1		3									
	Eumida sanguinea										1			
	Pseudomystides spinachia	1	1		4						1		1	2
	Sige fusigera		1											
	Nereimyra punctata		3	1	2		2	1	2	2	1		1	
	Ophiodromus flexuosus	2	3	5	2									
	Exogone verugera						2	1	2	2				
	Syllis sp		1	3			8	7	3	3	1	2	2	
	Ceratocephale loveni	1	1	1			1	3	2	4		1		
	Nephtys hystericis							2			4	4	3	7
	Nephtys incisa											2		
	Sphaerodorum flavum										1			
	Glycera alba	1	3	6	4									
	Glycera lapidum		2		2						1		1	
	Glycera rouxii	1		1	2			1				2		
	Goniada maculata	5	4	5	4									
	Abyssinioe hibernica	11	29	25	39		4	5	9	4	3	3	2	2
	Augenaria tentaculata						2	3	3	3	4	5	1	2
	Lumbrineris anaira											2		
	Scoletoma fragilis		1	1										
	Drilonereis filum							4	4	1	2	2	3	4
	Schistomerings cf. rudolphi							1						
	Orbinia sp												1	
	Phylo norvegica						1	1	1	1				
	Scoloplos armiger	1												
	Aristobranchus tullbergi						1	1	5	2				
	Aricia catherinae												4	
	Levinsenia gracilis							1	1	1			1	
	Paradoneis eliasoni		1	5	13		4	1	2				1	
	Paraonis gracilis										1			
	Polydora cf. caeca										52	73	51	12
	Prionospio cirrifera	16	50	61	94		14	5	21	14		1		
	Prionospio fallax			1										
	Prionospio sp									1				
	Pseudopolydora paucibranchiata						1	5	2	2	1			3
	Scolelepis korsuni	2	1	1	5		3	1			1			2
	Spiophanes kroeyeri	4	4	4	6									
	Spiophanes urceolata										1			
	Aphelochaeta sp						8	7	11	7	4	2	2	10
	Chaetozone setosa	3	10	8	17								1	
	Chaetozone sp											3	1	
	Cirratulus cirratus	6	4							4		2		2
	Tharyx sp												2	
	Cossura longocirrata					3	6							

fortst.

	Stasjon Grabbprøve	Stasjon SF6				Stasjon SU1				Stasjon SU2			
		I	II	III	IV	I	II	III	IV	I	II	III	IV
POLYCHAETA	<i>Brada villosa</i>									1		1	
	<i>Diplocirrus glaucus</i>	8	12	2	7	1			1		1	3	6
	<i>Pherusa falcata</i>				1						1		2
	<i>Pherusa flabellata</i>										1		2
	<i>Pherusa plumosa</i>							1					
	<i>Asclerocheilus sp</i>					5	2	10	1	3	3	3	5
	<i>Polyphysia crassa</i>					2		1		3		3	6
	<i>Scalibregma inflatum</i>	1	2		1	5		3	3			1	1
	<i>Dasybranchus caducus</i>					2	4	7	10	6	11		6
	<i>Dasybranchus sp</i>											10	
	<i>Heteromastus filiformis</i>	2		4	1	31	17	15	17	8	14	8	4
	<i>Mediomastus fragilis</i>		1	1									
	<i>Notomastus latericeus</i>	1		2	3	3	7	3	2	1	3	2	4
	<i>Chirimia biceps</i>									5	4	3	2
	<i>Clymenura borealis</i>												1
	<i>Euclymeninae indet</i>		1										1
	<i>Rhodine loveni</i>			1									1
	<i>Galathowenia oculata</i>	4	36	2	3	4		2		45	17	21	16
	<i>Pectinaria belgica</i>											1	
	<i>Ampharetidae indet</i>					1						1	
	<i>Amphicteis gunneri</i>											1	
	<i>Amythasides macroglossus</i>	3	5	6		1	2			2	1	2	2
	<i>Anobothrus gracilis</i>		1	1									
	<i>Eclipsippe vanelli</i>								1		3		
	<i>Melina elizabethae</i>		1										
	<i>Melythasides laubieri</i>												1
	<i>Sabellides octocirrata</i>	7						1		2			
	<i>Samytha sexcirrata</i>	1											
	<i>Amaeana trilobata</i>								1	2	3	6	
	<i>Lanassa venusta</i>								4	1	4		
	<i>Lysilla loveni</i>	2											
	<i>Paramphitrite tetrabranchiata</i>					1		1		14	9	12	1
	<i>Pista cristata</i>	1	1	1		15	16	14	16		1	1	1
	<i>Polycirrus medusa</i>		1					2		1			
	<i>Polycirrus norvegicus</i>						1	1		1	1		
	<i>Polycirrus plumosus</i>			1	3								
	<i>Streblosoma intestinalis</i>											1	
	<i>Terebellides stroemi</i>	1	9	2	6		1	4					
	<i>Trichobranchus roseus</i>	2	9	4	6	3	4	2					
	<i>Chone sp</i>			1			2	1	1			2	
	<i>Jasmineira caudata</i>	3	1	1					1				
	<i>Jasmineira sp</i>									1	4	3	
PROSOBRANCHIA	<i>Eulimella sp</i>									1	1		4
	<i>Bela sp</i>												
OPISTOBRANCHIA	<i>Turridae indet</i>										1		
	<i>Diaphana sp</i>										1	1	
	<i>Philine cf. quadrata</i>										1		
	<i>Philine scabra</i>	6				2						2	
	<i>Philine sp</i>				1								
CAUDOFOVEATA	<i>Caudofoveata indet</i>						3	1	4	5	2	3	3
BIVALVIA	<i>Nucula tumidula</i>						1			1			
	<i>Nuculoma tenuis</i>												
	<i>Yoldiella lucida</i>									1		1	1
	<i>Yoldiella tomlinii</i>										1		
	<i>Modiolus modiolus</i>										1		1
	<i>Bathyarca pectunculoides</i>										1		1
	<i>Limatula gwynni</i>	2	2	3		2	2	1	2	2		1	
	<i>Delectopecten vitreus</i>												1
	<i>Pectinidae indet</i>	1						1			1		1
	<i>Thyasira cf. equalis</i>					76	87	74	69		42		
	<i>Thyasira cf. pygmaea</i>	4		9		1	1	2	1	1			1
	<i>Thyasira croulinensis</i>							1					1

fortst.

	Stasjon Grabbprøve	Stasjon SF6				Stasjon SU1				Stasjon SU2			
		I	II	III	IV	I	II	III	IV	I	II	III	IV
BIVALVIA	<i>Montacuta tenella</i>												4
	<i>Mysella tumidula</i>												3
	<i>Astarte elliptica</i>												1
	<i>Cardiidae indet</i>	1	1		1								1
	<i>Parvicardium minimum</i>							1					7
	<i>Abra alba</i>												4
	<i>Abra nitida</i>	4	2		2	3	7	7	6	15	24	20	32
	<i>Kelliella miliaris</i>					9	2	2	4	36	34	43	60
	<i>Hiatella arctica</i>									1			1
	<i>Thracia cf. villosiuscula</i>				2								
	<i>Thracia sp</i>		3										
	<i>Cardiomya costellata</i>							1					
SCAPHPODA	<i>Tropidomya abbreviata</i>							1	1	2			4
PYCGOGONIDA	<i>Entalina quinquangularis</i>												1
OSTRACODA	<i>Nymphon sp</i>											1	
	<i>Asterope mariae</i>		1				1						
	<i>Cypridina norvegica</i>					1							
	<i>Philomedes lilljeborgi</i>								1				
	<i>Macrocypris minna</i>												1
CUMACEA	<i>Eudorella emarginata</i>					1				2		1	3
	<i>Eudorella truncatula</i>	2	2				1	1		2			
	<i>Leucon nasica</i>											1	1
	<i>Campylaspis costata</i>						1				1		
	<i>Campylaspis verrucosa</i>										1	1	
	<i>Diastylis cornuta</i>										1	2	1
	<i>Diastyloides biplicata</i>	1	1							2	2		2
	<i>Diastylopsis resima</i>						2						
TANAIDACEA	<i>Tanaidacea indet</i>					1	2	18	8			2	
	<i>Typhlotanais aequiremis</i>					8	2	2	8				
ISOPODA	<i>Gnathia maxillaris</i>											2	
	<i>Desmosoma sp</i>							1			1		
AMPHIPODA	<i>Tryphosites longipes</i>	1	3	3			1		2		4	1	1
	<i>Ampelisca aequicornis</i>										5	4	
	<i>Cheirocratus sp</i>	1											
	<i>Eriopisa elongata</i>	2											
	<i>Perioculodes longimanus</i>												1
	<i>Synchelidium haplocheles</i>			1									
	<i>Westwoodilla caecula</i>	2	3	4									
	<i>Harpinia pectinata</i>	1	1	1		1	4		3		1		
	<i>Leptophoxus falcatus</i>						1		3				
	<i>Eusirus longipes</i>		2										
	<i>Podoceropsis sophiae</i>		2										
SIPUNCULIDA	<i>Golfingia vulgaris</i>					1							
	<i>Golfingia cf. minuta</i>								1			9	8
	<i>Golfingia sp</i>										3		2
	<i>Onchnesoma steenstrupi</i>						3			24	29	19	28
OPHIUROIDEA	<i>Phascolion strombi</i>					1	1				1	4	1
	<i>Ophiuroidea indet</i>	9	6			5	4	4	3	8	3	3	3
	<i>Amphipholis squamata</i>									1		2	
	<i>Amphiura chiaiei</i>	3	1			2	1	1	1	3	1	2	2
	<i>Amphilepis norvegica</i>	4											
	<i>Ophiura albida</i>										1		
	<i>Ophiura carnea</i>										5		8
ECHINOIDEA	<i>Echinoidae indet</i>			1								1	
	<i>Brisaster fragilis</i>											1	
HOLOTHUROIDEA	<i>Labidoplax buski</i>	3				10	15	25	3	9	14	10	12
POGONOPHORA	<i>Pogonophora indet</i>						1						
HEMICORDATA	<i>Hemichordata indet</i>					3		3		1	2		

## 5.3 Analyseresultater SPMD

Side nr.52/93

**Norsk  
Institutt  
for  
Vannforskning**

Gaustadalléen 21  
0349 Oslo  
Tel: 22 18 51 00  
Fax: 22 18 52 00

# ANALYSE RAPPORT



**Navn** Sunndalsfjorden  
**Adresse**

Deres referanse:	Vår referanse:	Dato
	Rekv.nr. 2009-668	17.03.2010
	O.nr. O 27445	

Prøvene ble levert ved NIVAs laboratorium av oppdragsgiver, og merket slik som gjengitt i tabellen nedenfor. Prøvene ble analysert med følgende resultater (analyseusikkerhet kan fås ved henvendelse til laboratoriet):

Prøvenr	Prøve merket	Prøvetakings- dato	Mottatt NIVA	Analyseperiode
1	Sunndal Blank 1	2008.05.12	2009.04.15	2009.06.29-2009.07.03
2	Sunndal Blank 2	2008.05.12	2009.04.15	2009.06.29-2009.07.03
3	Sandvika overfl.nederst	2008.05.12	2009.04.15	2009.06.29-2009.07.03
4	Sandvika overfl.øverst	2008.05.12	2009.04.15	2009.06.29-2009.07.03
5	Oppdøl overfl.nederst	2008.05.12	2009.04.15	2009.06.29-2009.07.03
6	Oppdøl overfl.øverst	2008.05.12	2009.04.15	2009.06.29-2009.07.03
7	Flå overfl.nederst	2008.05.12	2009.04.15	2009.06.29-2009.07.03

Prøvenr Analysevariabel Enhet Metode	1	2	3	4	5	6	7
Naftalen ng/SPMD H 2-2*	97	98	23	24	25	31	21
C1 Naftalen ng/SPMD H 2-2*	860	940	450	440	510	500	330
C2 Naftalen ng/SPMD H 2-2*	79	100	110	82	220	190	150
Acenaftylen ng/SPMD H 2-2*	<5	<5	<5	<5	20	21	11
C3 Naftalen ng/SPMD H 2-2*	i	i	i	i	s1400	880	i
Acenaften ng/SPMD H 2-2*	<5	<5	35	31	140	130	70
Fluoren ng/SPMD H 2-2	<5	<5	23	24	54	54	35
Dibenzotiofen ng/SPMD H 2-2*	<5	<5	19	20	47	45	25

Fenantron ng/SPMD H 2-2*	5 , 8	9 , 5	180	190	570	560	280
Antracen ng/SPMD H 2-2*	<5	<5	<5	<5	10	9 , 9	<5
C1 Fenantron ng/SPMD H 2-2*	<20	<20	39	42	230	230	91
C1 Dibenzotiofen ng/SPMD H 2-2*	<20	<20	<20	<20	26	24	<20
C2 Fenantron ng/SPMD H 2-2*	<20	<20	43	46	270	130	99
C3 Fenantron ng/SPMD H 2-2*	<20	<20	<20	<20	110	s180	150
C2 Dibenzotiofen ng/SPMD H 2-2*	<20	<20	<20	<20	58	59	21
C3 Dibenzotiofen ng/SPMD H 2-2*	<20	<20	<20	<20	57	58	22
Fluoranten ng/SPMD H 2-2*	<5	12	130	130	530	550	200
Pyren ng/SPMD H 2-2*	<5	8 , 7	73	70	270	270	90
Benz(a)antracen ng/SPMD H 2-2*	<5	<5	31	27	38	41	14
Chrysen ng/SPMD H 2-2*	<5	<5	30	51	82	82	24
Benzo(b+j)fluoranten ng/SPMD H 2-2*	<5	<5	140	130	86	89	36
Benzo(k)fluoranten ng/SPMD H 2-2*	<5	<5	35	32	20	21	8 , 3
Benzo(e)pyren ng/SPMD H 2-2*	<5	<5	87	81	49	50	22
Benzo(a)pyren ng/SPMD H 2-2*	<5	<5	28	26	10	10	<5
Perylen ng/SPMD H 2-2*	<5	<5	10	9 , 0	5 , 6	5 , 5	<5
Indeno(1,2,3cd)pyren ng/SPMD H 2-2*	<5	<5	47	40	13	13	6 , 7
Dibenz(ac+ah)antrac. ng/SPMD H 2-2*	<5	<5	13	11	<5	<5	<5
Benzo(ghi)perylen ng/SPMD H 2-2*	<5	<5	59	51	15	14	7 , 5
Sum PAH ng/SPMD Beregnet	<1246 , 8	<1363 , 2	<1695	<1647	s<4870 , 6	s<4252 , 4	<1753 , 5
Sum PAH16 ng/SPMD Beregnet	<172 , 8	<188 , 2	<857	<847	<1888	<1900 , 9	<818 , 5

s : Det er knyttet større usikkerhet enn normalt til kvantifiseringen.

i : Forbindelsen er dekket av en interferens i kromatogrammet.

\* : Metoden er ikke akkreditert.

### Kommentarer

- 1 PAH s=forbindelsene er delvis dekket av en interferens i kromatogrammet av prøven.

# ANALYSE RAPPORT



Rekv.nr. 2009-668

(fortsettelse av tabellen):

Prøvenr	Prøve merket	Prøvetakings- dato	Mottatt NIVA	Analyseperiode
1	Sunndal Blank 1	2008.05.12	2009.04.15	2009.06.29-2009.07.03
2	Sunndal Blank 2	2008.05.12	2009.04.15	2009.06.29-2009.07.03
3	Sandvika overfl.nederst	2008.05.12	2009.04.15	2009.06.29-2009.07.03
4	Sandvika overfl.øverst	2008.05.12	2009.04.15	2009.06.29-2009.07.03
5	Oppdøl overfl.nederst	2008.05.12	2009.04.15	2009.06.29-2009.07.03
6	Oppdøl overfl.øverst	2008.05.12	2009.04.15	2009.06.29-2009.07.03
7	Flå overfl.nederst	2008.05.12	2009.04.15	2009.06.29-2009.07.03

Prøvenr Analysevariabel Metode	Enhet	1	2	3	4	5	6	7
Sum KPAH	ng/SPMD	<132	<133	347	341	<279	<292	<120
Beregnet								
Sum NPD	ng/SPMD	<1166,8	<1272,5	<944	<924	s3523	s2887	<1209
Beregnet*								
Acenaften-D10 2-2*	ng/SPMD H-	2966	3249	596	480	86	78	121
Fluoren d10 2-2*	ng/SPMD H	1131	1209	304	297	29	29	54
Fenantren D10 2-2*	ng/SPMD H	1239	1308	693	681	151	157	308
Chrysene D12 2-2*	ng/SPMD H	872	885	907	878	807	807	853
Benzo(e)pyren D12 2-2*	ng/SPMD H	53	54	56	54	53	52	54

s : Det er knyttet større usikkerhet enn normalt til kvantifiseringen.

\* : Metoden er ikke akkreditert.

# ANALYSE RAPPORT



Rekv.nr. 2009-668

(fortsettelse av tabellen):

Prøvenr	Prøve merket	Prøvetakings- dato	Mottatt NIVA	Analyseperiode
8	Flå overfl. øverst	2008.05.12	2009.04.15	2009.06.29-2009.07.03
9	Fjøseid overfl.nederst	2008.05.12	2009.04.15	2009.06.29-2009.07.03
10	Fjøseid overfl.øverst	2008.05.12	2009.04.15	2009.06.29-2009.07.03
11	Hunndham overfl.nederst	2008.05.12	2009.04.15	2009.06.29-2009.07.03
12	Hunndham overfl.øverst	2008.05.12	2009.04.15	2009.06.29-2009.07.03

Analysevariabel	Prøvenr Enhet	8	9	10	11	12
	Metode					
Naftalen	ng/SPMD H 2-2*	20	17	18	25	24
C1 Naftalen	ng/SPMD H 2-2*	92	73	69	100	100
C2 Naftalen	ng/SPMD H 2-2*	150	170	120	290	230
Acenaftylen	ng/SPMD H 2-2*	10	8,0	9,1	11	10
C3 Naftalen	ng/SPMD H 2-2*	i	620	1100	1700	1200
Acenaften	ng/SPMD H 2-2*	70	59	56	77	68
Fluoren	ng/SPMD H 2-2	36	31	31	41	40
Dibenzotiofen	ng/SPMD H 2-2*	26	20	21	28	28
Fenantron	ng/SPMD H 2-2*	310	240	250	360	360
Antracen	ng/SPMD H 2-2*	5,1	<5	<5	6,9	6,2
C1 Fenantron	ng/SPMD H 2-2*	100	98	100	230	230
C1 Dibenzotiofen	ng/SPMD H 2-2*	<20	<20	<20	22	22
C2 Fenantron	ng/SPMD H 2-2*	110	120	130	350	360
C3 Fenantron	ng/SPMD H 2-2*	i	i	i	i	i
C2 Dibenzotiofen	ng/SPMD H 2-2*	26	24	26	59	56
C3 Dibenzotiofen	ng/SPMD H 2-2*	24	25	29	52	62
Fluoranten	ng/SPMD H 2-2*	220	180	190	340	350
Pyren	ng/SPMD H 2-2*	100	82	86	170	170
Benz(a)antracen	ng/SPMD H 2-2*	17	13	14	23	24
Chrysen	ng/SPMD H 2-2*	29	24	24	49	52
Benzo(b+j)fluoranten	ng/SPMD H 2-2*	41	32	32	53	54
Benzo(k)fluoranten	ng/SPMD H 2-2*	9,3	7,3	7,2	12	12
Benzo(e)pyren	ng/SPMD H 2-2*	25	19	20	31	31
Benzo(a)pyren	ng/SPMD H 2-2*	<5	<5	<5	<5	<5
Perylen	ng/SPMD H 2-2*	<5	<5	<5	<5	<5
Indeno(1,2,3cd)pyren	ng/SPMD H 2-2*	7,4	6,3	5,7	8,4	9,0
Dibenz(ac+ah)antrac.	ng/SPMD H 2-2*	<5	<5	<5	<5	<5
Benzo(ghi)perlylen	ng/SPMD H 2-2*	8,3	6,5	5,9	8,5	8,3
Sum PAH	ng/SPMD Beregnet	<1471,1	<1915,1	<2383,9	<4061,8	<3521,5
Sum PAH16	ng/SPMD Beregnet	<893,1	<721,1	<743,9	<1194,8	<1197,5

i : Forbindelsen er dekket av en interferens i kromatogrammet.

\* : Metoden er ikke akkreditert.

# ANALYSE RAPPORT



Rekv.nr. 2009-668

(fortsettelse av tabellen):

Prøvenr	Prøve merket	Prøvetakings- dato	Mottatt NIVA	Analyseperiode
8	Flå overfl. øverst	2008.05.12	2009.04.15	2009.06.29-2009.07.03
9	Fjøseid overfl.nederst	2008.05.12	2009.04.15	2009.06.29-2009.07.03
10	Fjøseid overfl.øverst	2008.05.12	2009.04.15	2009.06.29-2009.07.03
11	Hunndham overfl.nederst	2008.05.12	2009.04.15	2009.06.29-2009.07.03
12	Hunndham overfl.øverst	2008.05.12	2009.04.15	2009.06.29-2009.07.03

Analysevariabel	Prøvenr Enhet	Metode	8	9	10	11	12
Sum KPAH	ng/SPMD	Beregnet	<133,7	<109,6	<110,9	<180,4	<185
Sum NPD	ng/SPMD	Beregnet*	<878	<1427	<1883	3216	2672
Acenaften-D10	ng/SPMD	H-2-2*	111	105	91	77	48
Fluoren d10	ng/SPMD	H-2-2*	48	45	39	24	16
Fenantren D10	ng/SPMD	H-2-2*	277	284	280	183	158
Chrysen D12	ng/SPMD	H-2-2*	851	868	871	843	838
Benzo(e)pyren D12	ng/SPMD	H-2-2*	54	55	55	55	54

\*: Metoden er ikke akkreditert.

**Norsk institutt for vannforskning**

Kristoffer Næs

# ANALYSE RAPPORT



Rekv.nr. 2009-668

(fortsettelse av tabellen):

## VEDLEGG

SUM PAH16 omfatter flg forbindelser: naftalen, acenaftylen, acenaften, fluoren, fenantren, antracen, fluoranten, pyren, benz(a)antracen, chrysen, benzo(b+j)fluoranten, benzo(k)fluoranten, benzo(a)pyren, indeno(1,2,3-cd)pyren, dibenz(a,c+a,h)antracen, benzo(ghi)perylene.

SUM NPD er summen av naftalen, fenantren, dibenzotiofen, C<sub>1</sub>-C<sub>3</sub>-naftalener, C<sub>1</sub>-C<sub>3</sub>-fenantrener og C<sub>1</sub>-C<sub>3</sub>-dibenzotiofener.

SUM KPAH er summen av benz(a)antracen, benzo(b+j+k)fluoranten, benzo(a)pyren, indeno(1,2,3-cd)pyren, dibenz(a,c+a,h)antracen, chrysen og naftalen<sup>1</sup>. Disse har potensielt kreftfremkallende egenskaper i mennesker i flg International Agency for Research on Cancer, IARC (1987, Chrysen og naftalen fra 2007). De tilhører IARC's kategorier 2A + 2B (sannsynlig + trolig carcinogene). Chrysen og naftalen ble inkludert i våre rapporter f.o.m. 18.09.2008.

SUM PAH er summen av alle PAH-forbindelser som inngår i denne rapporten.

---

<sup>1</sup> Bare a,h-isomeren har potensielt kreftfremkallende egenskaper

## 5.4 Analyseresultater sedimenter

Side nr.58/93

Norsk  
Institutt  
for  
Vannforskning

Gaustadalléen 21  
0349 Oslo  
Tel: 22 18 51 00  
Fax: 22 18 52 00

# ANALYSE RAPPORT



**Navn** Sunndalsfjorden  
**Adresse**

Deres referanse:	Vår referanse:	Dato
IAL	Rekv.nr. 2009-875 O.nr. O 27445	17.03.2010

Prøvene ble levert ved NIVAs laboratorium av oppdragsgiver, og merket slik som gjengitt i tabellen nedenfor. Prøvene ble analysert med følgende resultater (analyseusikkerhet kan fås ved henvendelse til laboratoriet):

Prøvenr	Prøve merket	Prøvetakings- dato	Mottatt NIVA	Analyseperiode
1	SU 1 P1		2009.05.11	2009.05.19-2009.06.19
2	SU 1 P2		2009.05.11	2009.05.19-2009.06.19
3	SU 1 P3		2009.05.11	2009.05.19-2009.06.19
4	SU 1 P4		2009.05.11	2009.05.19-2009.06.19
5	SU 1 P5		2009.05.11	2009.05.19-2009.06.19
6	SF 6		2009.05.11	2009.05.19-2009.06.19
7	SF 12		2009.05.11	2009.05.19-2009.06.19

Analysevariabel	Enhett	Prøvenr Metode	1	2	3	4	5	6	7
Kornfordeling <63µm	% t.v.	Intern*	90	90	91	89	91	60	50
Karbon, org. total	µg C/mg TS	G 6	13,0	14,6	14,6	13,4	17,2	26,7	25,7
Sølv	µg/g	E 9-5	<0,5						
Arsen	µg/g	E 9-5	6						
Kadmium	µg/g	E 9-5	<0,2						
Krom	µg/g	E 9-5	72,8						
Kobber	µg/g	E 9-5	39,0						
Kvikksølv	µg/g	E 4-3	0,029						
Nikkel	µg/g	E 9-5	46,7						
Bly	µg/g	E 9-5	13						
Sink	µg/g	E 9-5	71,0						
PCB-28	µg/kg t.v.	H 3-3	<0,5						
PCB-52	µg/kg t.v.	H 3-3	<0,5						
PCB-101	µg/kg t.v.	H 3-3	<0,5						
PCB-118	µg/kg t.v.	H 3-3	<0,5						
PCB-105	µg/kg t.v.	H 3-3	<0,5						
PCB-153	µg/kg t.v.	H 3-3	<2						
PCB-138	µg/kg t.v.	H 3-3	<0,5						
PCB-156	µg/kg t.v.	H 3-3	<0,5						
PCB-180	µg/kg t.v.	H 3-3	<0,5						

PCB-209	$\mu\text{g}/\text{kg}$ t.v. H 3-3	<0,5					
Sum PCB	$\mu\text{g}/\text{kg}$ t.v. Beregnet	<6,5					
Seven Dutch	$\mu\text{g}/\text{kg}$ t.v. Beregnet	<5					
Pentaklorbenzen	$\mu\text{g}/\text{kg}$ t.v. H 3-3	<0,3					
Alfa-HCH	$\mu\text{g}/\text{kg}$ t.v. H 3-3	<0,5					
Hexaklorbenzen	$\mu\text{g}/\text{kg}$ t.v. H 3-3	0,44					

\* : Metoden er ikke akkreditert.

### Kommentarer

- 1 Metallresultatene er oppgitt på tørrvekt.
- PCB: Et sertifisert referanse materiale ble analysert parallelt med prøvene. Resultatet for CB52, CB105 og CB156 var høyere enn øvre aksjonsgrense. CB52 og CB153 var dekket av en interferens i kromatogrammet av prøvene. Det er derfor satt høyere deteksjonsgrense enn normalt for disse forbindelsene.
- SnOrg: Et sertifisert referanse materiale ble analysert parallelt med prøvene. Resultatet for TBT var lavere enn nedre aksjonsgrense. Årsaken antas å skyldes lite innveid materiale, samt at referansematerialet var relativt gammelt.

# ANALYSE RAPPORT



Rekv.nr. 2009-875

(fortsettelse av tabellen):

Prøvenr	Prøve merket	Prøvetakings- dato	Mottatt NIVA	Analyseperiode
1	SU 1 P1		2009.05.11	2009.05.19-2009.06.19
2	SU 1 P2		2009.05.11	2009.05.19-2009.06.19
3	SU 1 P3		2009.05.11	2009.05.19-2009.06.19
4	SU 1 P4		2009.05.11	2009.05.19-2009.06.19
5	SU 1 P5		2009.05.11	2009.05.19-2009.06.19
6	SF 6		2009.05.11	2009.05.19-2009.06.19
7	SF 12		2009.05.11	2009.05.19-2009.06.19

Prøvenr Analysevariabel Enhet Metode	1	2	3	4	5	6	7
Gamma-HCH µg/kg t.v. H 3-3	<0,5						
Oktaklorstyren µg/kg t.v. H 3-3	<0,5						
4,4-DDE µg/kg t.v. H 3-3	<0,5						
4,4-DDD µg/kg t.v. H 3-3	<1						
Naftalen i sediment µg/kg t.v. H 2-3	95	120	140	65	150	480	800
Acenaftylen µg/kg t.v. H 2-3	<2	2,4	2,7	<2	2,8	9,1	6,5
Acenaften µg/kg t.v. H 2-3	190	250	260	160	290	860	1300
Fluoren µg/kg t.v. H 2-3	150	160	180	100	180	550	880
Dibenzotiofen µg/kg t.v. H 2-3	60	76	79	48	78	250	370
Fenantren µg/kg t.v. H 2-3	980	1200	1200	740	1200	3700	5300
Antracen µg/kg t.v. H 2-3	160	210	220	110	230	710	1000
Fluoranten µg/kg t.v. H 2-3	1600	2000	1900	1300	2000	6500	8100
Pyren µg/kg t.v. H 2-3	1400	1700	1600	1100	1600	5300	6700
Benz(a)antracen µg/kg t.v. H 2-3	940	1200	1300	820	1300	5600	5900

Chrysene µg/kg t.v. H 2-3	1500	1500	1400	960	1500	8700	6000
Benzo(b+j)fluoranten µg/kg t.v. H 2-3	1900	2300	2300	1500	2500	11000	10000
Benzo(k)fluoranten µg/kg t.v. H 2-3	2000	800	800	540	830	3400	3200
Benzo(e)pyren µg/kg t.v. H 2-3	1100	1300	1300	870	1400	6200	5800
Benzo(a)pyren µg/kg t.v. H 2-3	1200	1600	1600	1100	1700	5800	7200
Perylen µg/kg t.v. H 2-3	340	430	380	260	450	1300	1700
Indeno(1,2,3cd)pyren µg/kg t.v. H 2-3	1400	1700	1500	920	1700	5500	5100
Dibenz(ac+ah)antrac. µg/kg t.v. H 2-3	350	410	350	220	420	1500	1300
Benzo(ghi)perylene µg/kg t.v. H 2-3	1500	1800	1600	1000	1800	5900	5500
Sum PAH µg/kg t.v. Beregnet	<16867	18758,4	18111,7	<11815	19330,8	73259,1	76156,5
Sum PAH16 µg/kg t.v. Beregnet	<15367	16952,4	16352,7	<10637	17402,8	65509,1	68286,5
Sum KPAH µg/kg t.v. Beregnet	9385	9630	9390	6125	10100	41980	39500
Monobutyltinn µg MBT/kg H 14-1*	<3						
Dibutyltinn µg/kg t.v. H 14-1*	<1						
Tributyltinn µg/kg t.v. H 14-1*	<1						
Monophenyltinn µg/kg t.v. H 14-1*	<1						

\* : Metoden er ikke akkreditert.

# ANALYSE RAPPORT



Rekv.nr. 2009-875

(fortsettelse av tabellen):

Prøvenr	Prøve merket	Prøvetakings- dato	Mottatt NIVA	Analyseperiode						
1	SU 1 P1		2009.05.11	2009.05.19-2009.06.19						
2	SU 1 P2		2009.05.11	2009.05.19-2009.06.19						
3	SU 1 P3		2009.05.11	2009.05.19-2009.06.19						
4	SU 1 P4		2009.05.11	2009.05.19-2009.06.19						
5	SU 1 P5		2009.05.11	2009.05.19-2009.06.19						
6	SF 6		2009.05.11	2009.05.19-2009.06.19						
7	SF 12		2009.05.11	2009.05.19-2009.06.19						

Analysevariabel	Enhet	Prøvenr Metode	1	2	3	4	5	6	7
Diphenyltinn	µg/kg t.v. H 14-1*	<3							
Triphenyltinn	µg/kg t.v. H 14-1*	<1							

\*: Metoden er ikke akkreditert.

# ANALYSE RAPPORT



Rekv.nr. 2009-875

(fortsettelse av tabellen):

Prøvenr	Prøve merket	Prøvetakings- dato	Mottatt NIVA	Analyseperiode						
Analysevariabel	Enhets	Prøvenr Metode	8	9	10	11	12	13	14	
Kornfordeling <63µm	% t.v.	Intern*	51	95	96	96	95	78	54	
Karbon, org. total	µg C/mg TS	G 6	29,6	14,6	11,6	12,8	11,3	10,2	9,0	
Sølv	µg/g	E 9-5	<0,5					<0,5		
Arsen	µg/g	E 9-5	5					6		
Kadmium	µg/g	E 9-5	0,2					<0,2		
Krom	µg/g	E 9-5	35,6					74,6		
Kobber	µg/g	E 9-5	38,9					46,3		
Kvikksølv	µg/g	E 4-3	0,071					0,021		
Nikkel	µg/g	E 9-5	70,8					45,4		
Bly	µg/g	E 9-5	20					13		
Sink	µg/g	E 9-5	73,2					74,7		
PCB-28	µg/kg v.v.	H 3-4						0,09		
PCB-28	µg/kg t.v.	H 3-3	<0,5							
PCB-52	µg/kg v.v.	H 3-4						1,9		
PCB-52	µg/kg t.v.	H 3-3	<2							
PCB-101	µg/kg t.v.	H 3-3	1,7					<0,5		
PCB-118	µg/kg t.v.	H 3-3	1,2					<0,5		
PCB-105	µg/kg t.v.	H 3-3	1,5					<0,5		
PCB-153	µg/kg t.v.	H 3-3	<5					<3		
PCB-138	µg/kg t.v.	H 3-3	2,0					<0,5		
PCB-156	µg/kg t.v.	H 3-3	<0,5					<0,5		
PCB-180	µg/kg t.v.	H 3-3	0,55					<0,5		
PCB-209	µg/kg t.v.	H 3-3	<0,5					<0,5		
Sum PCB	µg/kg t.v.		<15,45					<6,5		
Beregnet										
Sum PCB	µg/kg v.v.							1,99		
Beregnet										
Seven Dutch	µg/kg t.v.		<12,95					<5		
Beregnet										
Seven Dutch	µg/kg v.v.							1,99		
Beregnet										
Pentaklorbenzen	µg/kg t.v.	H 3-3	0,45					<0,3		
Alfa-HCH	µg/kg t.v.	H 3-3	<0,5					<0,5		
Hexaklorbenzen	µg/kg t.v.	H 3-3	3,0					<0,3		

\*: Metoden er ikke akkreditert.

# ANALYSE RAPPORT



Rekv.nr. 2009-875

(fortsettelse av tabellen):

Prøvenr	Prøve merket	Prøvetakings- dato	Mottatt NIVA	Analyseperiode
8	SF 10		2009.05.11	2009.05.19-2009.06.19
9	SF 16		2009.05.11	2009.05.19-2009.06.19
10	SF 15 P1		2009.05.11	2009.05.19-2009.06.19
11	SF 15 P2		2009.05.11	2009.05.19-2009.06.19
12	SF 15 P3		2009.05.11	2009.05.19-2009.06.19
13	SF 14 P1		2009.05.11	2009.05.19-2009.06.19
14	SF 14 P2		2009.05.11	2009.05.19-2009.06.19

Prøvenr Analysevariabel Metode	Enhets	8	9	10	11	12	13	14
Gamma-HCH	µg/kg t.v.	<0,5					<0,5	
H 3-3								
Oktaklorstyren	µg/kg t.v.	<0,5					<0,5	
H 3-3								
4,4-DDE	µg/kg t.v.	<0,5					<0,5	
H 3-3								
4,4-DDD	µg/kg t.v.	<1					<1	
H 3-3								
Naftalen i sediment	µg/kg t.v.	470	23	27	46	39	28	19
H 2-3								
Acenaftylen	µg/kg t.v.	14	<2	<2	<2	2,5	<2	<2
H 2-3								
Acenaften	µg/kg t.v.	780	39	54	83	61	49	37
H 2-3								
Fluoren	µg/kg t.v.	530	29	37	62	55	39	27
H 2-3								
Dibenzotiofen	µg/kg t.v.	250	13	16	24	22	16	11
H 2-3								
Fenantren	µg/kg t.v.	3600	200	260	380	340	250	180
H 2-3								
Antracen	µg/kg t.v.	840	27	44	48	51	34	23
H 2-3								
Fluoranten	µg/kg t.v.	7400	320	440	660	580	430	320
H 2-3								
Pyren	µg/kg t.v.	5600	270	370	560	490	380	290
H 2-3								
Benz(a)antracen	µg/kg t.v.	7500	230	300	350	320	230	190
H 2-3								

Chrysene	µg/kg t.v.	17000	250	320	470	390	330	260
H 2-3								
Benzo(b+j)fluoranten	µg/kg t.v.	20000	440	600	830	700	600	510
H 2-3								
Benzo(k)fluoranten	µg/kg t.v.	6000	150	210	300	260	220	180
H 2-3								
Benzo(e)pyren	µg/kg t.v.	11000	250	350	470	410	350	290
H 2-3								
Benzo(a)pyren	µg/kg t.v.	7200	200	380	500	460	390	320
H 2-3								
Perylen	µg/kg t.v.	1500	29	96	130	100	100	81
H 2-3								
Indeno(1,2,3cd)pyren	µg/kg t.v.	7700	300	360	520	440	400	340
H 2-3								
Dibenz(ac+ah)antrac.	µg/kg t.v.	2400	76	86	110	95	83	70
H 2-3								
Benzo(ghi)perylene	µg/kg t.v.	8900	320	390	560	470	470	390
H 2-3								
Sum PAH	µg/kg t.v.	108684	<3168	<4342	<6105	5285,5	<4401	<3540
Beregnet								
Sum PAH16	µg/kg t.v.	95934	<2876	<3880	<5481	4753,5	<3935	<3158
Beregnet								
Sum KPAH	µg/kg t.v.	68270	1669	2283	3126	2704	2281	1889
Beregnet								
Monobutyltinn	µg MBT/kg						<2	
H 14-1*								
Dibutyltinn	µg/kg t.v.						<2	
H 14-1*								
Tributyltinn	µg/kg t.v.						<2	
H 14-1*								
Monophenylytinn	µg/kg t.v.						<2	
H 14-1*								

\* : Metoden er ikke akkreditert.

# ANALYSE RAPPORT



Rekv.nr. 2009-875

(fortsettelse av tabellen):

Prøvenr	Prøve merket	Prøvetakings- dato	Mottatt NIVA	Analyseperiode
8	SF 10		2009.05.11	2009.05.19-2009.06.19
9	SF 16		2009.05.11	2009.05.19-2009.06.19
10	SF 15 P1		2009.05.11	2009.05.19-2009.06.19
11	SF 15 P2		2009.05.11	2009.05.19-2009.06.19
12	SF 15 P3		2009.05.11	2009.05.19-2009.06.19
13	SF 14 P1		2009.05.11	2009.05.19-2009.06.19
14	SF 14 P2		2009.05.11	2009.05.19-2009.06.19

Analysevariabel	Enhet	Prøvenr Metode	8	9	10	11	12	13	14
								i	<2
Diphenyltinn	µg/kg t.v.	H 14-1*							
Triphenyltinn	µg/kg t.v.	H 14-1*							

i : Forbindelsen er dekket av en interferens i kromatogrammet.

\* : Metoden er ikke akkreditert.

# ANALYSE RAPPORT



Rekv.nr. 2009-875

(fortsettelse av tabellen):

Prøvenr	Prøve merket	Prøvetakings- dato	Mottatt NIVA	Analyseperiode
15	SF 14 P3		2009.05.11	2009.05.19-2009.06.19
16	SF 13		2009.05.11	2009.05.19-2009.06.19
17	SF 11		2009.05.11	2009.05.19-2009.06.19
18	SU 2 P1		2009.05.11	2009.05.19-2009.06.19
19	SU 2 P2		2009.05.11	2009.05.19-2009.06.19
20	SU 2 P3		2009.05.11	2009.05.19-2009.06.19

Analysevariabel	Enhet	Prøvenr Metode	15	16	17	18	19	20
Kornfordeling <63µm	% t.v.	Intern*	83	60	50	92	93	92
Karbon, org. total	µg C/mg TS	G 6	11,3	17,2	22,9	14,3	11,4	13,0
Sølv	µg/g	E 9-5		<0,5	<0,5			
Arsen	µg/g	E 9-5		5	2			
Kadmium	µg/g	E 9-5		<0,2	<0,2			
Krom	µg/g	E 9-5		48,9	43,4			
Kobber	µg/g	E 9-5		30,9	33,1			
Kvikksølv	µg/g	E 4-3		0,027	0,043			
Nikkel	µg/g	E 9-5		36,8	46,8			
Bly	µg/g	E 9-5		10	18			
Sink	µg/g	E 9-5		57,8	64,8			
PCB-28	µg/kg t.v.	H 3-3		<0,5	2,4			
PCB-52	µg/kg t.v.	H 3-3		<1	<2			
PCB-101	µg/kg t.v.	H 3-3		<0,5	<0,5			
PCB-118	µg/kg t.v.	H 3-3		<0,5	<0,5			
PCB-105	µg/kg t.v.	H 3-3		<0,5	<0,5			
PCB-153	µg/kg t.v.	H 3-3		<3	<1			
PCB-138	µg/kg t.v.	H 3-3			<0,5			
PCB-156	µg/kg t.v.	H 3-3		<0,5	<0,5			
PCB-180	µg/kg t.v.	H 3-3		<0,5	<0,5			
PCB-209	µg/kg t.v.	H 3-3		<0,5	<0,5			
Sum PCB	µg/kg t.v.	Beregnet		<7,5	<8,9			
Seven Dutch	µg/kg t.v.	Beregnet		<6	<7,4			
Pentaklorbenzen	µg/kg t.v.	H 3-3		<0,3	<0,3			
Alfa-HCH	µg/kg t.v.	H 3-3		<0,5				
Hexaklorbenzen	µg/kg t.v.	H 3-3		0,66	0,67			

\*: Metoden er ikke akkreditert.

# ANALYSE RAPPORT



Rekv.nr. 2009-875

(fortsettelse av tabellen):

Prøvenr	Prøve merket	Prøvetakings- dato	Mottatt NIVA	Analyseperiode
15	SF 14 P3		2009.05.11	2009.05.19-2009.06.19
16	SF 13		2009.05.11	2009.05.19-2009.06.19
17	SF 11		2009.05.11	2009.05.19-2009.06.19
18	SU 2 P1		2009.05.11	2009.05.19-2009.06.19
19	SU 2 P2		2009.05.11	2009.05.19-2009.06.19
20	SU 2 P3		2009.05.11	2009.05.19-2009.06.19

Prøvenr Analysevariabel Metode	Enhet	15	16	17	18	19	20
Gamma-HCH 3-3	µg/kg t.v. H		<0,5	<0,5			
Oktaklorstyren 3-3	µg/kg t.v. H		<0,5	<0,5			
4,4-DDE 3-3	µg/kg t.v. H		<0,5	<0,5			
4,4-DDD 3-3	µg/kg t.v. H		<1	<1			
Naftalen i sediment 2-3	µg/kg t.v. H	48	360	400	23	13	28
Acenaftylen 2-3	µg/kg t.v. H	<2	4,3	5,6	<2	<2	<2
Acenaften 2-3	µg/kg t.v. H	86	670	810	48	26	54
Fluoren 2-3	µg/kg t.v. H	61	510	550	38	22	42
Dibenzotiofen 2-3	µg/kg t.v. H	22	200	240	15	9,1	17
Fenantron 2-3	µg/kg t.v. H	360	3000	3500	240	140	270
Antracen 2-3	µg/kg t.v. H	47	540	660	35	21	34
Fluoranten 2-3	µg/kg t.v. H	590	4700	6000	410	240	470
Pyren 2-3	µg/kg t.v. H	510	3900	4900	360	230	410
Benz(a)antracen 2-3	µg/kg t.v. H	320	2600	3400	270	160	280
Chrysen 2-3	µg/kg t.v. H	430	3300	5000	390	220	380

Benzo(b+j)fluoranten	$\mu\text{g}/\text{kg}$	t.v.	H	760	5400	7400	610	430	640
2-3									
Benzo(k)fluoranten	$\mu\text{g}/\text{kg}$	t.v.	H	270	1800	2300	220	150	230
2-3									
Benzo(e)pyren	$\mu\text{g}/\text{kg}$	t.v.	H	440	3100	4300	350	250	370
2-3									
Benzo(a)pyren	$\mu\text{g}/\text{kg}$	t.v.	H	510	3800	4800	400	280	430
2-3									
Perylen	$\mu\text{g}/\text{kg}$	t.v.	H	130	860	1100	83	72	92
2-3									
Indeno(1,2,3cd)pyren	$\mu\text{g}/\text{kg}$	t.v.	H	470	2900	4000	410	300	430
2-3									
Dibenz(ac+ah)antrac.	$\mu\text{g}/\text{kg}$	t.v.	H	100	710	960	85	68	91
2-3									
Benzo(ghi)perlylen	$\mu\text{g}/\text{kg}$	t.v.	H	540	3200	4300	450	340	460
2-3									
Sum PAH	$\mu\text{g}/\text{kg}$	t.v.		<5696	41554,3	54625,6	<4439	<2973,1	<4730
Beregnet									
Sum PAH16	$\mu\text{g}/\text{kg}$	t.v.		<5104	37394,3	48985,6	<3991	<2642	<4251
Beregnet									
Sum KPAH	$\mu\text{g}/\text{kg}$	t.v.		2908	20870	28260	2408	1621	2509
Beregnet									
Monobutyltinn	$\mu\text{g MBT/kg}$	H			2,2	9,4			
14-1*									
Dibutyltinn	$\mu\text{g}/\text{kg}$	t.v.	H		<2	7,7			
14-1*									
Tributyltinn	$\mu\text{g}/\text{kg}$	t.v.	H		<2	28			
14-1*									
Monophenylyltinn	$\mu\text{g}/\text{kg}$	t.v.	H		<2	<1			
14-1*									

\* : Metoden er ikke akkreditert.

# ANALYSE RAPPORT



Rekv.nr. 2009-875

(fortsettelse av tabellen):

Prøvenr	Prøve merket	Prøvetakings- dato	Mottatt NIVA	Analyseperiode
15	SF 14 P3		2009.05.11	2009.05.19-2009.06.19
16	SF 13		2009.05.11	2009.05.19-2009.06.19
17	SF 11		2009.05.11	2009.05.19-2009.06.19
18	SU 2 P1		2009.05.11	2009.05.19-2009.06.19
19	SU 2 P2		2009.05.11	2009.05.19-2009.06.19
20	SU 2 P3		2009.05.11	2009.05.19-2009.06.19

Analysevariabel	Enhet	Prøvenr Metode	15	16	17	18	19	20
Diphenyltinn	µg/kg t.v.	H 14-1*		<3	i			
Triphenyltinn	µg/kg t.v.	H 14-1*		<2	<1			

i : Forbindelsen er dekket av en interferens i kromatogrammet.

\* : Metoden er ikke akkreditert.

**Norsk institutt for vannforskning**

Kristoffer Næs

# ANALYSE RAPPORT



Rekv.nr. 2009-875

(fortsettelse av tabellen):

## VEDLEGG

SUM PCB er summen av polyklorerte bifenyler som inngår i denne rapporten.

Seven dutch er summen av polyklorerte bifenyler 28,52,101,118,138,153 og 180.

SUM PAH16 omfatter flg forbindelser: naftalen, acenaftylen, acenaften, fluoren, fenantren, antracen, fluoranten, pyren, benz(a)antracen, chrysen, benzo(b+j)fluoranten, benzo(k)fluoranten, benzo(a)pyren, indeno(1,2,3-cd)pyren, dibenz(a,c+a,h)antracen, benzo(ghi)perylen.

SUM KPAH er summen av benz(a)antracen, benzo(b+j+k)fluoranten, benzo(a)pyren, indeno(1,2,3-cd)pyren, dibenz(a,c+a,h)antracen, chrysen og naftalen<sup>2</sup>. Disse har potensielt kreftfremkallende egenskaper i mennesker i flg International Agency for Research on Cancer, IARC (1987, Chrysen og naftalen fra 2007). De tilhører IARC's kategorier 2A + 2B (sannsynlig + trolig carcinogene). Chysen og naftalen ble inkludert i våre rapporter f.o.m. 18.09.2008.

SUM PAH er summen av alle PAH-forbindelser som inngår i denne rapporten.

---

<sup>2</sup> Bare a,h-isomeren har potensielt kreftfremkallende egenskaper

## 5.5 Analyseresultater krabbeklør og krabbeinnmat

Side nr.72/93

Norsk  
Institutt  
for  
Vannforskning

Gaustadalléen 21  
0349 Oslo  
Tel: 22 18 51 00  
Fax: 22 18 52 00

## ANALYSE RAPPORT



**Navn** Sunndalsfjorden  
**Adresse**

Deres referanse:	Vår referanse:	Dato
	Rekv.nr. 2009-1468 O.nr. O 27445	17.03.2010

Prøvene ble levert ved NIVAs laboratorium av oppdragsgiver, og merket slik som gjengitt i tabellen nedenfor. Prøvene ble analysert med følgende resultater (analyseusikkerhet kan fås ved henvendelse til laboratoriet):

Prøvenr	Prøve merket	Prøvetakings- dato	Mottatt NIVA	Analyseperiode
1	Krabbeklør Flå	2009.07.14	2009.08.13-2009.10.12	
2	Krabbeklør Jordalsneset	2009.07.14	2009.08.13-2009.10.12	

Analysevariabel	Prøvenr	1	2
Enhet			
Metode			
Tørrstoff	%	B 3	22,6
Kvikksølv	µg/g	E 4-3	0,031
			21,7
			0,050

**Norsk institutt for vannforskning**

Kristoffer Næs

**Norsk  
Institutt  
for  
Vannforskning**

Gaustadalléen 21  
0349 Oslo  
Tel: 22 18 51 00  
Fax: 22 18 52 00

# ANALYSE RAPPORT



**Navn** Sunndalsfjorden  
**Adresse**

<b>Deres referanse:</b>	<b>Vår referanse:</b>	<b>Dato</b>
	Rekv.nr. 2009-1469	17.03.2010
	O.nr. O 27445	

Prøvene ble levert ved NIVAs laboratorium av oppdragsgiver, og merket slik som gjengitt i tabellen nedenfor. Prøvene ble analysert med følgende resultater (analyseusikkerhet kan fås ved henvendelse til laboratoriet):

Prøvenr	Prøve merket	Prøvetakings- dato	Mottatt NIVA	Analyseperiode
1	Krabbeinnmat Flå		2009.07.14	2009.07.30-2009.09.07
2	Krabbeinnmat Jordalsneset		2009.07.14	2009.07.30-2009.09.07

Analysevariabel	Enhett	Prøvenr Metode	1	2
Tørrstoff	%	B 3	41	37
Sølv	µg/g	E 8-3	0,744	0,620
Arsen	µg/g	E 8-3	12,3	11,9
Kadmium	µg/g	E 8-3	5,15	2,28
Kobolt	µg/g	E 8-3	0,0859	0,0908
Krom	µg/g	E 9-5	<0,3	<0,3
Kobber	µg/g	E 8-3	15,0	16,2
Nikkel	µg/g	E 8-3	≤0,032	≤0,06
Bly	µg/g	E 8-3	0,0409	0,0349
Sink	µg/g	E 8-3	31,9	38,9
Naftalen	µg/kg v.v.	H 2-4	m	<3
Acenaftylen	µg/kg v.v.	H 2-4	m	<0,5
Acenaften	µg/kg v.v.	H 2-4	m	<0,5
Fluoren	µg/kg v.v.	H 2-4	<0,5	1,1
Dibenzotiofen	µg/kg v.v.	H 2-4	<0,5	0,56
Fenantren	µg/kg v.v.	H 2-4	0,90	3,7
Antracen	µg/kg v.v.	H 2-4	<0,5	<0,5
Fluoranten	µg/kg v.v.	H 2-4	<0,5	3,7
Pyren	µg/kg v.v.	H 2-4	<0,5	3,6
Benz(a)antracen	µg/kg v.v.	H 2-4	<0,5	0,85
Chrysen	µg/kg v.v.	H 2-4	<0,5	3,2
Benzo(b+j)fluoranten	µg/kg v.v.	H 2-4	<0,5	3,1
Benzo(k) fluoranten	µg/kg v.v.	H 2-4	<0,5	<0,5
Benzo(e)pyren	µg/kg v.v.	H 2-4	<0,5	6,3
Benzo(a)pyren	µg/kg v.v.	H 2-4	<0,5	<0,5
Perylen	µg/kg v.v.	H 2-4	<0,5	<0,5
Indeno(1,2,3cd)pyren	µg/kg v.v.	H 2-4	<0,5	<0,5
Dibenz(ac+ah)antrac.	µg/kg v.v.	H 2-4	<0,5	<0,5

Benzo(ghi)perylen	µg/kg v.v. H 2-4	<0,5	0,97
Sum PAH	µg/kg v.v. Beregnet	<8,4	<34,08

m : Analyseresultat mangler.

s : Det er knyttet større usikkerhet enn normalt til kvantifiseringen.

### Kommentarer

1 sNi= stor usikkerhet pga mye Ca

Metallresultatene er oppgitt på våtvekt.

PAH: Pga et uhell under opparbeidingen er det desverre ikke mulig å rapportere de tre mest flyktige PAH komponentene.

2 sNi= stor usikkerhet pga mye Ca

# ANALYSE RAPPORT



Rekv.nr. 2009-1469

(fortsettelse av tabellen):

Prøvenr	Prøve merket	Prøvetakings- dato	Mottatt NIVA	Analyseperiode
1	Krabbeinnmat Flå		2009.07.14	2009.07.30-2009.09.07
2	Krabbeinnmat Jordalsneset		2009.07.14	2009.07.30-2009.09.07

Analysevariabel	Enhet	Prøvenr Metode	1	2
Sum PAH16	µg/kg v.v.	Beregnet	<6,9	<26,72
Sum KPAH	µg/kg v.v.	Beregnet	<3,5	<12,15

Norsk institutt for vannforskning

Kristoffer Næs

## VEDLEGG

SUM PAH16 omfatter flg forbindelser: naftalen, acenaftylen, acenaften, fluoren, fenantren, antracen, fluoranten, pyren, benz(a)antracen, chrysene, benzo(b+j)fluoranten, benzo(k)fluoranten, benzo(a)pyren, indeno(1,2,3-cd)pyren, dibenz(a,c+a,h)antracen, benzo(ghi)perylene.

SUM KPAH er summen av benz(a)antracen, benzo(b+j+k)fluoranten, benzo(a)pyren, indeno(1,2,3-cd)pyren, dibenz(a,c+a,h)antracen, chrysene og naftalen<sup>3</sup>. Disse har potensielt kreftfremkallende egenskaper i mennesker i flg International Agency for Research on Cancer, IARC (1987, Chrysene og naftalen fra 2007). De tilhører IARC's kategorier 2A + 2B (sannsynlig + trolig carcinogene). Chrysene og naftalen ble inkludert i våre rapporter f.o.m. 18.09.2008.

SUM PAH er summen av alle PAH-forbindelser som inngår i denne rapporten.

<sup>3</sup> Bare a,h-isomeren har potensielt kreftfremkallende egenskaper

## 5.6 Analyse av PAH-metabolitter i galle

Stasjon	Prøvenr	Mottatt NIVA	BAP-3-OH µg/kg v.v. Intern*	NAP-2-OH µg/kg v.v. Intern*	PA-1-OH µg/kg v.v. Intern*	PYR-1-OH µg/kg v.v. Intern*
Flå 1	01467	1 14.07.2009	<2	<500	<2	<0,5
Flå 2	01467	2 14.07.2009	<2	<500	19	25
Flå 3	01467	3 14.07.2009	<2	<500	<2	3,6
Flå 4	01467	4 14.07.2009	<2	<500	11	1,1
Flå 5	01467	5 14.07.2009	<2	<500	<2	<0,5
Flå 6	01467	6 14.07.2009	<2	<500	5,1	2,6
Flå 7	01467	7 14.07.2009	<2	<500	3,6	2,7
Flå 9	01467	8 14.07.2009	<2	<500	2,9	13
Flå 10	01467	9 14.07.2009	<2	<500	<2	0,6
Jordalsnes 1	01466	1 14.07.2009	<2	<500	17	1,7
Jordalsnes 3	01466	2 14.07.2009	<2	<500	<2	1,2
Jordalsnes 4	01466	3 14.07.2009	<2	<500	<2	3,9
Jordalsnes 5	01466	4 14.07.2009	<2	<500	6,9	5,2
Jordalsnes 6	01466	5 14.07.2009	<2	<500	9,8	2,8
Jordalsnes 7	01466	6 14.07.2009	<2	<500	<2	1,5
Jordalsnes 8	01466	7 14.07.2009	<2	<500	<2	3,1
Jordalsnes 9	01466	8 14.07.2009	<2	<500	6,8	3,6

## 5.7 Analyse av dioksin og dioksinlignende PCB

### UMEÅ UNIVERSITET

Kemiska institutionen,  
Miljökemiska Laboratoriet  
Per Liljelind  
Sture Bergek  
Tel: 090-786 6665



Norsk Institutt for Vannforskning (NIVA)  
Kristoffer Naes  
Televeien 3  
N-4879 Grimstad Norway  
+47 48 25 53 99

## **Resultat från analys av polyklorerade dibenso-*p*-dioxiner, polyklorerade dibenofuraner (PCDD/F) och dioxinlika polyklorerade bifenyler (WHO-PCB) i biologiska prov**

Laboratorier ackrediteras av Styrelsen för ackreditering och teknisk kontroll (SWEDAC) enligt svensk lag. Den ackrediterade verksamheten vid laboratorierna uppfyller kraven i SS-EN ISO/IEC 17 025 (2005).

### Förkortningar och definitioner i analysrapporten

TrC-	Triklor (3 klor)	-DD	Dibenso- <i>p</i> -dioxin(er)
TeC-	Tetraklor (4 klor)	-DF	Dibensofuran(er)
PeC-	Pentaklor (5 klor)	-B	Bifenyl(er)
HxC-	Hexaklor (6 klor)		
HpC-	Heptaklor (7 klor)		
OC-	Oktaklor (8 klor)		

ng	nanogram ( $10^{-9}$ gram)
pg	pikogram ( $10^{-12}$ gram)
fg	femtogram ( $10^{-15}$ gram)
IS	Internstandard
fw	Färskvikt (fresh weight)
lw	Fettvikt (lipid weight)

ND	Icke-detekterad (Not Detected)
LOD	Detektionsgräns (Limit-of-Detection)
TEF	Toxisk ekvivalentfaktor (Toxic Equivalency Factor)
TEQ	Total koncentration i TCDD-ekvivalenter (TCDD toxic equivalent concentration)

$\Sigma$ PCDD	Summa homologer från tetra- till oktaklor-PCDD
$\Sigma$ PCDF	Summa homologer från tetra- till oktaklor-PCDF
kvot D/F	Kvoten mellan $\Sigma$ PCDD och $\Sigma$ PCDF

## Metodbeskrivning

Använda upparbetningsmetoder är väl validerade genom ett flertal internationella interkalibreringar och GC-MS analyserna utförs enligt Svensk standard SS-EN 1948:1-3. De genomförda analyserna uppfyller även kvalitetskraven för analys av dioxiner och dioxinlikna PCB, EU-direktiv 2002/69/EC, som publicerades i EUs officiella tidskrift (Official journal of the European Communities) den 30 juli 2002. En sammanfattning av analysmetoderna följer nedan.

## Extraktion och fettviktsbestämning

Före extraktionen tillsattes internstandard bestående av  $^{13}\text{C}$ -anrikade isotoper av merparten av de ämnen (kongener) som skall bestämmas. Proven extraherades med organiska lösningsmedel. Lösningsmedlet avlägsnades genom indunstning och mängden fett bestämdes genom vägning.

### Upprening

Uppreningen av polyklorerade dibenso-p-dioxiner (PCDD), polyklorerade dibenofuraner (PCDF) och polyklorerade bifenyler (PCB) utfördes med två vätskekromatografikolonner: en flerskiktskolonn bestående av kiselgel, svavelsyra- och kaliumhydroxidimpregnerad kiselgel samt en kolonn med aktivt kol. På den sistnämnda separeras provet i tre fraktioner innehållande 1) merparten av PCB, 2) mono-orto PCB och 3) PCDD/F och plana PCB. Innan den slutliga analysen tillsattes ytterligare  $^{13}\text{C}$ -kongener, sk. återfinningsstandarder.

### Analys

Isomerspecifik analys har skett med gaskromatografi (GC) kopplat till masspektrometri (MS). Separationen av ämnena sker på GC:n och detektionen med masspektometern. Vid MS-analysen detekterades ämnen med olika masstal selektivt vilket möjliggjorde utnyttjandet av syntetiska  $^{13}\text{C}$ -isotopanrikade ämnen ( $^{13}\text{C}$ -kongener) vilka användes som interna standarder med så kallad isotoputspädningsmetodik. Härvidlag jämfördes responskvoten mellan naturliga kongener och  $^{13}\text{C}$ -kongener i provet med motsvarande kvot i en kvantifieringsstandard innehållande kända mängder av naturliga och tillsatta  $^{13}\text{C}$ -kongener. Detta förfarande medförde att resultaten automatiskt blev kompenserade för upparbetningsförluster. En MS (Waters Autospec Ultima) med hög massupplösning (~10000) har använts. Den använde elektronstötjonisering (EI) där sedan utvalda joner registrerades (SIR).

Koncentrationsbestämningen har utförts enligt ovan nämnda norm, SS-EN 1948:3 och återfinningsgraden av de internstandarder (IS) som tillsatts proven beräknas och uttrycks i procent av ursprunglig mängd.

När en kongen ej kan detekteras räknas detektionsgränsen ut (LOD – limit of detection). Den motsvarar en signal från analysinstrumentet som är tre gånger högre än brusnivån och anges som ett mindre än-värde. LOD beror av ett antal faktorer och varierar därför något från prov till prov, mellan olika kongener och från ett analystillfälle till ett annat. Ackrediterade resultat kan endast fås ner till kvantifieringsgränsen (LOQ – limit of quantification) som defineras av signaler som överstiger tio gånger brusnivån. Det framgår av analysrapporten för vilka kongener detta kriterium inte är uppfyllt. I området mellan tre och tio gånger brusnivån är mätosäkerheten förhöjd men ger ändå ett värdefullt bidrag till resultaten och TEQ-beräkningen.

Laboratorieblankens koncentration har redovisats separat, ingen subtraktion har gjorts från de verkliga provens koncentrationer. Normalisering har gjorts till samma enhet som för proven med medelvärdet av de provmängder som använts till dessa.

### **Beräkning av TCDD-ekvivalenter (TEQ)**

Utifrån de enskilda kongenernas koncentration har s.k. TCDD-ekvivalenter (TEQ) beräknats. TCDD-ekvivalenterna relaterar de toxiska kongenerna till den mest toxiska, 2,3,7,8-TeCDD.

TEQ = koncentration x TEF

Det finns ett antal olika TEF-skalar som används genom åren. Idag är WHO-TEF-skalan den vedertagna men resultaten kan omräknas enligt den skala som önskas (tabell 1, sid. 5).

När en kongen ej kan detekteras räknas detektionsgränsen ut. Den motsvarar en signal från analysinstrumentet som är tre gånger högre än brusnivån. Detektionsgränsen beror av ett antal faktorer och varierar därför något från prov till prov, mellan olika kongener och från ett analystillfälle till ett annat.

TEQ beräknas på tre nivåer. En nedre koncentrationsgräns där koncentrationerna av icke detekterade ämnen satts till noll, en övre koncentrationsgräns där koncentrationerna av icke detekterade ämnen ersatts med detektionsgränsen samt en medelkoncentration (medelvärdet av de båda).

En sammanfattning av analysrapporten finns på sidan 6 med WHO-TEQ-värden för samtliga prov och ev kommentarer.

Umeå som ovan,

---

*Per Liljelind,  
Forskningsingenjör*

**Tabell 1.** Skalor för beräkning av toxiska ekvivalenter (TEQ):

Kongen	TEF			
	WHO <sub>2005</sub>	WHO <sub>1998</sub>	Internationella	Nordic
2378-TeCDD	1	1	1	1
12378-PeCDD	1	1	0,5	0,5
123478-HxCDD	0,1	0,1	0,1	0,1
123678-HxCDD	0,1	0,1	0,1	0,1
123789-HxCDD	0,1	0,1	0,1	0,1
1234678-HpCDD	0,01	0,01	0,01	0,01
OCDD	0,0003	0,0001	0,001	0,001
2378-TeCDF	0,1	0,1	0,1	0,1
12378-PeCDF	0,03	0,05	0,05	0,01
23478-PeCDF	0,3	0,5	0,5	0,5
123478-HxCDF	0,1	0,1	0,1	0,1
123678-HxCDF	0,1	0,1	0,1	0,1
123789-HxCDF	0,1	0,1	0,1	0,1
234678-HxCDF	0,1	0,1	0,1	0,1
1234678-HpCDF	0,01	0,01	0,01	0,01
1234789-HpCDF	0,01	0,01	0,01	0,01
OCDF	0,0003	0,0001	0,001	0,001
344'5 -TeCB (81*)*	0,0003	0,0001		
33'44' -TeCB (77)	0,0001	0,0001		
33'44'5 -PeCB (126)	0,1	0,1		
33'44'55' -HxCB (169)	0,03	0,01		
233'44' -PeCB (105)	0,00003	0,0001		
2344'5 -PeCB (114)	0,00003	0,0005		
23'44'5 -PeCB (118)	0,00003	0,0001		
2'344'5 -PeCB (123)	0,00003	0,0001		
233'44'5 -HxCB (156)	0,00003	0,0005		
233'44'5' -HxCB (157)	0,00003	0,0005		
23'44'55' -HxCB (167)	0,00003	0,00001		
233'44'55' -HpCB (189)	0,00003	0,0001		

## Resultatsammanställning

PCDD/F enligt WHO-TEQ<sub>2005</sub>

pg TEQ/g prov	MPR	MPR	MPR	MPR
Färskvikt	3357:1	3357:2	3357:3	3357:4
Nedre koncentration	1,2	1,8	0,94	0,73
Medelkoncentration	1,2	1,8	0,94	0,74
Övre koncentration	1,2	1,8	0,95	0,74

pg TEQ/g prov	MPR	MPR	MPR	MPR
Fettvikt	3357:1	3357:2	3357:3	3357:4
Övre koncentration	5,2	8,6	3,7	4,4
Nedre koncentration	5,2	8,6	3,7	4,4
	5,2	8,6	3,7	4,4

PCB enligt WHO-TEQ<sub>2005</sub>

pg TEQ/g prov	MPR	MPR	MPR	MPR
Färskvikt	3357:1	3357:2	3357:3	3357:4
Övre koncentration	2,2	2,5	8,9	7,1
Nedre koncentration	2,2	2,5	8,9	7,1
Medelvärde	2,2	2,5	8,9	7,1

pg TEQ/g prov	MPR	MPR	MPR	MPR
Fettvikt	3357:1	3357:2	3357:3	3357:4
Övre koncentration	9,9	12	35	43
Nedre koncentration	9,9	12	35	43
Medelvärde	9,9	12	35	43

## Summering av den totala halten WHO-TEQ<sub>2005</sub>

pg TEQ/g prov, färskvikt Vår provbeteckning	MPR 3357:1	MPR Krabbe- innmat, St. Flå	MPR 3357:2 Krabbe- innmat, St. Jordalsneset	MPR 3357:3 Torsklever, St. Flå	MPR 3357:4 Torsklever, St. Jordalsneset
Övre koncentration	<b>3,4</b>		<b>4,3</b>	<b>9,8</b>	<b>7,9</b>
Nedre koncentration	<b>3,4</b>		<b>4,3</b>	<b>9,8</b>	<b>7,9</b>
Medelvärde	<b>3,4</b>		<b>4,3</b>	<b>9,8</b>	<b>7,9</b>
pg TEQ/g prov, fettvikt					
Övre koncentration	<b>15</b>		<b>21</b>	<b>39</b>	<b>47</b>
Nedre koncentration	<b>15</b>		<b>21</b>	<b>39</b>	<b>47</b>
Medelvärde	<b>15</b>		<b>21</b>	<b>39</b>	<b>47</b>

## Kommentar:

PCB#118 räknas både till I-PCB och WHO-PCB och redovisas därför på två ställen.

## Analysrapport klorerade dioxiner och furaner

<b>Vår provmärkning</b>	:	MPR 3357:1
<b>Er provmärkning</b>	:	Krabbeinnmat, St. Flå, O-27445
<b>Provtyp</b>	:	Biota
<b>Mängd analyserat prov (g)</b>	:	50,55
<b>Fettvikt (g)</b>	:	11,23
<b>Provsort</b>	:	pg/g
<b>Mätosäkerhet</b>	:	± 26 % (95% konfidensintervall)

<b>Kongen</b>	<b>Konc.</b> (pg/g färskvikt)	<b>Konc.</b> (pg/g fettvikt)	<b>Återfunnen</b> <b><sup>13</sup>C IS (%)</b>
2378 TeCDD	0,18	0,80	92
12378 PeCDD	0,31	1,4	94
123478 HxCDD	0,31	1,4	97
123678 HxCDD	0,27	1,2	96
123789 HxCDD	0,094	0,42	96
1234678 HpCDD	0,62	2,8	92
OCDD	1,3	5,8	82
2378 TeCDF	1,5	6,6	86
12378 PeCDF	0,12	0,52	88
23478 PeCDF <sup>a</sup>	0,75	3,4	91
123478 HxCDF	0,16	0,73	92
123678 HxCDF	0,09	0,41	93
234678 HxCDF	0,30	1,3	90
123789 HxCDF <sup>b</sup>	0,030	0,13	92
1234678 HpCDF	0,35	1,6	104
1234789 HpCDF	ND(0,0070)	ND(0,031)	78
OCDF	0,026	0,12	89
<b>Sum</b>	<b>Nedre konc.</b>	<b>1,2</b>	<b>5,2</b>
<b>WHO-TEQ<sub>2005</sub></b>	<b>Medelkonc</b>	<b>1,2</b>	<b>5,2</b>
	<b>Övre konc.</b>	<b>1,2</b>	<b>5,2</b>

Koncentrationer angivna med *kursiv stil* ligger mellan LOD och LOQ med större mätosäkerhet (38%).

<sup>a</sup> Sameluerar med 12489-PeCDF

<sup>b</sup> Sameluerar med 123489-HxCDF

<b>Provet ankom:</b>	2009-08-17	<b>Typ av GC-kolonn:</b>	DB-5ms
<b>Lagringsbetingelser :</b>	Frys	<b>Person ansvarig för</b>	
<b>Startdatum för upparbetning:</b>	2009-09-02	<b>Upparbeting:</b>	Sture Bergek
<b>Startdatum för analys:</b>	2009-09-10	<b>Analys:</b>	Per Liljelind

## Analysrapport klorerade dioxiner och furaner

<b>Vår provmärkning</b>	:	MPR 3357:2
<b>Er provmärkning</b>	:	Krabbeinnmat, St. Jordalsneset, O-27445
<b>Provtyp</b>	:	Biota
<b>Mängd analyserat prov (g)</b>	:	50,53
<b>Fettvikt (g)</b>	:	10,41
<b>Provsort</b>	:	pg/g
<b>Mätosäkerhet</b>	:	± 26 % (95% konfidensintervall)

<b>Kongen</b>	<b>Konc.</b> (pg/g färskvikt)	<b>Konc.</b> (pg/g fettvikt)	<b>Återfunnen</b> <b><sup>13</sup>C IS (%)</b>
2378 TeCDD	0,23	1,1	97
12378 PeCDD	0,53	2,6	96
123478 HxCDD	0,62	3,0	103
123678 HxCDD	0,48	2,3	100
123789 HxCDD	0,17	0,81	101
1234678 HpCDD	0,64	3,1	96
OCDD	1,8	9,0	85
2378 TeCDF	2,2	10,6	90
12378 PeCDF	0,13	0,64	93
23478 PeCDF <sup>a</sup>	1,13	5,5	95
123478 HxCDF	0,26	1,3	96
123678 HxCDF	0,096	0,47	97
234678 HxCDF	0,51	2,5	94
123789 HxCDF <sup>b</sup>	0,031	0,15	99
1234678 HpCDF	0,43	2,1	105
1234789 HpCDF	ND(0,0056)	ND(0,027)	82
OCDF	0,022	0,11	93
<b>Sum</b>	<b>Nedre konc.</b>	<b>1,8</b>	<b>8,6</b>
<b>WHO-</b>	<b>Medelkonc</b>	<b>1,8</b>	<b>8,6</b>
<b>TEQ<sub>2005</sub></b>	<b>Övre konc.</b>	<b>1,8</b>	<b>8,6</b>

Koncentrationer angivna med *kursiv stil* ligger mellan LOD och LOQ med större mätosäkerhet (38%).

<sup>a</sup> Sameluerar med 12489-PeCDF

<sup>b</sup> Sameluerar med 123489-HxCDF

<b>Provet ankom:</b>	2009-08-17	<b>Typ av GC-kolonn:</b>	DB-5ms
<b>Lagringsbetingelser :</b>	Frys	<b>Person ansvarig för</b>	
<b>Startdatum för upparbetning:</b>	2009-09-02	<b>Upparbetning:</b>	Sture Bergek
<b>Startdatum för analys:</b>	2009-09-10	<b>Analys:</b>	Per Liljelind

## Analysrapport klorerade dioxiner och furaner

**Vår provmärkning** : MPR 3357:3  
**Er provmärkning** : Torsklever, St. Flå, O-27445  
**Provtyp** : Biota  
**Mängd analyserat prov (g)** : 12,07  
**Fettvikt (g)** : 3,07  
**Provsort** : pg/g  
**Mätosäkerhet** : ± 26 % (95% konfidensintervall)

<b>Kongen</b>	<b>Konc.</b> (pg/g färskvikt)	<b>Konc.</b> (pg/g fettvikt)	<b>Återfunnen</b> <b><sup>13</sup>C IS (%)</b>
2378 TeCDD	0,24	0,94	91
12378 PeCDD	0,087	0,34	92
123478 HxCDD	ND(0,031)	ND(0,12)	90
123678 HxCDD	0,15	0,59	89
123789 HxCDD	0,049	0,19	89
1234678 HpCDD	0,15	0,60	89
OCDD	0,32	1,2	102
2378 TeCDF	2,9	11,4	86
12378 PeCDF	0,38	1,5	89
23478 PeCDF <sup>a</sup>	0,46	1,8	89
123478 HxCDF	0,16	0,65	88
123678 HxCDF	0,12	0,47	91
234678 HxCDF	0,15	0,60	88
123789 HxCDF <sup>b</sup>	0,11	0,42	87
1234678 HpCDF	0,11	0,42	94
1234789 HpCDF	ND(0,028)	ND(0,11)	80
OCDF	0,40	1,6	93
<b>Sum</b>	<b>Nedre konc.</b>	<b>0,94</b>	<b>3,7</b>
<b>WHO-</b>	<b>Medelkonc.</b>	<b>0,94</b>	<b>3,7</b>
<b>TEQ<sub>2005</sub></b>	<b>Övre konc.</b>	<b>0,95</b>	<b>3,7</b>

Koncentrationer angivna med *kursiv stil* ligger mellan LOD och LOQ med större mätosäkerhet (38%).

<sup>a</sup> Sameluerar med 12489-PeCDF

<sup>b</sup> Sameluerar med 123489-HxCDF

<b>Provet ankom:</b>	2009-08-17	<b>Typ av GC-kolonn:</b>	DB-5ms
<b>Lagringsbetingelser :</b>	Frys	<b>Person ansvarig för</b>	
<b>Startdatum för upparbetning:</b>	2009-09-02	<b>Upparbetning:</b>	Sture Bergek
<b>Startdatum för analys:</b>	2009-09-10	<b>Analys:</b>	Per Liljelind

## Analysrapport klorerade dioxiner och furaner

<b>Vår provmärkning</b>	:	MPR 3357:4
<b>Er provmärkning</b>	:	Torsklever, St. Jordalsneset, O-27445
<b>Provtyp</b>	:	Biota
<b>Mängd analyserat prov (g)</b>	:	12,12
<b>Fettvikt (g)</b>	:	2,02
<b>Provsort</b>	:	pg/g
<b>Mätosäkerhet</b>	:	± 26 % (95% konfidensintervall)

Kongen	Konc. (pg/g färskvikt)	Konc. (pg/g fettvikt)	Återfunnen <sup>13</sup> C IS (%)
2378 TeCDD	0,21	1,3	98
12378 PeCDD	0,044	0,26	97
123478 HxCDD	ND(0,030)	ND(0,18)	99
123678 HxCDD	0,16	0,98	99
123789 HxCDD	0,057	0,34	100
1234678 HpCDD	0,16	0,96	95
OCDD	0,97	5,8	96
2378 TeCDF	2,9	17,2	93
12378 PeCDF	0,35	2,1	95
23478 PeCDF <sup>a</sup>	0,17	1,0	97
123478 HxCDF	0,23	1,4	94
123678 HxCDF	0,12	0,75	97
234678 HxCDF	0,18	1,1	98
123789 HxCDF <sup>b</sup>	0,087	0,52	98
1234678 HpCDF	0,073	0,44	102
1234789 HpCDF	ND(0,027)	ND(0,16)	86
OCDF	0,050	0,30	101
<b>Sum</b>	<b>Nedre konc.</b>	<b>0,73</b>	<b>4,4</b>
<b>WHO-</b>	<b>Medelkonc.</b>	<b>0,74</b>	<b>4,4</b>
<b>TEQ<sub>2005</sub></b>	<b>Övre konc.</b>	<b>0,74</b>	<b>4,4</b>

Koncentrationer angivna med *kursiv stil* ligger mellan LOD och LOQ med större mätsäkerhet (38%).

<sup>a</sup> Sameluerar med 12489-PeCDF

<sup>b</sup> Sameluerar med 123489-HxCDF

<b>Provet ankom:</b>	2009-08-17	<b>Typ av GC-kolonn:</b>	DB-5ms
<b>Lagringsbetingelser :</b>	Frys	<b>Person ansvarig för</b>	
<b>Startdatum för upparbetning:</b>	2009-09-02	<b>Upparbetning:</b>	Sture Bergek
<b>Startdatum för analys:</b>	2009-09-10	<b>Analys:</b>	Per Liljelind

## Analysrapport klorerade dioxiner och furaner

<b>Vår provmärkning</b>	:	MPR B3357
<b>Er provmärkning</b>	:	
<b>Provtyp</b>	:	Laboratorieblank
<b>Mängd analyserat prov (g)</b>	:	50
<b>Fettvikt (g)</b>	:	3,0
<b>Provsort</b>	:	pg/g
<b>Mätosäkerhet</b>	:	± 26 % (95% konfidensintervall)

Kongen	Konc. (pg/g färskvikt)	Konc. (pg/g fettvikt)	Återfunnen <sup>13</sup> C IS (%)
2378 TeCDD	ND(0,010)	ND(0,16)	108
12378 PeCDD	ND(0,016)	ND(0,26)	91
123478 HxCDD	ND(0,020)	ND(0,34)	89
123678 HxCDD	ND(0,017)	ND(0,28)	92
123789 HxCDD	ND(0,017)	ND(0,29)	90
1234678 HpCDD	0,056	0,93	87
OCDD	0,13	2,2	80
2378 TeCDF	ND(0,007)	ND(0,12)	107
12378 PeCDF	0,016	0,27	94
23478 PeCDF <sup>a</sup>	0,016	0,27	101
123478 HxCDF	0,015	0,26	98
123678 HxCDF	0,016	0,26	100
234678 HxCDF	0,043	0,72	102
123789 HxCDF <sup>b</sup>	0,044	0,74	99
1234678 HpCDF	0,075	1,3	97
1234789 HpCDF	0,021	0,35	85
OCDF	0,075	1,3	96
<b>Sum</b>	<b>Nedre konc.</b>	<b>0,022</b>	<b>0,37</b>
<b>WHO-</b>	<b>Medelkonc.</b>	<b>0,038</b>	<b>0,64</b>
<b>TEQ<sub>2005</sub></b>	<b>Övre konc.</b>	<b>0,054</b>	<b>0,90</b>

Koncentrationer angivna med *kursiv stil* ligger mellan LOD och LOQ med större mätsäkerhet (38%),

<sup>a</sup> Sameluerar med 12489-PeCDF

<sup>b</sup> Sameluerar med 123489-HxCDF

<b>Provet ankom:</b>	2009-08-17	<b>Typ av GC-kolonn:</b>	DB-5ms
<b>Lagringsbetingelser :</b>	Frys	<b>Person ansvarig för</b>	
<b>Startdatum för upparbetning:</b>	2009-09-02	<b>Upparbetning:</b>	Sture Bergek
<b>Startdatum för analys:</b>	2009-09-10	<b>Analys:</b>	Per Liljelind

## Analysrapport PCB

**Vår provmärkning** : MPR 3357:1  
**Er provmärkning** : Krabbeinnmat, St, Flå, O-27445  
**Provtyp** : biota  
**Mängd analyserat prov (g)** : 50,55  
**Fettvikt (g)** : 11,23  
**Provsort** : pg/g  
**Mätosäkerhet** : ± 26 % (95% konfidensintervall)

Kongen	Konc, (pg/g färskvikt)	Konc, (pg/g fettvikt)	Återfunnen <sup>13</sup> C IS (%)
<b>Indikator-PCB</b>			
#28 TriCB <sup>a</sup>	244	1100	90
#52 TeCB <sup>b</sup>	21	95	95
#101 PeCB <sup>c</sup>	543	2440	97
#118 PeCB <sup>d</sup>	2670	12000	99
#138 HxCB <sup>e</sup>	5670	25500	99
#153 HxCB	8080	36400	98
#180 HpCB	1470	6610	63
Σ I-PCB	16000	72000	
<b>WHO-PCB</b>			
#77 TeCB	52,2	235	92
#81 TeCB	2,9	13,3	86
#126 PeCB	16,0	71,9	89
#169 HxCB	5,4	24,4	94
#105 PeCB <sup>f</sup>	963	4330	98
#114 PeCB	25	113	95
#118 PeCB <sup>d</sup>	2670	12000	99
#123 PeCB	60	269	97
#156 HxCB	231	1040	69
#157 HxCB	92	413	70
#167 HxCB	248	1120	92
#189 HpCB	23	102	20
<b>Sum WHO-TEQ</b>	<b>Nedre konc.</b>	<b>2,2</b>	<b>9,9</b>
	<b>Medelkonc.</b>	<b>2,2</b>	<b>9,9</b>
	<b>Övre konc.</b>	<b>2,2</b>	<b>9,9</b>

Koncentrationer angivna med *kursiv stil* ligger mellan LOD och LOQ med större mätosäkerhet (38%).

- <sup>a</sup> Sameluerar med #31  
<sup>b</sup> Sameluerar med #73  
<sup>c</sup> Sameluerar med #89 och #90

- <sup>d</sup> Sameluerar med # 106  
<sup>e</sup> Sameluerar med #163 och 164  
<sup>f</sup> Sameluerar med #127

<b>Provet ankom:</b>	2009-08-17	<b>Typ av GC-kolonn:</b>	DB-5ms
<b>Lagringsbetingelser :</b>	Frys	<b>Person ansvarig för</b>	
<b>Startdatum för upparbetning:</b>	2009-09-02	<b>Upparbetning:</b>	Sture Bergek
<b>Startdatum för analys:</b>	2009-09-10	<b>Analys:</b>	Per Liljelind

## Analysrapport PCB

**Vår provmärkning** : MPR 3357:2  
**Er provmärkning** : Krabbeinnmat, St, Jordalsneset, O-27445  
**Provtyp** : Biota  
**Mängd analyserat prov (g)** : 50,53  
**Fettvikt (g)** : 10,41  
**Provsort** : pg/g  
**Mätosäkerhet** : ± 26 % (95% konfidensintervall)

Kongen	Konc, (pg/g färskvikt)	Konc, (pg/g fettvikt)	Återfunnen <sup>13</sup> C IS (%)
<b>Indikator-PCB</b>			
#28 TriCB <sup>a</sup>	317	1541	86
#52 TeCB <sup>b</sup>	24	118	96
#101 PeCB <sup>c</sup>	767	3721	98
#118 PeCB <sup>d</sup>	2860		95
#138 HxCB <sup>e</sup>	6840	33205	96
#153 HxCB	10140	49227	90
#180 HpCB	146	7083	72
Σ I-PCB	19600	94896	
<b>WHO-PCB</b>			
#77 TeCB	60,6	294	93
#81 TeCB	2,4	11,6	93
#126 PeCB	18,4	89,2	92
#169 HxCB	6,9	33,6	98
#105 PeCB <sup>f</sup>	1000	4856	90
#114 PeCB	32	154	96
#118 PeCB <sup>d</sup>	2860	13871	95
#123 PeCB	84	407	90
#156 HxCB	270	1312	73
#157 HxCB	89	432	71
#167 HxCB	251	1218	92
#189 HpCB	26	125	28
<b>Sum</b>	<b>Nedre konc.</b>	<b>2,5</b>	<b>12</b>
<b>WHO-TEQ</b>	<b>Medelkonc</b>	<b>2,5</b>	<b>12</b>
	<b>Övre konc.</b>	<b>2,5</b>	<b>12</b>

Koncentrationer angivna med *kursiv stil* ligger mellan LOD och LOQ med större mätosäkerhet (38%),

- <sup>a</sup> Sameluerar med #31  
<sup>b</sup> Sameluerar med #73  
<sup>c</sup> Sameluerar med #89 och #90

- <sup>d</sup> Sameluerar med # 106  
<sup>e</sup> Sameluerar med #163 och 164  
<sup>f</sup> Sameluerar med #127

<b>Provet ankom:</b>	2009-08-17	<b>Typ av GC-kolonn:</b>	DB-5ms
<b>Lagringsbetingelser :</b>	Frys	<b>Person ansvarig för</b>	
<b>Startdatum för upparbetning:</b>	2009-09-02	<b>Upparbetning:</b>	Sture Bergek
<b>Startdatum för analys:</b>	2009-09-10	<b>Analys:</b>	Per Liljelind

## Analysrapport PCB

**Vår provmärkning** : MPR 3357:3  
**Er provmärkning** : Torsklever, St, Flå, O-27445  
**Provtyp** : Biota  
**Mängd analyserat prov (g)** : 12,07  
**Fettvikt (g)** : 3,07  
**Provsort** : pg/g  
**Mätosäkerhet** : ± 26 % (95% konfidensintervall)

Kongen	Konc, (pg/g färskvikt)	Konc, (pg/g fettvikt)	Återfunnen <sup>13</sup> C IS (%)
<b>Indikator-PCB</b>			
#28 TriCB <sup>a</sup>	888	3490	89
#52 TeCB <sup>b</sup>	1180	4620	87
#101 PeCB <sup>c</sup>	4370	17200	89
#118 PeCB <sup>d</sup>	8470	33300	96
#138 HxCB <sup>e</sup>	15100	59240	95
#153 HxCB	27400	107800	93
#180 HpCB	6140	24200	76
Σ I-PCB	55000	216000	
<b>WHO-PCB</b>			
#77 TeCB	55,0	216	86
#81 TeCB	2,8	11,2	81
#126 PeCB	66,9	263	88
#169 HxCB	23,4	92,1	93
#105 PeCB <sup>f</sup>	2689	10571	92
#114 PeCB	141	556	94
#118 PeCB <sup>d</sup>	8470	33300	96
#123 PeCB	132	520	96
#156 HxCB	1194	4695	71
#157 HxCB	296	1164	76
#167 HxCB	828	3254	88
#189 HpCB	115	451	57
<b>Sum</b>	<b>Nedre konc.</b>	<b>8,9</b>	<b>35</b>
	<b>Medelkonc.</b>	<b>8,9</b>	<b>35</b>
	<b>Övre konc.</b>	<b>8,9</b>	<b>35</b>

Koncentrationer angivna med *kursiv stil* ligger mellan LOD och LOQ med större mätosäkerhet (38%),

<sup>a</sup> Sameluerar med #31  
<sup>b</sup> Sameluerar med #73  
<sup>c</sup> Sameluerar med #89 och #90

<sup>d</sup> Sameluerar med # 106  
<sup>e</sup> Sameluerar med #163 och 164  
<sup>f</sup> Sameluerar med #127

<b>Provet ankom:</b>	2009-08-17	<b>Typ av GC-kolonn:</b>	DB-5ms
<b>Lagringsbetingelser :</b>	Frys	<b>Person ansvarig för</b>	
<b>Startdatum för upparbetning:</b>	2009-09-02	<b>Upparbetning:</b>	Sture Bergek
<b>Startdatum för analys:</b>	2009-09-10	<b>Analys:</b>	Per Liljelind

## Analysrapport PCB

**Vår provmärkning** : MPR 3357:4  
**Er provmärkning** : Torsklever, St, Jordalsneset, O-27445  
**Provtyp** : Biota  
**Mängd analyserat prov (g)** : 12,12  
**Fettvikt (g)** : 2,02  
**Provsort** : pg/g  
**Mätosäkerhet** : ± 26 % (95% konfidensintervall)

Kongen	Konc, (pg/g färskvikt)	Konc, (pg/g fettvikt)	Återfunnen <sup>13</sup> C IS (%)
<b>Indikator-PCB</b>			
#28 TriCB <sup>a</sup>	749	4500	71
#52 TeCB <sup>b</sup>	731	4390	80
#101 PeCB <sup>c</sup>	2370	14200	91
#118 PeCB <sup>d</sup>	6280	37700	101
#138 HxCB <sup>e</sup>	8750	52500	104
#153 HxCB	15070	90400	101
#180 HpCB	3380	20300	92
Σ I-PCB	31000	186000	
<b>WHO-PCB</b>			
#77 TeCB	62,8	377	97
#81 TeCB	2,5	14,9	88
#126 PeCB	55,7	334	98
#169 HxCB	20,1	121	99
#105 PeCB <sup>f</sup>	2330	14000	99
#114 PeCB	114	686	98
#118 PeCB <sup>d</sup>	6280	37700	101
#123 PeCB	102	611	100
#156 HxCB	642	3850	96
#157 HxCB	186	1110	89
#167 HxCB	496	2980	100
#189 HpCB	63	380	74
<b>Sum WHO-TEQ</b>	<b>Nedre konc.</b>	<b>7,1</b>	<b>43</b>
	<b>Medelkonc</b>	<b>7,1</b>	<b>43</b>
	<b>Övre konc.</b>	<b>7,1</b>	<b>43</b>

Koncentrationer angivna med *kursiv stil* ligger mellan LOD och LOQ med större mätosäkerhet (38%),

- <sup>a</sup> Sameluerar med #31  
<sup>b</sup> Sameluerar med #73  
<sup>c</sup> Sameluerar med #89 och #90

- <sup>d</sup> Sameluerar med # 106  
<sup>e</sup> Sameluerar med #163 och 164  
<sup>f</sup> Sameluerar med #127

<b>Provet ankom:</b>	2009-08-17	<b>Typ av GC-kolonn:</b>	DB-5ms
<b>Lagringsbetingelser :</b>	Frys	<b>Person ansvarig för</b>	
<b>Startdatum för upparbetning:</b>	2009-09-02	<b>Upparbeting:</b>	Sture Bergek
<b>Startdatum för analys:</b>	2009-09-10	<b>Analys:</b>	Per Liljelind

## Analysrapport PCB

**Vår provmärkning** : MPR B3357  
**Er provmärkning** :  
**Provtyp** : laboratorieblank  
**Mängd analyserat prov (g)** : 50  
**Fettvikt (g)** : 3,0  
**Provsort** : pg/g  
**Mätosäkerhet** : **± 26 %** (95% konfidensintervall)

Kongen	Konc, (pg/g färskvikt)	Konc, (pg/g fettvikt)	Återfunnen <sup>13</sup> C IS (%)
<b>Indikator-PCB</b>			
#28 TriCB <sup>a</sup>	0,36	6,1	97
#52 TeCB <sup>b</sup>	0,47	7,8	98
#101 PeCB <sup>c</sup>	0,49	8,2	98
#118 PeCB <sup>d</sup>	0,15	2,5	96
#138 HxCB <sup>e</sup>	0,23	3,8	97
#153 HxCB	0,68	11,4	97
#180 HpCB	0,40	6,7	98
$\Sigma$ I-PCB	2,6	44	
<b>WHO-PCB</b>			
#77 TeCB	0,049	0,82	109
#81 TeCB	ND(0,0070)	ND(0,12)	109
#126 PeCB	0,030	0,49	93
#169 HxCB	0,016	0,27	90
#105 PeCB <sup>f</sup>	0,066	1,1	95
#114 PeCB	ND(0,045)	ND(0,74)	97
#118 PeCB <sup>d</sup>	0,15	2,5	96
#123 PeCB	ND(0,047)	ND(0,78)	95
#156 HxCB	ND(0,043)	ND(0,72)	95
#157 HxCB	ND(0,044)	ND(0,74)	95
#167 HxCB	ND(0,043)	ND(0,72)	96
#189 HpCB	ND(0,050)	ND(0,83)	93
<b>Sum WHO-TEQ</b>	<b>Nedre konc.</b>	<b>0,0031</b>	<b>0,052</b>
	<b>Medelkonc</b>	<b>0,0032</b>	<b>0,053</b>
	<b>Övre konc.</b>	<b>0,0032</b>	<b>0,054</b>

Koncentrationer angivna med *kursiv stil* ligger mellan LOD och LOQ med större mätosäkerhet (38%),

- <sup>a</sup> Sameluerar med #31  
<sup>b</sup> Sameluerar med #73  
<sup>c</sup> Sameluerar med #89 och #90

- <sup>d</sup> Sameluerar med # 106  
<sup>e</sup> Sameluerar med #163 och 164  
<sup>f</sup> Sameluerar med #127

<b>Provet ankom:</b>	2009-08-17	<b>Typ av GC-kolonn:</b>	DB-5ms
<b>Lagringsbetingelser :</b>	Frys	<b>Person ansvarig för</b>	
<b>Startdatum för upparbetning:</b>	2009-09-02	<b>Upparbetning:</b>	Sture Bergek
<b>Startdatum för analys:</b>	2009-09-10	<b>Analys:</b>	Per Liljelind

## NIVA: Norges ledende kompetansesenter på vannmiljø

NIVA gir offentlig vannforvaltning, næringsliv og allmennheten grunnlag for god vannforvaltning gjennom oppdragsbasert forsknings-, utrednings- og utviklingsarbeid. NIVA kjennetegnes ved stor faglig bredde og godt kontaktnett til fagmiljøer i inn- og utland. Faglig tyngde, tverrfaglig arbeidsform og en helhetlig tilnærningsmåte er vårt grunnlag for å være en god rådgiver for forvaltning og samfunnsliv.



Norsk institutt for vannforskning

Gaustadalléen 21 • 0349 Oslo  
Telefon: 02348 • Faks: 22 18 52 00  
[www.niva.no](http://www.niva.no) • [post@niva.no](mailto:post@niva.no)